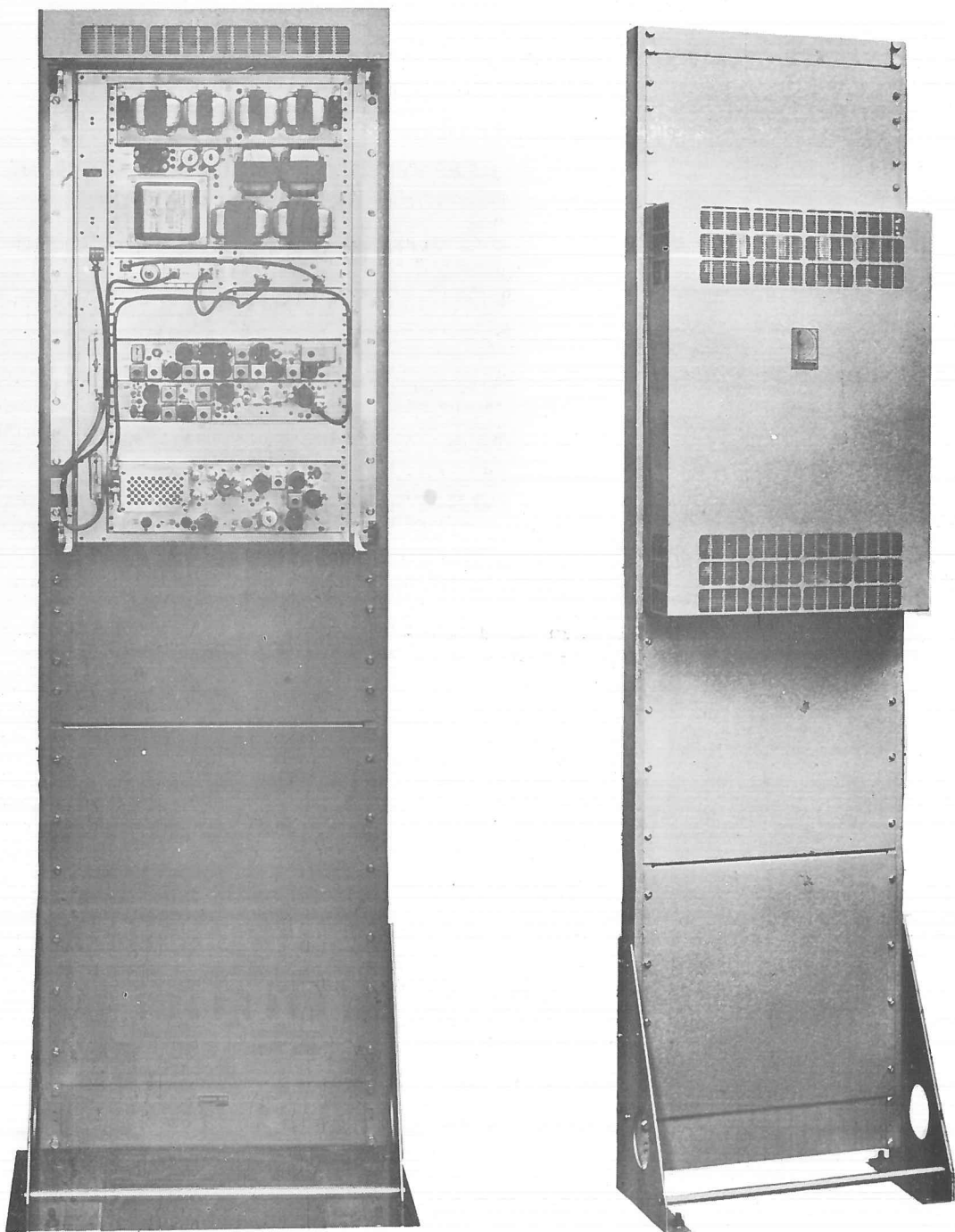


**STATIONÆR
VHF RADIOSTATION**
TYPE CQF11-2,-3
136 174 MHz
TYPE CQF31-2,-3
68 88 MHz

I n d h o l d



32.013-D1/E1

1-2

32.013-D1/E1

KAPITEL I. STATIONÆR VHF RADIOSTATION

A. Generel Beskrivelse

Denne tekniske håndbog indeholder alle oplysninger om følgende stationære radiotelefonstationer:

CQF11-2: 136 .. 174 MHz, 50 kHz kanalafstand
 CQF11-3: 136 .. 174 MHz, 25 kHz kanalafstand
 CQF31-2: 68 .. 88 MHz, 50 kHz kanalafstand
 CQF31-3: 68 .. 88 MHz, 25 kHz kanalafstand

Senderne kan afgive enten 25 eller 50 watt udgangseffekt. Ydermere kan radiostationen bestykkes med krystalskifteenheder med mulighed for skiftning af op til 6 krystalstyrede kanaler.

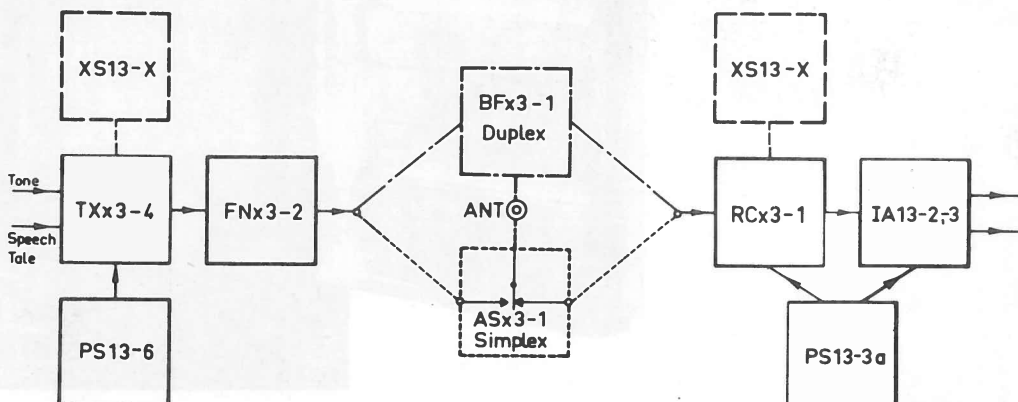
Radiostationerne leveres for simpleksdrift eller for dupleksdrift eller som repeaterstation. Det evt. betjeningssystem i forbindelse med f.eks. selektivt opkald, repeaterfunktion, m.v. er beskrevet i en separat teknisk håndbog, hvori også er anført de eventuelle ændringer, som er foretaget i selve radioudstyret.

Radiostationen mere end opfylder kravene indeholdt i den engelske GPO standard og den amerikanske EIA standard for land-mobil radiokommunikation.

Opbygning

En standard radiotelefonstation består minimalt af følgende modulunderenheder:

Stationstype	CQF11-2	CQF11-3	CQF31-2	CQF31-3
Sender	TX13-4		TX33-4	
Antennefilter	FN13-2		FN33-2	
Modtagerkonverter	RC13-1		RC13-1	
MF-forstærker	IA13-1	IA13-2	IA13-1	IA13-2
Senderstrømforsyning		PS13-6		
Modtagerstrømforsyning			PS13-3a	



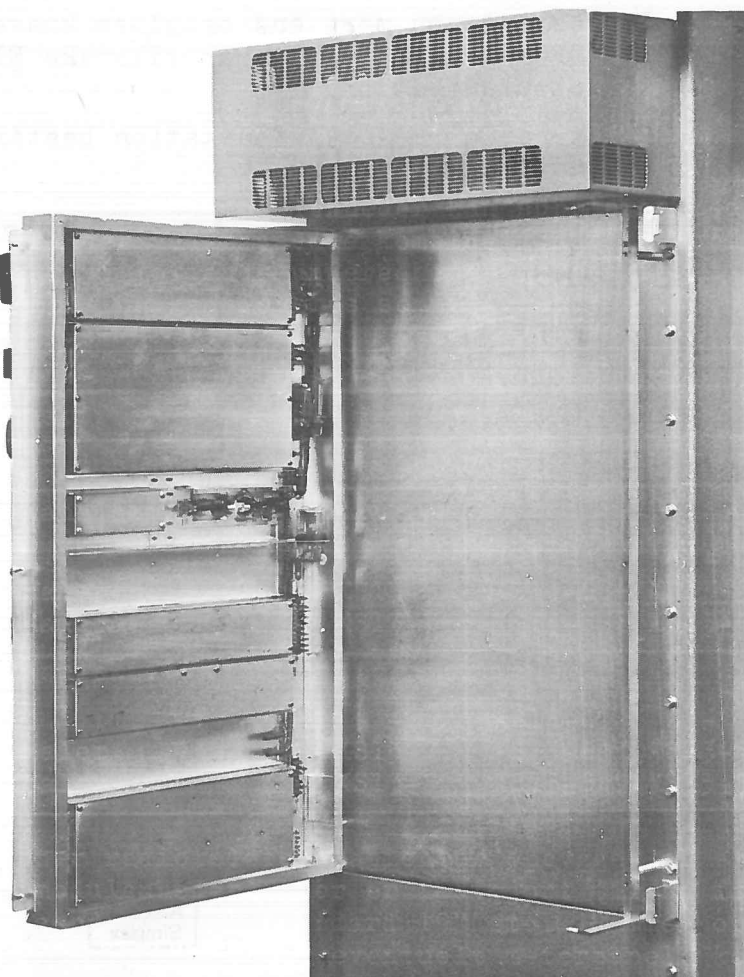
Kapitel I. Stationær VHF Radiostation

Ovennævnte standard modulenheder kan suppleres med et antal underenheder, der ved passende kombinationer kan opfylde de fleste kundekrav. Følgende underenheder er beskrevet i denne tekniske håndbog og kan leveres som standard:

Stationstype	CQF11-2	CQF11-3	CQF31-2	CQF31-3
Antenneomskifter simplex	AS13-1			
Delefilter duplex	BF13-1		BF33-1	
Simplex kanalskift				
1 kanal	-	XS13-4	-	-
2-3 kanaler	XS13-5	XS13-6	XS13-5	XS13-5
4-6 kanaler	XS13-7	XS13-8	XS13-7	XS13-7
Duplex kanalskift				
1 kanal	-	XS13-4	-	-
2-3 kanaler	XS13-7	XS13-8	XS13-7	XS13-7
4-6 kanaler	XS13-7	XS13-8	XS13-7	XS13-7

Konstruktion

En stationær radiotelefonstation er opbygget af et antal underenheder (modulenheder), der er fastgjort til en fælles svingramme passende for et standard 19" stel. Rammen optager 28" i højden, hvortil så kommer eventuelt meterpanel, kontrolpanel, m.v.



Kapitel I. Stationær VHF Radiostation

Modulenhederne på svinggrammen er beskyttet af et støvdæksel, der er fastgjort til rammen med 4 snapfjedre. Alle modulenher er monteret på en sådan måde, at rørerne er orienteret horizontalt, hvilket giver den bedste naturlige køling. Undersiden på hver modulenhed er dækket af en beskyttelsesplade, som altid bør være på plads under finjusteringer, idet skærmvirkningen har indflydelse på frekvenserne i sender og modtagerkonverter.

Der er monteret tre konnektorer på svinggrammen - en for fødespændingen, en for signalforbindelserne og en for meter- og kontrolforbindelserne. Senderens tastrelæ er endvidere monteret direkte på svinggrammen.

Forsidens støvdæksel er forneden og foroven forsynet med ventilationsåbninger, som muliggør en naturlig luftcirkulation gennem kabinettet uden brug af ventilatorer. I øvrigt er radiostationerne fuldt tropikaliserede.

Placering af stationen

På grund af svinggrammeprincippet kan stelrammen anbringes op ad en væg, hvilket normalt er den mindst pladskrævende placering. I øvrigt er alle komponenter og rør tilgængelig fra forsiden.

Stationsrummet bør være effektivt ventileret, men under visse klimatiske forhold kan det være nødvendigt at placere stationen i et luftkonditioneret rum for at tilsikre radioenhederne en passende lav omgivelsestemperatur. Se i øvrigt temperaturtabellen under "Tekniske Specifikationer", afsnit C.

Alle opgivne specifikationer er baseret på stand-by modtagning og intermitterende sending, idet sendetiden normalt ikke må overstige 20 % af driftstiden, og en enkelt sendeperiode bør ikke være længere end maks. 1 minut. Ved lavere omgivelsestemperaturer og ved nedsat udgangseffekt kan senderen dog arbejde kontinuerligt.

Fødespænding

Den normale fødespænding til stationen skal være enten 110 V vekselspænding eller 220 V vekselspænding. Ved en afvigelse på 10 % fra denne nominelle værdi vil stationen stadig opfylde specifikationerne, og ved en 20 % afvigelse vil stationen stadig funktionere. Udgangseffekten fra vil dog i alle tilfælde variere med fødespændingen.

Såfremt fødespændingen afviger mere end 5 % fra den nominelle fødespænding bør der indskydes en autotransformator mellem fødenettet og stationen. Hyppige variationer eller større variationer i fødespændingen (over 10 %) kræver dog anvendelse af en konstantspændingsenhed.

B. Service**Installation**

Som nævnt i afsnit A. kan radiotelefonstationen placeres op mod en væg eller stilles frit som forholdene dikanterer det. Endvidere bør det kontrolleres, at omgivelsestemperaturerne under normale driftsforhold ikke overstiger de temperaturværdier, som er anført i temperaturtabellen i afsnit C.

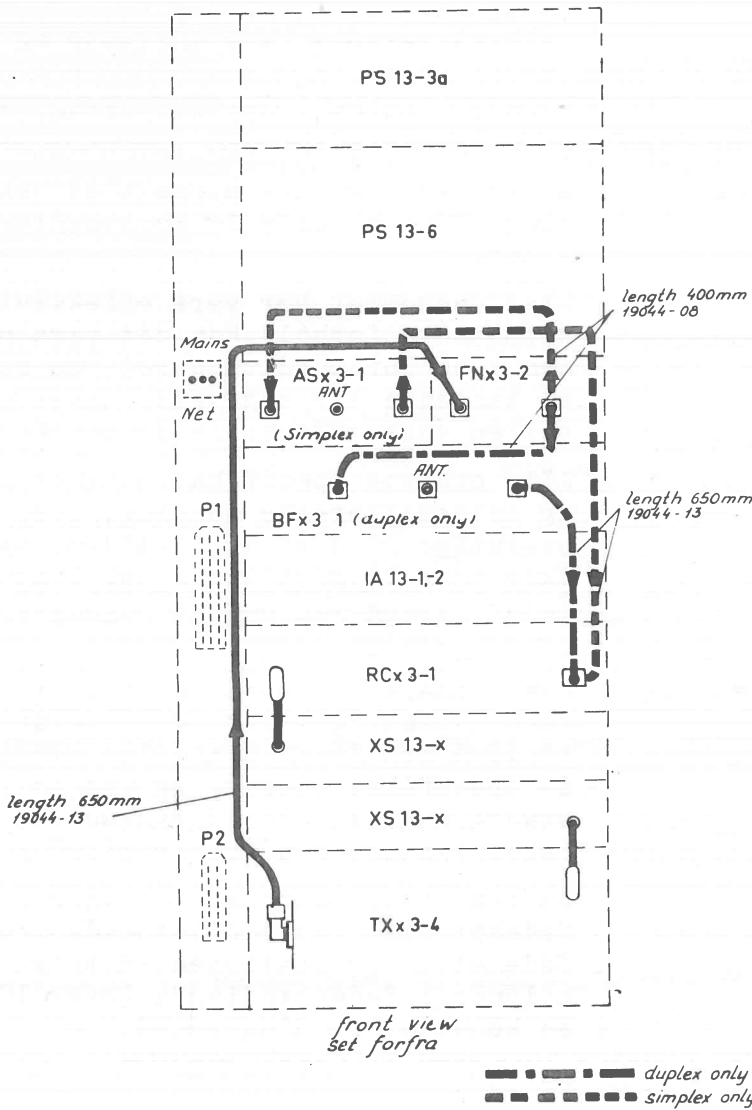
Kapitel I. Stationær VHF Radiostation

Udpakning

Der bør udvises stor forsigtighed ved udpakning af radiostationen for at undgå beskadigelser af modulenhederne. De modtagne dele bør kontrolleres med forsendelsespapirerne, og evt. reklamationer over beskadigede eller manglende dele bør omgående meddeles STORNO.

Kabling

HF-kablingen mellem de forskellige underenheder fremgår af nedenstående skitse. Den almindelige kabling mellem underenhederne er vist på diagram D 400.032 i kapitel IV. Såfremt radiostationen er forsynet med et specielt kontrolsystem, bør kablingsdiagrammet i den tilhørende tekniske håndbog anvendes, idet dette diagram da indeholder alle ændringer som er nødvendiggjort af det specielle kontrolsystem.



Afprøvning

Afprøvningen af den komplette station bør ikke påbegyndes før hele den tekniske håndbog over radiostationen og det eventuelle kontrolsystem er gennemlæst. Enhederne bør derpå tilsluttes og afprøves en ad gangen. Såfremt en enhed ikke i første omgang vil funktionere korrekt, bør den undersøges for installationsfejl i kabling, defekte rør, m.v. Alle modulenheder og den komplette station har været optrimmet og afprøvet på STORNO inden afsendelsen, hvorfor sandsynligheden for fabrikationsfejl er minimal.

Kapitel I. Stationær VHF Radiostation

- Trimning** Sender- og modtagerfrekvenserne er justeret inden afsendelsen med en nøjagtighed, som er bedre end 2×10^{-6} . Såfremt sender- og modtagerfrekvenserne ikke var fastlagte ved afsendelsen, er stationen optrimmet til de frekvenser, som er anført på det medsendte måleblad.
- Det kan imidlertid være nødvendigt at finjustere PA-kredsen og antennekredsen i senderen for at opnå maksimal udgangseffekt. Ved enhver efterjustering eller komplet opjustering bør trimme-forskriften i kapitel III nøje følges.
- ADVARSEL** Forsøg aldrig at justere fabrikstrimmede kredsløb, da sådanne forsøg er dømt til at mislykkes med mindre der rådes over meget nøjagtigt måleudstyr.
- Antenne** Den til stationen hørende antennen skal installeres i overensstemmelse med de instruktioner, som følger med antennen. I almindelighed bør det tilstræbes at gøre de koaksiale fødekanaler så korte som muligt.
- Konnektorer** De medsendte konnektorer bør monteres omhyggeligt, og konnektorer, der er anbragt i fri luft, bør pakkes i silikonefedt og omvikles med vinyltape som en ekstra beskyttelse mod fugtighed.
- Vedligeholdelse** Når installationsarbejdet er afsluttet og stationen bragt til at fungere korrekt, bør radioudstyret ikke overlades til sig selv, indtil der opstår fejl, men tilses med jævne mellemrum. Langt de fleste fejl skyldes slid eller fejljusteringer, og sådanne fejl kan opdages og afhjælpes inden stationen "går ned", såfremt der er gennemført en forebyggende vedligeholdelse efter nedenstående retningslinier.
- Forebyggende vedligeholdelse** Vedligeholdelse og fejlretning bør kun udføres af faguddannet personale, der råder over de nødvendige måleinstrumenter og har sat sig ind i stationens virkemåde.
- For at lette identificeringen af de vigtigste komponenter er chassispladerne mærket med komponenternes positionsnumre. På diagrammerne er desuden angivet de vigtigste spændinger og strømme.
- Målepunkter** De fleste chassiser er forsynet med keramiske målepunkter, hvor relative jævnspændingsmålinger vil sætte den erfarne tekniker i stand til at vurdere den pågældende enheds tilstand. Disse målepunkter er på chassiset mærket med et tal indskrevet i en cirkel, som f.eks. ①. Alle målinger foretages i forhold til stel og med et 50-0-50 μ A instrument, hvis indre modstand er 1000 Ω . STORNO serviceinstrumenter type S105 eller type S106 er specielt udviklet til brug ved bl.a. disse målinger.
- Med stationen følger et måleblad, hvor måleresultaterne fra slutprøveafdelingen er indført. Med regelmæssige mellemrum bør alle målepunkterne kontrolleres, og de opnåede resultater indføres i en stationslog. Ved at sammenligne disse måleresultater med de oprindelige måleresultater i målebladet, er det muligt at danne sig et billede af de forskellige enheders tilstand. Rørslid eller eventuelle fejl vil resultere i afvigelser i måleresultaterne, og rørudskiftning, efterjustering eller fejlretning kan udføres på et forud bestemt tidspunkt og inden stationen svigter totalt.

Kapitel I. Stationær VHF Radiostation

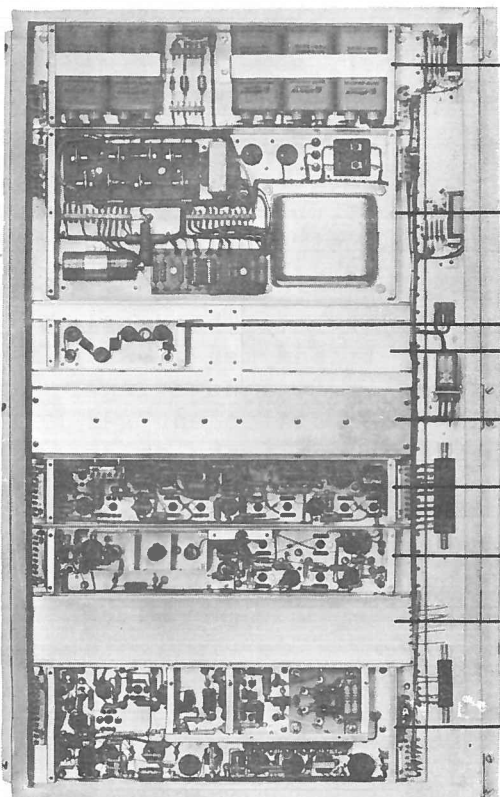
Mekanisk eftersyn

Det kan anbefales at give stationen et mekanisk eftersyn mindst en gang om året, og dette eftersyn bør bl.a. omfatte følgende punkter:

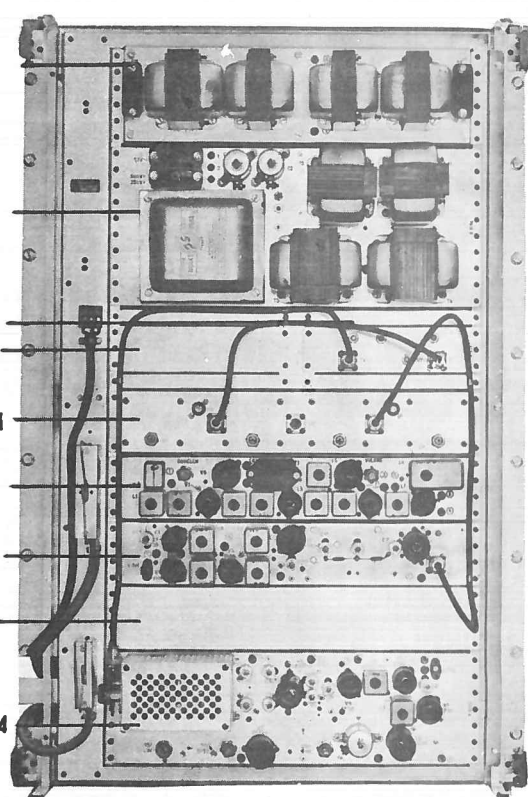
- Eftersyn af låse, overflader og lign. for rust og tæring.
- Rensning af relækontakter og konnektorbøn.
- Undersøgelse af alle koaksialkonnektorer.
- Undersøgelse af alle rørsokler (dårlige forbindelser).
- Fjernelse af støv, snavs, o.s.v. (støvsuges, evt. trykluft).

Reservedele

Beskrivelserne over de enkelte modulenheder omfatter også en stykliste, og ved bestilling på reservedele (komponenter) bør der refereres til disse lister.



Set fra bagsiden— seen from the rear



Set fra forsiden — seen from the front

Fejlfinding

Normalt kan fejl i radiostationen klassificeres indenfor følgende tre grupper:

1. Simple fejl, som kan lokaliseres og rettes af forholdsvis uerfarent personale.
2. Komplicerede fejl, som kun kan lokaliseres af erfarent personale, der råder over det nødvendige måleudstyr.
3. Forstyrrelser fra ydre støjkilder.

Simple fejl

De simple fejl kan opdeles i følgende grupper:

- a. Fejl, som skyldes ydre forhold (f.eks. fading, fødespændingsafbrydelse, svigtende modulationssignal).
- b. Fejljustering af kredse.
- c. Rørfejl.
- d. Dårlige forbindelser i rørsokler eller konnektorer.

Kapitel I. Stationær VHF Radiostation

Ovennævnte fejl kan forholdsvis let lokaliseres ved en kombineret visuel undersøgelse og målepunktsmålinger.

De simple fejl vil sjældent udvikle sig til alvorlige fejl, såfremt de forebyggende eftersyn udføres med regelmæssige mellemrum.

Komplicerede fejl

Når en opstået fejl kan henføres blandt de komplikerede fejl, bør kun erfaren personale, som råder over det nødvendige måleudstyr, forestå fejlfinding og fejlretning. Der kan ikke opstilles generelle regler for en sådan fejlfinding, men stor forsigtighed tilrådes, når der skal udskiftes komponenter. Komponentplaceringen og ledningsføringen skal være nøjagtig som før udskiftningen.

Støjundertrykkelse

Ved konstruktionen er der taget vidtgående hensyn til at dæmpe eventuel elektrisk støj fra ydre støjkilder, idet alle enheder ved hjælp af ferroxcube perler og afkoblinger er støjsikret mest mulig.

Radiostationen kan dog i ekstreme tilfælde blive generet af elektrisk støj fra eksplosionsmotorer, elektriske motorer, telegrafapparater, m.m., men som oftest vil det vise sig, at disse støjkilder ikke er støjdæmpet eller støjdæmpningen er mangelfuld eller defekt.

Der kan ikke opstilles generelle regler eller anvisninger på lokalisering og støjdæmpning af eventuelle støjkilder, men ved hjælp af spoler, kondensatorer og dæmpemodstande vil det ofte være muligt ved forsøg at fjerne eller dæmpe elektrisk støj.

C. Tekniske Specifikationer

Generelt

Frekvensområder

CQF11-2, -3: 136 - 174 MHz
CQF31-2, -3: 68 - 88 MHz

Minimum kanalafstand

CQFx1-2: 50 kHz
CQFx1-3: 25 kHz

Maks. kanalafstand

CQF11-2,-3: 0,8 MHz (1,4 MHz ved stagger-afstemning)
CQF31-2,-3: 0,4 MHz (0,7 MHz ved stagger-afstemning)

Kanalantal

Maks. 6 kanaler, men flere kanaler kan leveres efter ønske.

Modulationsområde

Talekanal: 300 - 3000 Hz
Tonekanal: CQFx1-2: 300 - 8000 Hz
CQFx1-3: 300 - 5000 Hz.

Antenneimpedans

50 Ω nominelt

Kapitel I. Stationær VHF Radiostation

Temperaturområde

Omgivelsestemperatur	Maks. tilladeligt gennemsnit	Maks. på varme dage
50 watt, intermitterende 20 % udnyttelsesforhold	40°C	50°C
50 watt, intermitterende 50 % udnyttelsesforhold	35°C	45°C
25 watt kontinuerligt	30°C	40°C
50 watt kontinuerligt	25°C	35°C

Hver sendeperiode må ikke overstige 5 minutter, og sammenlagt må standby-perioden ikke overskride det angivne udnyttelsesforhold.

Der vil antagelig ikke ske nogen skade, såfremt ovennævnte maksimaltemperaturer overskrides i korte perioder med indtil 10°C, og ved intermitterende drift vil radiotelefonstationen således kunne funktionere tilfredsstillende selv i tropisk klima. Ved kontinuerlig drift af senderen må det dog anbefales at ventilere stationsrummet for at tilsikre maksimal pålidelighed og fejlfri funktionering.

SenderUdgangseffekt

50 watt eller 25 watt.

Maksimalt frekvenssving

CQFx1-2: ± 15 kHz
CQFx1-3: ± 5 kHz.

Frekvensstabilitet

CQFx1-2 + CQF31-3: Bedre end $\pm 15 \times 10^{-6}$
CQF11-3: Bedre end 5×10^{-6} .

Frekvensmultiplikation

$2 \times 4 \times 3 \times 1 = 24$ gange.

Ønsket udstråling

Harmonisk udstråling: Dæmpet mere end 75 dB.

Ønsket udstråling: Dæmpet mere end 85 dB.

ModulationModulation

Talekanal: Fasemodulation 300 - 3000 Hz

Tonekanal: Fasemodulation 300 - 3000 Hz

Fasemodulation eller frekvensmodulation over 3000 Hz.

Indgangsimpedans

600 Ω balanceret.

Maksimal følsomhed

Tonekanal: CQF11-2: -12 dBm for $F_m = 1$ kHz og $\Delta F = 7.5$ kHz

CQF11-3: -22 dBm for $F_m = 1$ kHz og $\Delta F = 2.5$ kHz

CQF31-2: -7 dBm for $F_m = 1$ kHz og $\Delta F = 7.5$ kHz

CQF31-3: -15 dBm for $F_m = 1$ kHz og $\Delta F = 2.5$ kHz.

Kapitel I. Stationær VHF Radiostation

Talekanal: CQF11-2: -22 dBm for Fm = 1 kHz og ΔF = 7.5 kHz
 CQF11-3: -32 dBm for Fm = 1 kHz og ΔF = 2.5 kHz
 CQF31-2: -19 dBm for Fm = 1 kHz og ΔF = 7.5 kHz
 CQF31-3: -29 dBm for Fm = 1 kHz og ΔF = 2.5 kHz

Såfremt radiotelefonanlægget benyttes i forbindelse med styreudstyr, er niveauerne fra fabrikken indstillet i overensstemmelse med niveauværdierne angivet på diagrammet i styringsbeskrivelsen.

Modulationsforvrængning (talekanal)

CQFx1-2: Mindre end 2.5 % for Fm = 1 kHz og ΔF = 7.5 kHz
 CQFx1-3: Mindre end 2.5 % for Fm = 1 kHz og ΔF = 2.5 kHz

Modulationsbegrænsninger (talekanal)

Senderindgangstrinnet er forsynet med en effektiv talebegrænsning, der begrænser modulationen til det tilladelige maksimale frekvenssving.

FM-støj og brum (talekanal)

CQFx1-2: Dæmpet mere end 50 dB relativt til Fm = 1 kHz og ΔF = 10 kHz.
 CQFx1-3: Dæmpet mere end 40 dB relativt til Fm = 1 kHz og ΔF = 3,3 kHz.

RørRørbestykning

	Europ.	U.S.	S.Q.
Modulationsforstærker	ECC81	12AT7	6201
Oscillator	EF91	6AM6	6064
Fasemodulator og dobler	ECC81	12AT7	6201
Firedobler	EF91	6AM6	6064
Tripler	5654/M8100	6AK5	5654
Styrerør	QQE03/12	6360	
Klippediode	OA200		
HF-målediode	GEX66		

ModtagerFølsomhed

CQF11-2,-3: 12 dB signal/støjforhold ved mindre end 0,9 μ V emk med ΔF = $2/3 \Delta D$ maks. og Fm = 1 kHz, inkl. antennefilter.
 CQF31-2,-3: 12 dB signal/støjforhold ved mindre end 0,8 μ V emk med ΔF = $2/3 \Delta D$ maks. og Fm = 1 kHz, inkl. antennefilter.

Støjtal

CQF11-2,-3: Maks. 6 dB
 CQF31-2,-3: Maks. 5 dB.

Squelchfølsomhed

Tærskelværdien er 0,5 μ V (svarende til et signal/støjforhold på 6 dB).

2. MF selektivitet

CQFx1-2: Ved ± 15 kHz er dæmpningen mindre end 6 dB
 Ved ± 35 kHz er dæmpningen mindst 70 dB
 CQFx1-3: Ved ± 6 kHz er dæmpningen mindre end 6 dB
 Ved ± 17 kHz er dæmpningen mindst 70 dB.

Kapitel I. Stationær VHF Radiostation

Frekvensstabilitet

CQFxl-2: Bedre end $\pm 15 \times 10^{-6}$.
CQFxl-3: Bedre end $\pm 5 \times 10^{-6}$.

Modtagerudstråling

Dæmpet mere end 85 dB.

Intermodulationsdæmpning

Bedre end 60 dB.

Demodulationskarakteristik

-6 dB/oktav indenfor 300 til 3000 Hz.

Udgangsimpedans

600 Ω balanceret.

Standard toneniveau

Modtagerudgang: +4 dBm ved $F_m = 1 \text{ kHz}$ og $\Delta F = 1/2 \Delta F \text{ maks.}$

Modtagerforvrængning

Maks. 2,5 % ved $F_m = 1 \text{ kHz}$ og $\Delta F = 1/2 \Delta F \text{ maks.}$

Maks. LF-udgangseffekt

CQFxl-2: +7 dBm for $F_m = 1 \text{ kHz}$ og $\Delta F = 1/2 \Delta F \text{ maks.}$

CQFxl-3: +12 dBm for $F_m = 1 \text{ kHz}$ og $\Delta F = 1/2 \Delta F \text{ maks.}$

Såfremt modtagerenheden benyttes i forbindelse med styreudstyr, er niveauerne indstillede i overensstemmelse med niveauværdierne angivet på diagrammet i styringsbeskrivelsen.

StrømforsyningFødespænding

220/110 V vekselspænding $\pm 10 \%$.

Effektforbrug

Modtager + sender: Ca. 230 VA ved 50 W udgangseffekt
Ca. 190 VA ved 25 W udgangseffekt

Modtager + sender standby: Ca. 60 VA.

DimensionerDimensioner

710 mm (højde), 490 mm (bredde), 165 mm (dybde)

Vægt

Ca. 35 kg.

KAPITEL II. TEORETISK GENNEMGANG AF SENDER/MODTAGERENHEDERNE

A. Generelt

Modenheder Radiotelefonstation CQFx1-2,-3 indeholder minimalt følgende modenheder:

- TX13/33-4 25/50 watt senderenhed med 7 rør
- FN13/33-2 Antennefilter
- RC13/33-1 Modtagerkonverter med 5 rør
- IAL3-1,-2 Mellemfrekvensforstærker for henholdsvis 50 kHz og 25 kHz kanalafstand, hver indeholdende 6 rør
- PS19-6 Senderstrømforsyning
- PS13-3a Modtagerstrømforsyning

Såvel modtagerkonverter som sender er forsynet med krystalfatning for 1 kanal, idet dog radiostationen CQF11-3 kræver montering af krystalskifteenhed med krystalovn. Såfremt der ønskes mere end en krystalkanal skal der anvendes krystalskifteenheder.

På de efterfølgende sider er givet en detailleret gennemgang af kredsløbsteorien for de enkelte modenheder. Diagrammer og styklister findes i kapitel IV.

B. Sendersektionen

Sendersektionen består af senderenhed TX13/33-4, antennefilter FN13/33-2 samt senderstrømforsyning PS13-6.

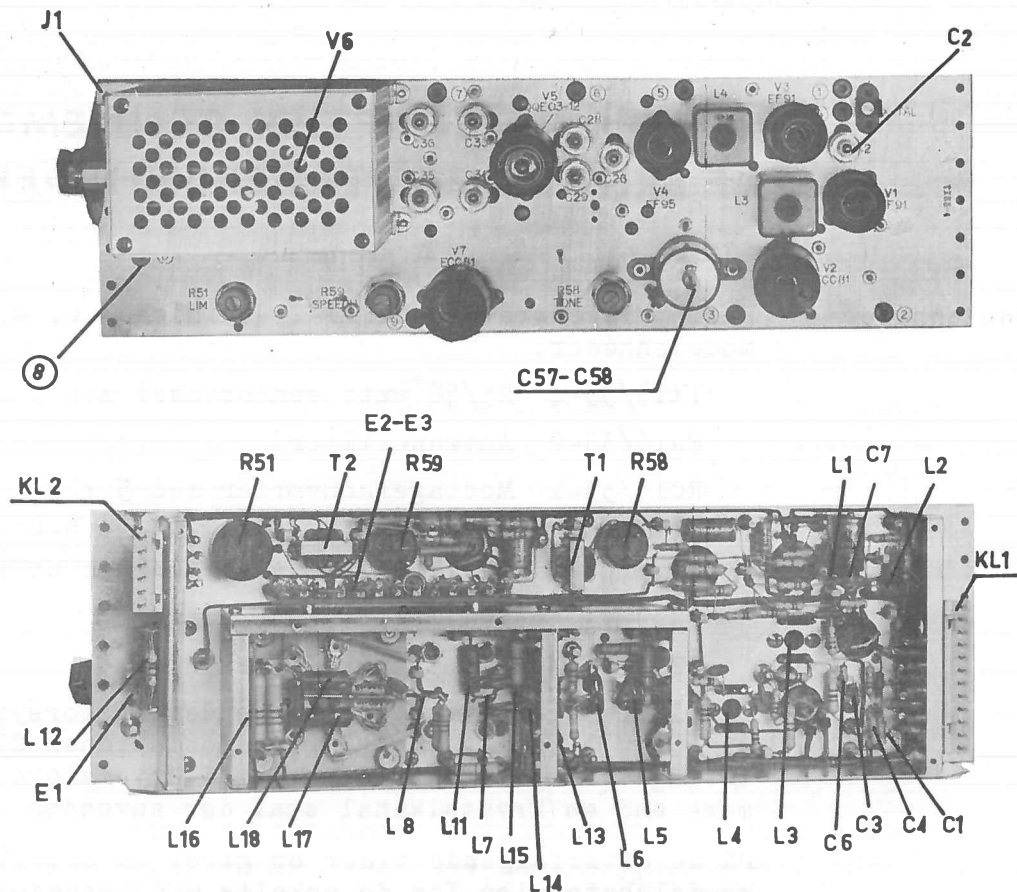
TX13/33-4

FM-senderenheden er beregnet for kommunikation på forud valgte kanaler indenfor frekvensområdet 136 .. 156/152 .. 174 MHz (TX13-4) eller 68 .. 88 MHz (TX33-4). Kanalafstanden kan være enten 25 kHz eller 50 kHz, og udgangseffekten kan være enten 25 eller 50 watt. Frekvenssvinget kan reduceres ved indstilling af begrænserpotentiometeret i modulatorkredsløbet.

Senderen er fasemoduleret og forsynet med to modulationsindgange - en talekanal med modulationsbegrænsninger for taleområdet 300 .. 3000 Hz, samt en tonekanal for frekvensområdet 300 .. 6000 Hz (dog maksimalt 5000 Hz i typerne CQF11-3 og CQF31-3). Det maksimale frekvenssving er 15 kHz op til 3000 Hz.

Senderenheden er kvartskrystalstyret, hvorfed der er opnået en frekvensstabilitet bedre end $\pm 15 \times 10^{-6}$ indenfor det normale temperatur- og driftspændingsområde. I CQF11-3, hvor der anvendes krystalovn, er frekvensstabiliteten bedre end $\pm 5 \times 10^{-6}$.

Kapitel II. Teoretisk Gennemgang af Sender/Modtagerunderenhederne



Krystalskift

Når anlægget arbejder med 50 kHz kanalafstand kan senderenhedens krystalsokkel anvendes ved een-kanaldrift, men såfremt der ønskes mulighed for omskiftning mellem flere kanaler, skal der anvendes en krystalskifteenhed. I type CQF11-3 skal der anvendes krystalskiftenhed med ovn, uanset om der ønskes een kanal eller flere kanaler.

Mekanisk

Senderenheden er opbygget efter modulprincippet og optager 4" i højden i et 19" standard stel. Alle tilledninger til strømforsyninger samt signalledninger passerer gennemføringskondensatorer og ferroxcubeperler.

Kredsløbs-analyse

Krystaloscillatoren (V1) svinger i et Pierce-Colpitts kredsløb med krystallet anbragt mellem skærmgitter og styregitter, hvorved der opnås stor stabilitet overfor spændingsvariationer.

En eventuelt krystalskifteenhed forbides til senderen med et twinlead kabel med påmonteret krystalholder. Oscillatorsignalen føres via fasedrejningsledet og koblingskondensatoren til fasemodulatoren (V2a), og hertil føres også modulationsspændingen via R38 og R54. Princippet i fasemodulatoren tillader meget store frekvenssving ved lav forvrængning.

Multiplikator

Frekvensdoblerens (V2b) anodekreds er dobbeltaflestet til den 2. harmoniske af krystaloscillatorfrekvensen, og den efterfølgende firedoblers (V3) anodekreds er afstemet til krystal-

Kapitel II. Teoretisk Gennemgang af Sender/Modtagerunderenhederne

oscillatorens 8. harmoniske.

Det tredie multiplikatortrin er et triplertrin (V4), hvor anodekredsen er dobbeltafstemt til krystalfrekvensens 24. harmoniske, der er senderens udgangsfrekvens.

Triplerens balancede sekundærkreds "føder" drivertrinnet (V5), der er et push-pull tetroderør, som afgiver den nødvendige styreeffekt til push-pull udgangstrinnet (V6). Anodekredsen er afstems med butterflykondensatorer og induktivt koblet til antennelinken. Udgangseffekten er nominelt ca. 50 watt, og ved hjælp af et monitorkredsløb kan udgangsspændingen over antennekonnekturen måles. Ved at forandre anodespændingens størrelse og ved udskiftning af skermgittermodstanden kan udgangseffekten nedsættes til ca. 25 watt.

For at sikre rørerne i tilfælde af svigtende udstyring er der anvendt dels katodemodstande og dels fast negativ gitterforspænding.

Modulation

Senderens to modulationsindgange - taleindgang og tonesignalindgang - er begge balancede. Talesignalerne føres via indgangstransformator og reguleringspotentiometer til LF-forstærkertrinnet (V7a) og videre til diodeklipperen E2 - E3. Modulationsspændingerne passerer derpå et integrationsled og føres til LF-røret V7b, der er modkoblet med et RC-led på en sådan måde, at der opnås en lavpasvirkning med afskæring ved ca. 3000 Hz. De harmoniske forvrængningsprodukter hidrørende fra talebegrænseren dæmpes herved førend de når fasemodulatoren, og faren for modulationssplatter i nabokanalerne nedsættes.

Tonesignalkanalen er direkte forbundet til fasemodulatoren via tilpasningstransformator og reguleringspotentiometer. Fasemodulationen er retlinet i området 300 - 8000 Hz (300-5000 Hz i CQF11-3 og CQF31-3), men med en enkel strapning kan der indskydes et -48 uSek.-led, der sænker modulationen på de høje frekvenser over 3400 Hz.

Glødestrom

Glødetrådkredsløbet kan kobles til enten 6,3 V eller 12,6 V og er udført "svævende" i forhold til stel.

FN13/33-2

Dette VHF lavpasfilter er beregnet til at dæmpe udstrålingen af uønskede frekvenser fra sendere med en udgangsfrekvens på 68 .. 88 MHz (FN33-2) eller 136 .. 174 MHz (FN13-2).

Lavpasfiltret er et konstant K-filter med en karakteristisk impedans på 52Ω , og filtret består af 4 T-sektioner.

PS13-6

PS13-6 er en netdreven strømforsyningseenhed, der afgiver anodespænding, gitterforspænding og glødespænding til senderenheden.

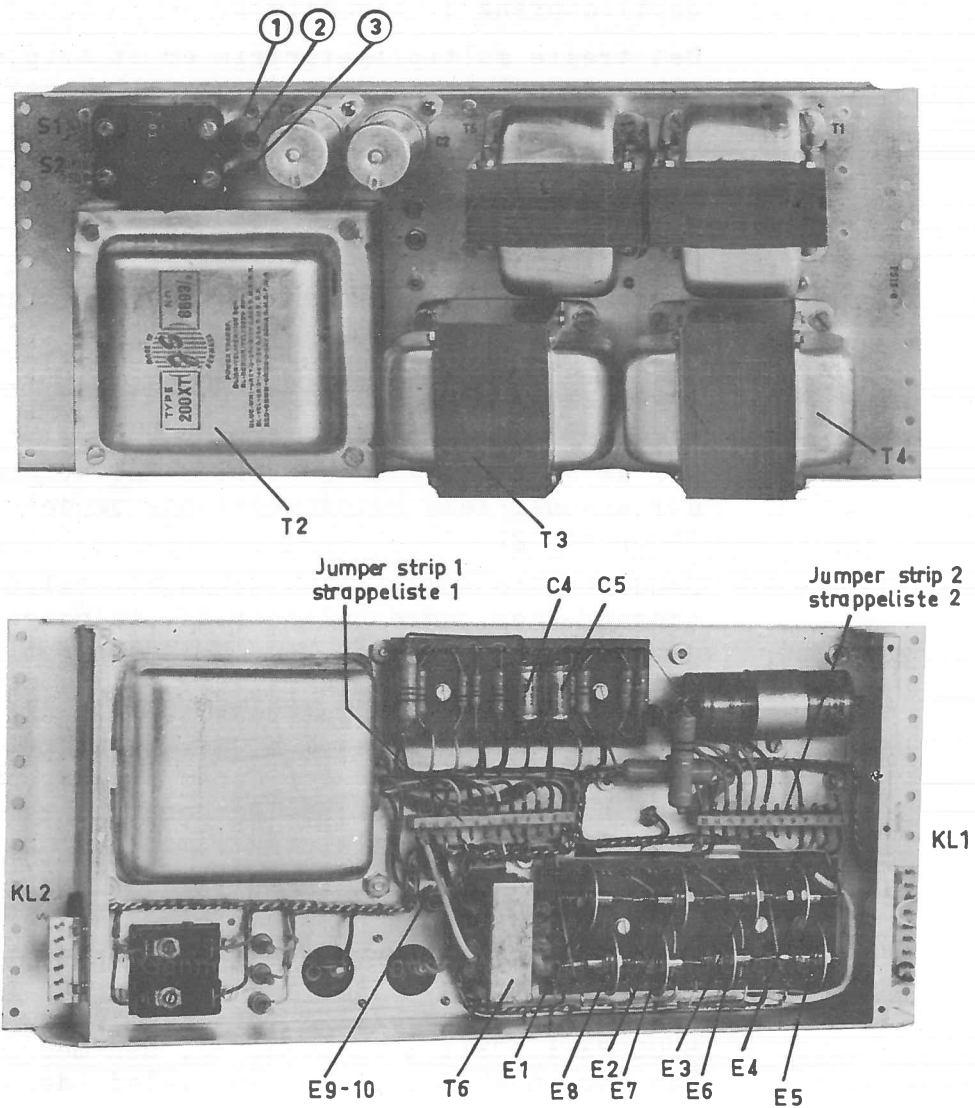
Konstruktion

På chassisets overside er monteret følgende større komponenter: Glødespændingstransformatoren T1, den fælles anodespændings- og gitterforspændingsstransformator T2, filterspolerne C1 og C2 samt to automatiske ETA-sikringer. De øvrige komponenter er monteret på chassisets underside.

Fødespænding

Fødespændingen kan være enten 110 V eller 220 V vekselspænding, idet hver enkelt transformator kan omkobles ved loddestrips.

Kapitel II. Teoretisk Gennemgang af Sender/Modtagerunderenhederne

**Anodespænding**

T2's lave anodespændingssektion har to udtag (6 og 7), der justeres i forbindelse med den anvendte sendertype. T2's høje anodespændingssektion har tre udtag (8, 9 og 10), men den måde, disse udtag strappes på afhænger af, hvilken type senderenhed strømforsyningen afgiver spændinger til.

Gitterforspænding

T2's gitterforspændingssektion består af ensretterventilerne E9 og E10, filterkondensatorerne C4 og C5 samt filterspolen T6. Udgangsspændingen er negativ og anvendes som fast gitterforspænding i senderne.

Glødespænding

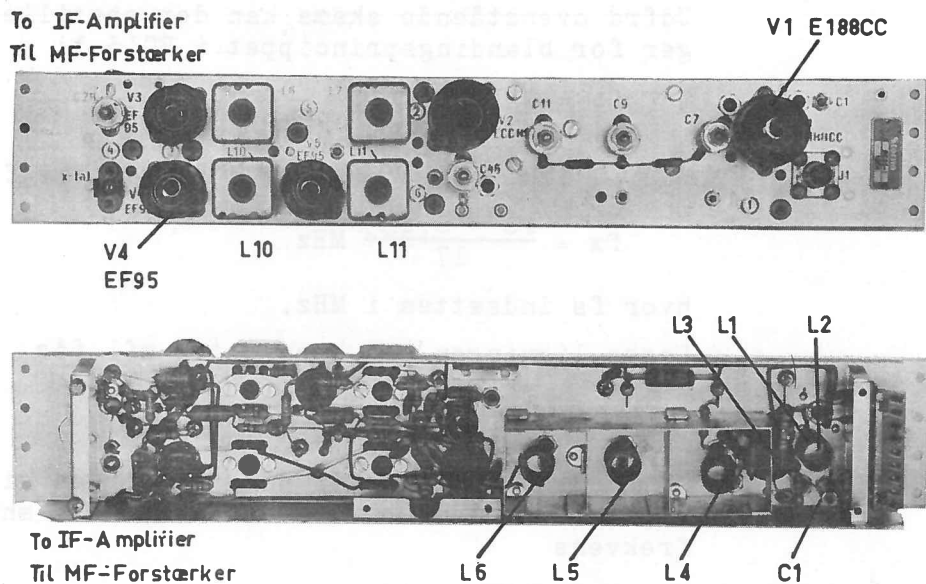
Lavspændingstransformatoren T1 afgiver 6,3 V vekselspænding til senderrørernes glødetråde.

C. Modtagersektionen**RC13/33-1**

Modtagerkonverteren forstærker det modtagne signal og konverterer det til en mellemfrekvens på 455 kHz. Den er kvartskrystalstyret, og der er anvendt dobbelt-

Kapitel II. Teoretisk Gennemgang af Sender/Modtagerunderenhederne

transponering med en 1. mellemfrekvens på ca. 10 MHz (RC13-1) eller 8 MHz (RC33-1). Modtagerkonverteren efterfølges af en separat mellemfrekvensenhed, som er beskrevet andetsteds.



SF-trin

Antennesignalet føres via antennekonnektoren J1 til antennelinken L1, som er induktivt koblet til gitterkredsen C1-L2 i signalfrekvensforstærkeren SF (V1). Til SF-trinnet er anvendt en dobbelttriode af typen E188CC, som er forbundet i en kaskodekobling, hvor ved der opnås et lavt støjtal.

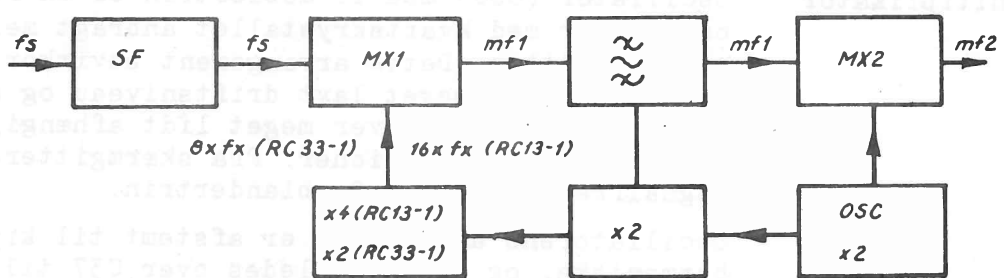
Kaskodetrinnet efterfølges af et triple båndpasfilter C7-L4, C9-L5 og C11-L6, hvorved der opnås stor indgangsselektivitet;

1. Blandertrin

Signalfrekvensen føres til styregitteret på 1. blandertrin MX1 (V2a) sammen med lokalsignalfrekvensen, som aftages fra L12.

2. Blandertrin

I anoden på 1. blandertrin selekteres på sædvanlig måde den ønskede 1. mellemfrekvens, som gennem et selektivt filter ledes til styregitteret på 2. blandertrin MX2 (V3), der er en pentode af typen 5654/M8100. Til styregitteret føres også en lokalsignalfrekvens, som i dette tilfælde er kvartskrystallets grundfrekvens.



Kapitel II. Teoretisk Gennemgang af Sender/Modtagerunderenhederne

Som det klart fremgår af skemaet anvendes der dobbelt transponering med kun én krystal. Dette indebærer bl.a. at 1. mellemfrekvens mfl bliver afhængig af signalfrekvensen.

Udfra ovenstående skema kan der opstilles følgende ligninger for blandingsprincippet i RC13-1:

$$fs = 16fx + mfl \quad (1)$$

$$mfl = fx + 0,455 \quad (2)$$

Ved at løse ligningerne med hensyn til fx fås

$$fx = \frac{fs - 0,455}{17} \text{ MHz} \quad (3)$$

hvor fs indsættes i MHz.

Løses ligningen med hensyn til mfl fås

$$mfl = \frac{fs + 7,28}{17} \text{ MHz} \quad (4)$$

Af ligning (4) fremgår det, at for en given ændring af signalfrekvensen bliver den absolute ændring i 1. mellemfrekvens

$$\Delta mfl = \frac{\Delta fs}{17}$$

Ydermere kan der opstilles følgende ligninger for blandingsprincippet i RC33-1:

$$fs = 8fx + mfl \quad (1)$$

$$mfl = fx - 0,455 \quad (2)$$

Ved at løse ligningerne med hensyn til fx fås

$$fx = \frac{fs + 0,455}{9} \text{ MHz} \quad (3)$$

hvor fs indsættes i MHz.

Løses ligningen med hensyn til mfl fås

$$mfl = \frac{fs - 3,64}{9} \text{ MHz} \quad (4)$$

Af ligning (4) fremgår det, at for en given ændring af signalfrekvensen bliver den absolute ændring i 1. mellemfrekvens

$$\Delta mfl = \frac{\Delta fs}{9}$$

Multiplikator

Oscillator (OSC) med 1. doblertrin er en Pierce-Colpitts oscillator med kvartskrystallet anbragt mellem styregitter og skærmgitter. Dette arrangement bevirket, at krystallet svinger med et meget lavt driftsniveau og at krystallets resonansfrekvens bliver meget lidt afhængig af anode- og glødespændingsvariationer. Fra skærmgitteret føres lokal-signalfrekvensen til 2. blandertrin.

Oscillatorens anodekreds er afstemt til krystallets 2. harmoniske, og signalet ledes over C37 til 2. doblertrin, som også er en pentode af typen 5654/M8100 (V5). Oscillato-

Kapitel II. Teoretisk Gennemgang af Sender/Modtagerunderenhederne

rens og 2. doblertrins gitterstrømme kan kontrolleres i målepunkterne 4 og 5.

I anoden på anden dobler frafiltreres den 4. harmoniske af krystalfrekvensen med to-kredsfiltret L11, hvis sekundærkreds er koblet til 3. multiplikatortrin, der er den anden triodedel i ECC81 (V2b). Multiplikatortrinets gitterstrøm kan kontrolleres i målepunkt 6.

I anoden på multiplikatortrinet frafiltreres den 16. (RC13-1) eller 8. (RC33-1) harmoniske af krystalfrekvensen med kredsen C46-L12, og herfra føres lokalsignalfrekvensen via en koblingskondensator til styregitteret på 1. blandertrin.

Flere kanaler

Modtagerkonverteren kan forsynes med eet kvartskrystal. Såfremt den skal anvendes til flerkanalsystemer, skal der tilsluttes en separat krystalskifteenhed. Krystalskifteenheden skal anbringes i umiddelbar nærhed af modtagerkonverterenheden - normalt ved den lave kant på chassiset. Krystalskifteenheden forbindes til konverterenheden med et twin-lead kabel med en påmonteret krystalholder, som passer i krystalfatningen på konverterenheden. I forbindelse med 25 kHz drift skal RC13-1 dog altid forbindes med et krystalskifteenhed.

Når der anvendes en krystalskifteenhed, skal kondensatorerne C26, C27, C28 og C29 være fraloddet.

Udgangsmellemfrekvensen på 455 kHz føres via et hul i siden på chassiset til den efterfølgende mellemfrekvensforstærker, som er en separat enhed og beskrives senere.

Alle strømforsyningstilledninger passerer gennemføringskondensatorer og ferroxcubeperler. Bundmontagen er afskærmet med en bunddækplade. Herved nedsættes udstråling af uønskede frekvenser, stabiliteten forhøjes og montagen holdes fri for støv og snavs.

Enheden er dimensioneret til anvendelse i troperne.

Glødetrådkredsløbet kan kobles enten til 6,3 V eller 12,6 V. Ved 6,3 V forbindes terminal 6 og 7 på kl. 1 sammen.

IA13-1,-2

Mellemfrekvensenheden IA13-1 er anvendt i anlæg med en min. kanalafstand på 50 kHz (CQFx1-2), medens mellemfrekvensforstærkerenhed IA13-2 er anvendt i anlæg med en min. kanalafstand på 25 kHz (CQFx1-3).

Generelt

MF-forstærkerenheden forstærker 455 kHz signalet fra andet blandertrin i modtagerkonverteren, og efter at have passeret begrænser- og demoduleringskredsene, forstærkes det resulterende LF-signal op til et passende niveau i et linieforstærkertrin. Mellemfrekvensforstærkeren indeholder desuden et støjstyret squelchkredsløb, der giver mulighed for tilslutning af et alarmkredsløb.

MF-trin

455 kHz mellemfrekvenssignalet forstærkes i V1 og V2 med i alt 12 afstemte kredse, opdelt i 3 separate 4-kredsfiltre (L1/L2 - V1 - L3/L4 - V2 - L5/L6). MF-forstærkeren er forsynet med et specielt AVC-kredsløb, hvor hvert enkelt trin frembringer sin egen reguleringsspænding ved filterensretning i forstærkerørret.

Kapitel II. Teoretisk Gennemgang af Sender/Modtagerunderenhederne

Forstærkerens indgangskreds forbides til andet blandertrin i modtagerkonverteren ved en loddeforbindelse gennem et lille hul i chassisets sidekant.

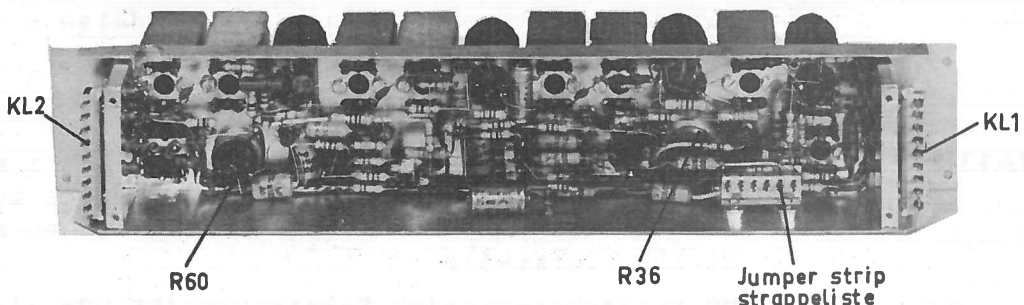
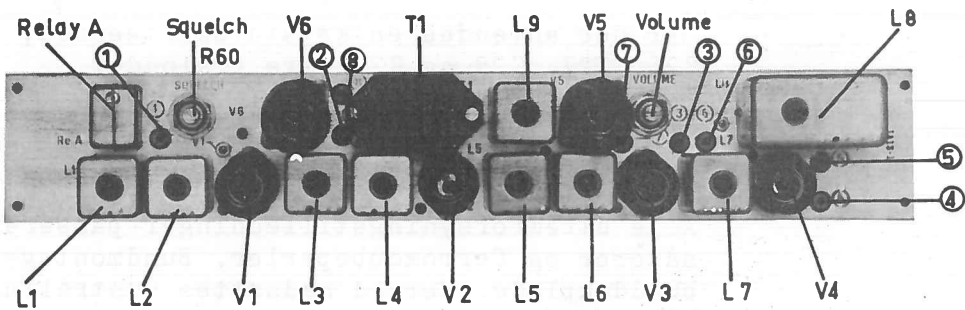
Begrænsertrin

MF-forstærkeren efterfølges af to begrænsertrin (V3 og V4), der har forskellig tidskonstantkredse for at opnå den bedst mulige statiske og dynamiske begrænserkarakteristik.

De to begrænsertrin er sammenkoblet over kredsen L7, der har så stor båndbredde, at den ikke bidrager væsentligt til forstærkerens samlede selektivitet.

Diskriminator

Diskriminatoren L8 er af Foster-Seeley typen og efterfølges af V5b (Audio and Noise Amplifier). Diskriminatoren er forsynet med et de-emphasis kredsløb (R34 - R35 - C43), der giver den ønskede demodulationskarakteristik. Når de-emphasiskredsløbet er forbundet som angivet på diagrammet, falder karakteristikken 6 dB/oktav i området 300 ... 3000 Hz. Ved at fralodde C43 vil karakteristikkurven være flad over hele modulationsområdet.



Linieforstærker

Linieforstærkertrinnet (V5a) forstærker det demodulerede signal til det ønskede udgangsniveau.

Strømmodkobling over den uafkoblede katodemodstand (R38) sikrer lav forvrængning, idet den er således indstillet, at forstærkerens udgangsimpedans er 600Ω .

Udgangsniveauet kan indstilles med potentiometeret R36.

Squelch

Squelchkredsløbet består af støjforstærkerrøret V5b, filter- og detektorenheten L9 samt relørøret V6.

Signalet til styringen af squelchkredsløbet tages fra diskriminatoren og forstærkes i V5b. I L9 afskæres alle fre-

Kapitel II. Teoretisk Gennemgang af Sender/Modtagerunderenhederne

kvenser under ca. 20 kHz (i IA13-1) eller under 5 kHz (i IA13-2), og efter filteret ensrettes støjsignalet. Den ensrettede støjspænding føres til gitteret på relørøret V6a. I serie med den ensrettede støjspænding, som er positiv i forhold til stel, lægges en negativ forspænding, som over R59 - R60 udtages fra gitteret på begrænser 2. Denne forspænding kan varieres ved hjælp af potentiometer R60, og det er derfor muligt at indstille squelchkredsløbet, således at det åbner ved det ønskede signal niveau.

Med signal på modtageren er squelchrelæset normalt trukket, men når signalet forsvinder, stiger den ensrettede støjspænding. Røret V6a trækker strøm, relæset falder, og over dets kontakter brydes anodestrømmen i linieforstærkerrøret V5a, hvorefter modtageren lukkes.

Alarm

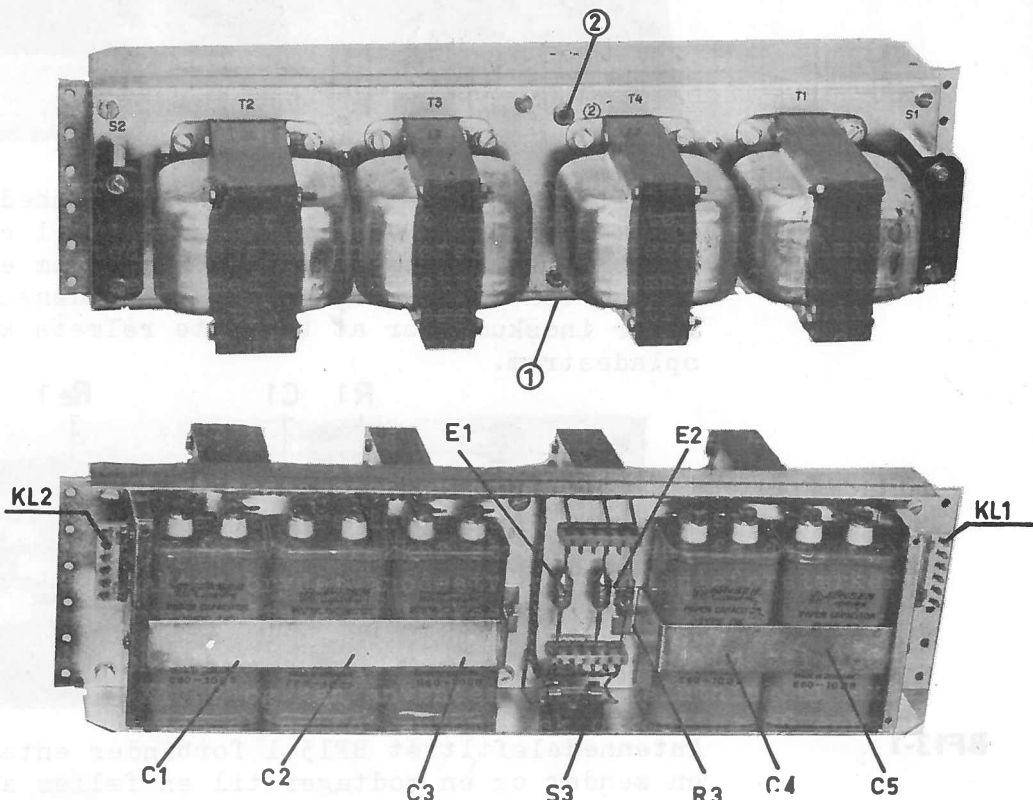
Et sæt kontakter på squelchrelæset er ført ud til loddeterminal Kl. 2 og kan anvendes ved tilslutning af externt alarmkredsløb eller for automatisk omkobling af enheder eller andre formål efter ønske.

Glødestrøm

Glødestromskredsløbet er forbundet på en sådan måde, at enheden kan tilsluttes 6,3 V eller 12,6 V efter ønske.

Målepunkter

Alle trin er forsynet med målepunkter, hvorved de vigtigste strømme og spændinger lader sig måle. Gitterstrømmen i begrænser 1 og diskriminatorens udgangsspænding kan desuden måles over måleledninger, som er ført ud over terminal Kl. 2.



PS13-3a

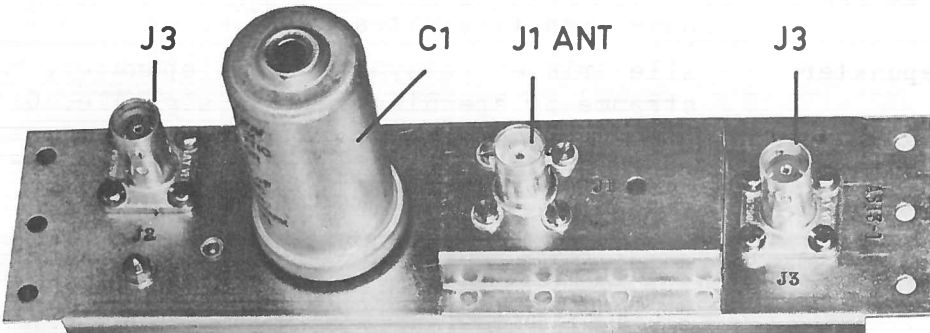
PS13-3a er en netdrevet strømforsyningseenhed, der afgiver anodespænding og glødespænding til en modtagerenhed.

Kapitel II. Teoretisk Gennemgang af Sender/Modtagerunderenhederne

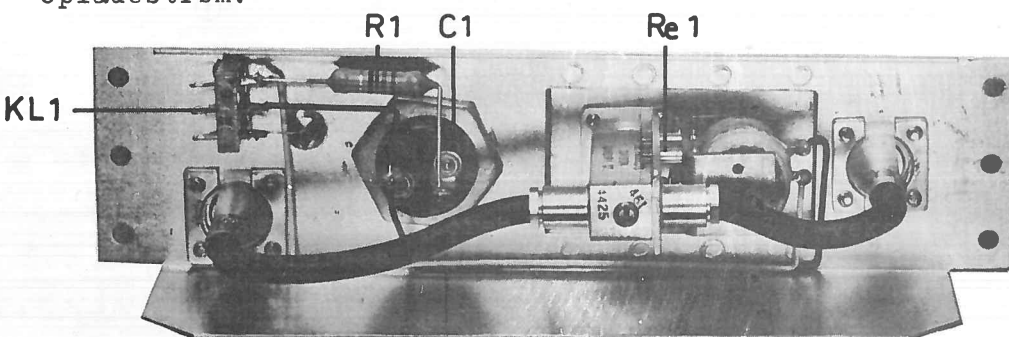
Konstruktion	På chassisets overside er monteret anodespændingstransformatoren T1, glødespændingstransformatoren T2, filterspolerne T3 og T4 samt to automatiske ETA-sikringer. De øvrige komponenter er monteret på chassisets underside.
Fødespænding	Fødespændingen kan være enten 110 V eller 220 V vekselspænding, idet begge transformatorers primærsider kan omkobles ved loddestrips.
Anodespænding	Transformatoren T1 har 3 omskiftningsmuligheder på sekundær siden, hvorved anodespændingen til modtageren kan forandres. Udgangsspændingen fra dobbeltensretteren (E1 og E2) er filteret i to pi-filterkredsløb.
Glødespænding	Lavspændingstransformatoren T2 afgiver 6,3 V vekselspænding til modtagerrørernes glødetråde.

D. Fælles Underenheder

AS13-1



AS13-1 er en koaksial antenneskifteenhed med 52Ω impedans, der kan anvendes ved frekvenser op til ca. 500 MHz. Selve omskiftningen foretages med et relæ, som er forsinket ca. 0,1 sekund ved frafald ved hjælp af kondensator C1. Modstanden R1 er indskudt for at beskytte relæets kontakter mod for stor opladestrøm.



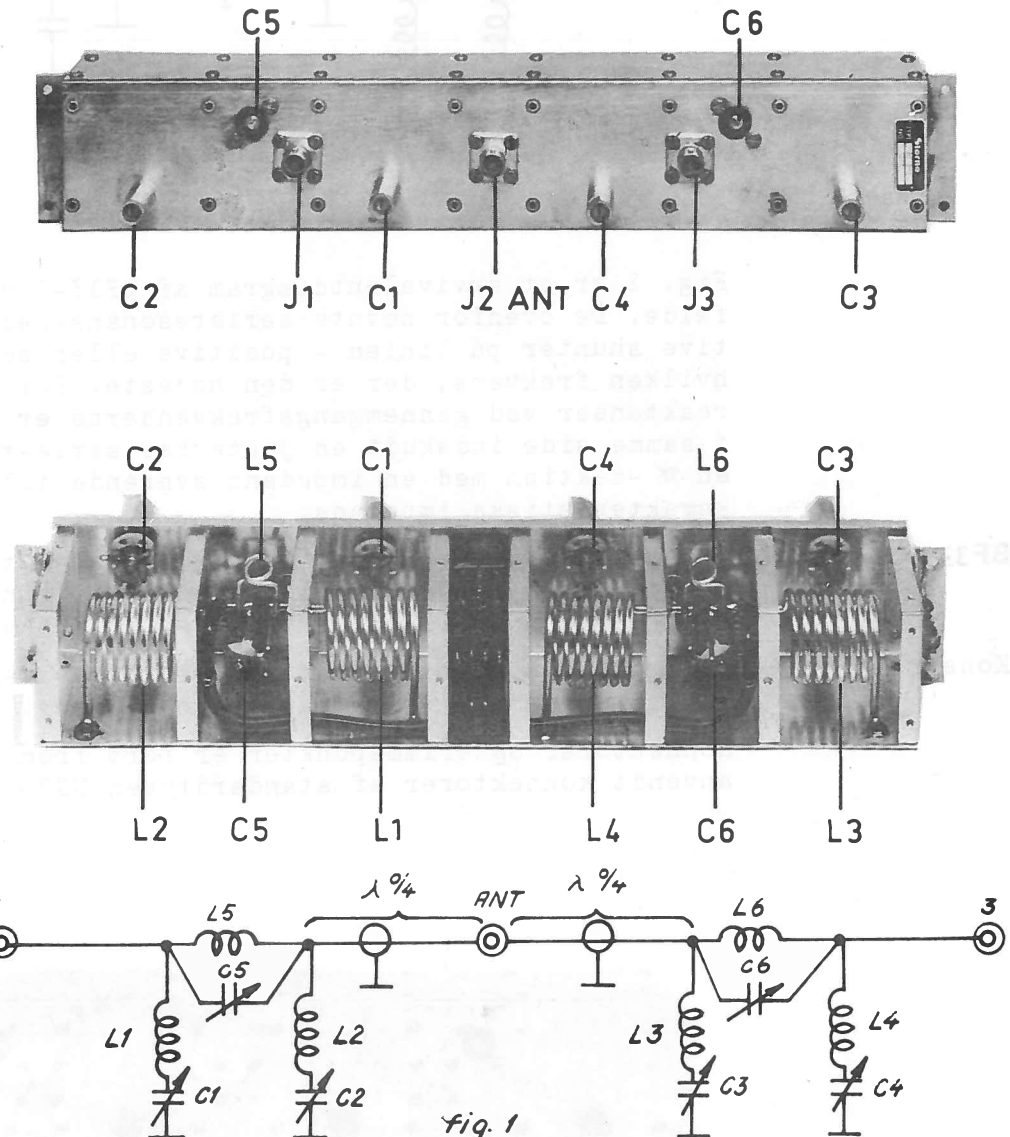
BF13-1

Antennedelefiltret BF13-1 forbinder enten to sendere eller en sender og en modtager til en fælles antenné. Frekvensafstanden er fra 4,5 MHz til 12,0 MHz indenfor frekvensbåndet 144 - 174 MHz.

Konstruktion

Filtret er monteret på et fælles, forsølvet chassis med hver filterenhed anbragt i separate skærmdås'er.

Alle konne torer og trimmepunkter er ført frem til forpladen. Der er anvendt konnektorer af standardtypen UG290/U.



Kredsløbs-analyse

I fig. 1 er vist et simplificeret diagram af BFL13-1. De to ens filtersektioner er forbundet til en fælles antennekonnektor ANT (J2) ved hjælp af $\lambda/4$ koaksialkabler. λ svarer til en elektrisk bølgelængde ved 165 MHz.

Se også vedføjede fotografier for nøjagtig lokalisering af de enkelte komponenter, konnektorer og trimmepunkter.

Spærring

Isolationen mellem terminal 1 og terminal 3 opnås ved at afstemme kredsene L1-C1 og L2-C2 til serieresonans med hensyn til f2, og kredsene L3-C3 og L4-C4 til serieresonans med hensyn til f1, hvorved der opnås en effektiv kortslutning af uønskede signaler. Denne kortslutning transformeres tilbage til indgangskonnektoren som en høj impedans ved hjælp af $\lambda/4$ koaksialkabler. Et signal fra antennen, f.eks. på frekvensen f2, vil derfor passere mod terminal 3, idet en høj impedans spærrer for gennemgang mod terminal 1.

Kapitel II. Teoretisk Gennemgang af Sender/Modtagerunderenhederne

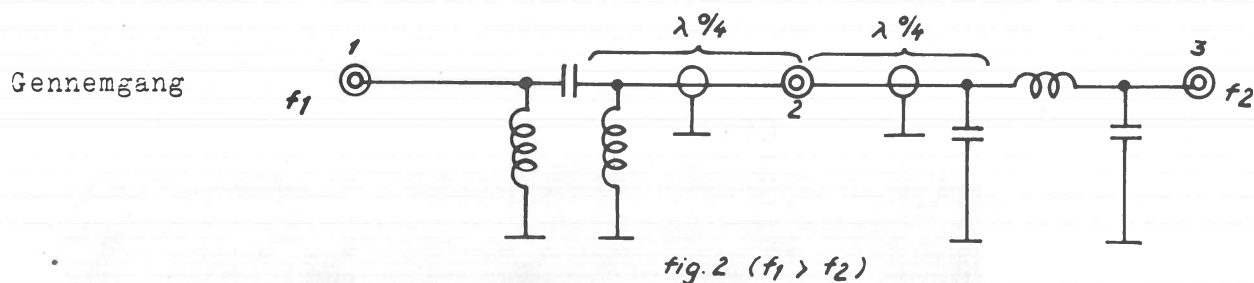


Fig. 2 er et ækvivalentdiagram af BF13-1 ved et gennemgangstilfælde. De ovenfor nævnte serieresonanskredse vil virke som reaktive shunter på linien - positive eller negative - afhængig af hvilken frekvens, der er den højeste. For at kompensere for disse reaktanser ved gennemgangsfrekvenserne er der mellem de to kredse i samme side indskudt en justerbar serie-reaktans for at danne en π -sekction med en impedans svarende til de anvendte kabels karakteristiske impedans.

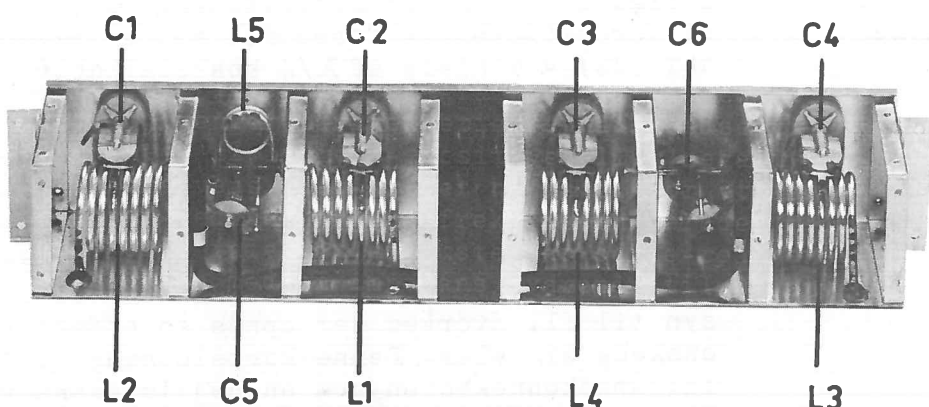
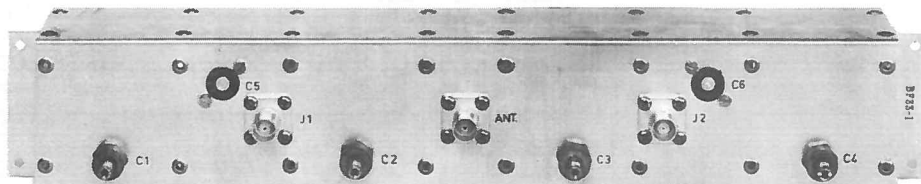
BF33-1

Antennedelefilter BF33-1 forbinder enten to sendere eller en sender og en modtager til en fælles antenné. Frekvensafstanden er fra 5,0 MHz til 15,0 MHz indenfor frekvensbåndet 68 .. 88 MHz.

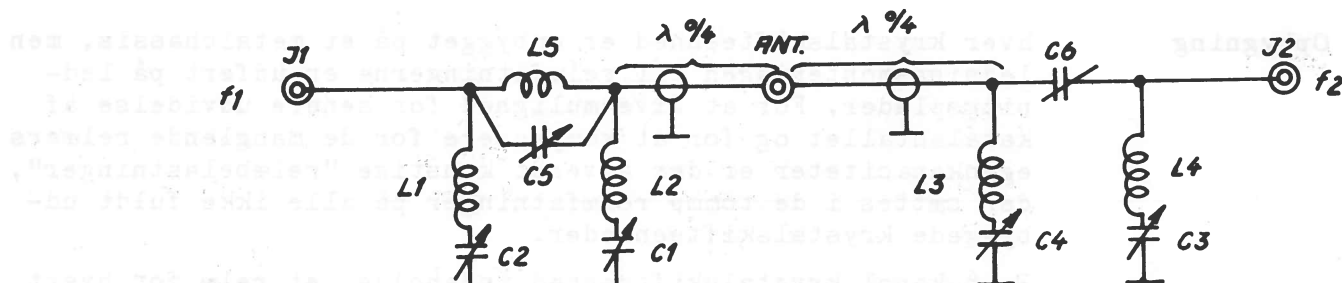
Konstruktion

Filtret er monteret på et fælles, forsølvet chassis med de enkelte filterelementer i separate skærmdåsér.

Konnektorer og trimmepunkter er ført frem til forpladen. Der er anvendt konnektorer af standardtypen UG290/U.



Kapitel II. Teoretisk Gennemgang af Sender/Modtagerunderenhederne



Kredsløbs-analyse

I fig.1 er vist et simplificeret diagram af BF33-1. De to filtersektioner er forbundet til en fælles antennekonnektor ANT ved hjælp af $\lambda/4$ koaksialkabler. $\lambda/4$ svarer til en elektrisk bølgelængde ved 78 MHz.

Filtret bør tilsluttes således, at gennemgangsfrekvensen f_2 ved terminal J2 er højere end gennemgangsfrekvensen f_1 ved terminal J1.

Spærring

Der opnås isolation mellem terminal 1 og terminal 2 ved at afstemme kredseene L_1-C_2 og L_2-C_1 til serieresonans med hensyn til f_2 og kredseene L_3-C_4 og L_4-C_3 til serieresonans med hensyn til f_1 . Herved opnås en effektiv kortslutning af uønskede signaler, og denne kortslutning transformeres tilbage til indgangskonnektoren ANT som en høj impedans ved hjælp af $\lambda/4$ koaksialkabler. Et signal fra antennen, f.eks. på frekvensen f_1 , vil derfor passere mod terminal J1.

Gennemgang

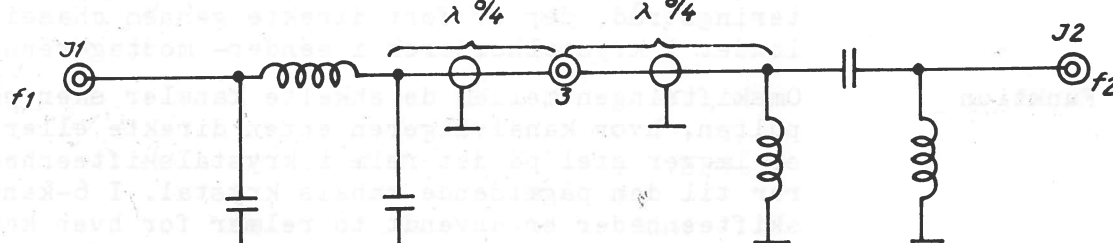


Fig.2 er et ækvivalentdiagram af BF33-1 ved et gennemgangstilfælde. De ovenfor nævnte serieresonanskredse vil virke som reaktive shunter på linien - positive eller negative - afhængig af hvilke frekvenser, der er de højeste. For at kompensere for disse reaktanser ved gennemgangsfrekvenserne, er der mellem de to kredse i samme side indskudt en justerbar seriemarkant for at danne en π -sektion med en impedans, der svarer til det anvendte kabels karakteristiske impedans.

XS13-x

Krystalskifteenheder af typerne XS13-4, -5, -6, -7 og -8 anvendes i STORNO VHF radiostationer i forbindelse med enhederne TX13-4, TX33-4, RC13-1 og RC33-1.

	1 kanal	3 kanaler	6 kanaler
Med ovn	XS13-4	XS13-6	XS13-8
Uden ovn	findes ikke	XS13-5	XS13-7

Kapitel II. Teoretisk Gennemgang af Sender/Modtagerunderenhederne

Opbygning

Hver krystalskifteenhed er opbygget på et metalchassis, men ledningsmonteringen til relæfætningerne er udført på ledningsplader. For at give mulighed for senere udvidelse af kanalantallet og for at kompensere for de manglende relæers egenkapaciteter er der anvendt kunstige "relæbelastninger", der sættes i de tomme relæfætninger på alle ikke fuldt udbyggede krystalskifteenheder.

En 6-kanal krystalskifteenhed indeholder et relæ for hvert senderkrystal og et relæ for hvert modtagerkrystal, og de er hf-mæssigt adskilt ved en skærm. Disse enheder kan derfor anvendes ved dupleksdrift.

En 3-kanal krystalskifteenhed indeholder derimod et fælles relæ for sender- og modtagerkrystaller, og den kan som følge heraf kun anvendes ved simpleksdrift. Såfremt en dupleks radiostation skal bestykkes med to kanaler, vil det være nødvendigt at anvende en 6-kanal krystalskifteenhed og anbringe kunstige "relæbelastninger" i de 8 overskydende relæfætninger.

Ved leveringen er krystalskifteenhederne bestykket med enten 6 volt relæer eller 12 volt relæer afhængig af, om radiostationen er forsynet med nærbetjeningsudstyr eller fjernbetjeningsudstyr.

Tilslutning

Krystalskifteenhederne er monteret på den fælles modulramme mellem sender og modtagerkonverter, og den er forbundet med sender- og modtageroscillatorerne ved hjælp af en monteringstråd, der er ført direkte gennem chassisvæggen og loddet i krystalholderen i sender- modtagerenhederne.

Funktion

Omskiftningen mellem de enkelte kanaler sker på betjeningspulten, hvor kanalvælgeren enten direkte eller via relæer lægger stel på det relæ i krystalskifteenheden, som sværer til den pågældende kanals krystal. I 6-kanal krystalskifteenheder er anvendt to relæer for hver kanal.

Relæbelastning

Den kunstige "relæbelastning" består af et lille stykke ledningsplade med påtrykt kapacitet svarende til et skifterelæs egenkapacitet. Relæbelastningen er forsynet med stikben, så den umiddelbart kan trykkes fast i en relæfatning.

Der findes to typer kunstige "relæbelastninger" - een for hver af de anvendte typer relæer (12 volt relæer for nærbetjening og 6 volt relæer for fjernbetjening).

E. Supplerende Tekniske Specifikationer

Se også tekniske specifikationer i kapitel I. på side 1. Tekniske specifikationer for krystalskifteenheder, antennedelefilter og antenneskifteenhed findes sammen med beskrivelserne i kapitel III.

TX13/33-4

Udgangseffekt

25 watt eller 50 watt.

Antennebelastningsimpedans

50 Ω.

Kapitel II. Teoretisk Gennemgang af Sender/Modtagerunderenhederne

Udstråling af Ønskede Frekvenser

Med filter FN13-2: Udgangsfrekvensens harmoniske dæmpet mere end 75 dB.

Krystalfrekvensens øvrige harmoniske dæmpet mere end 85 dB.

Frekvens

Maks. Frekvenssving

Regulerbart, CQFx1-2: $\Delta F = \pm 15$ kHz
CQFx1-3: $\Delta F = \pm 5$ kHz.

Frekvensmultiplikation

$$2 \times 4 \times 3 \times 1 \times 1 = 24.$$

Krystal

Krystalfrekvensberegning

$$\text{Krystalfrekvens} = \frac{\text{sendefrekvens}}{24}$$

Krystalfrekvensområde

CQF11-2,-3: 5,67 .. 7.25 MHz
CQF31-2,-3: 2,83 .. 3.66 MHz.

Specifikation

Holder: HC-6/U, NATO type 1 eller DEF 5271 style D.

a) CQFx1-2:

Belastning: 30 pF

Tolerance: $\pm 15 \times 10^{-6}$ fra -20 til +70 °C.

Slibetolerance: Mindre end 20×10^{-6} ved 25 °C

Storno specifikationsnummer: Storno type 1.

Følgende krystaller kan anvendes: RC-18/U (amerikansk),
DEF 5271 style D (engelsk) eller NATO type 1.

b) CQFx1-3:

Storno type 4, men krystalspecifikationerne svarer til MIL-C-3098B type CR-36/U på nær belastningskapaciteten, der er 30 pF $\pm 0,5$ pF.

Brum og Støj

FM-Brum- og Støjniveau

a) CQFx1-2:

Dæmpet mere end 50 dB relativt til $\Delta f = 10$ kHz ved $f_m = 1000$ Hz (EIA standard RS-152, pkt. 7).

b) CQFx1-3:

Dæmpet mere end 40 dB relativt til $\Delta f = 3,3$ kHz ved $f_m = 1000$ Hz.

AM-Brum- og Støjniveau

Dæmpet mere end 34 dB (EIA standard RS-152, pkt. 16).

Sidebåndsstøj

Dæmpet mere end 75 dB (EIA standard RS-152, pkt. 16).

Mindre end 5 μ W (G.P.O. Spec. TSC 53 (d) pkt. 4.3.2.).

Kapitel II. Teoretisk Gennemgang af Sender/Modtagerunderenhederne

Modulation

Modulation

a. Talekanal

Indgangsimpedans: Ca. 600 Ω, balanceret
 Følsomhed: CQFxl-2:

Med $F_m = 1 \text{ kHz}$ og $\Delta F = 7,5 \text{ kHz}$ (50 %) (Måleniveau) er følsomheden maks. -23 dBm.

CQFxl-3:

Med $F_m = 1 \text{ kHz}$ og $\Delta F = 2,5 \text{ kHz}$ (50 %) (måleniveau) er følsomheden maks. -33 dBm.

Benyttes enheden i forbindelse med styrerudstyr, er niveauet indstillet i overensstemmelse med værdierne angivet på niveaudiogrammet i styringsbeskrivelsen.

Frekvenskarakteristik: 6 dB/oktav i området 300 - 3000 Hz, +0,5 dB, -2 dB, relativt til 1000 Hz. Kraftig afskæring over 3000 Hz.

b) Tonekanal

Indgangsimpedans: Ca. 600 Ω, balanceret
 Følsomhed: CQFxl-2:

-10 dBm for $\Delta F = 10 \text{ kHz}$, 1000 Hz ved mindre end 3 % klir.

CQFxl-3:

-20 dBm for $\Delta F = 3,3 \text{ kHz}$, 1000 Hz ved mindre end 3 % klir.

Frekvenskarakteristik: 6 dB/oktav i området 300 - 8000 Hz, +0,5 dB, -1,5 dB, relativt til 1000 Hz. Ved hjælp af en simpel strapning kan der indskydes et -48 µsek. forbindelsesled.

Modulationssplatter

Mindre end 1 µW (G.P.O. Spec. TSC 55 (a) pkt. 4.3.2.).

Forbrug

Glødestrømsforbrug

4,2 ved 6,3 V ~, eller 2,1 A ved 12,6 V ~.

Anodestrømsforbrug

Ca. 100 mA ved 250 V.

ca. 120 mA ved 370 V (25 watt udgangseffekt)

ca. 170 mA ved 500 V (50 watt udgangseffekt).

Rør

Rørbestykning

	Europ.	U.S.	S.Q.
Modulationsforstærker	ECC81	12AT7	6201
Oscillator	EF91	6AM6	6064
Fasemodulator/dobler	ECC81	12AT7	6201
Firedobler	EF91	6AM6	6064
Tripler	5654/M8100	6AK5	5654/M8100
Styrerør	QQE03/12	6360	
Effektforstærkerrør	QQE06/40	5894	

Kapitel II. Teoretisk Gennemgang af Sender/Modtagerunderenhederne

FN13/33-2Maksimal indskydningsdæmpning

Maks. 0,5 dB indenfor de nominelle frekvensområder.

SpærredæmpningCQF11-2,-3: Større end 50 dB over 300 MHz
CQF31-2,-3: Større end 50 dB over 150 MHz.Maksimal tilførsel af HF-effekt

30 watt, 60 watt intermitterende.

ImpedansFilterimpedans

Indenfor det nominelle frekvensområde giver filtret anledning til et spændingstandbølgeforhold, som er mindre end 1.7.

KonnektorTilslutningskonnektor

BNC type UG-290/U.

PS13-6Høj Anodespænding (Kl. 1-6).

500 V, 420 V eller 375 V jævnspænding.

Maks. tilladelig Belastning

220 mA - (belastning på Kl. 1-7 i mA - 110 mA).

Omtrentlige Udgangsspændinger

250 V udtag belastet med 100 mA.

Transformatorudtag	5 - 6 8 - 9	5 - 6 9 - 10	5 - 6 8 - 10
ubelastet	464 V	521 V	690 V
100 mA	392 V	422 V	550 V
200 mA	364 V	393 V	516 V

Hvis der anvendes transformatorudtag 5 - 7 i stedet for 5 - 6 vil spændingerne stige med ca. 15 V.

AnodespændingLav Anodespænding (Kl. 1-7).

250 V jævnspænding.

Maks. tilladelig Belastning

LLO mA + (220 mA - belastningen i MA på Kl. 1-6).

Omtrentlige Udgangsspændinger

500 V udtag belastet med 180 mA.

Transformatorudtag	5 - 6 300 V	5 - 7 315 V
Ubelastet	265 V	280 V
50 mA	255 V	270 V
100 mA	245 V	260 V

GitterforspændingNominel Gitterforspænding

-33 V jævnspænding.

Kapitel II. Teoretisk Gennemgang af Sender/Modtagerunderenhederne

Maks. tilladelig Belastning af Gitterførspændingsensretter.

30 mA.

Glødestrøm

Maks. Glødestrøm

4,2 A ved 6,3 vekselspænding.

RC13/33-1

Spændingsforstærkning

Fra antenneindgang til 2. blandertrins gitter: Ca. 30 dB.

Krystal

KrystalfrekvensmultiplikationRC13-1: $2 \times 2 \times 4 = 16$.RC33-1: $2 \times 2 \times 2 = 8$.Krystalfrekvensberegning

$$\text{RC13-1: Krystalfrekvens} = \frac{\text{modtagerfrekvens i MHz} - 0,455}{17} \text{ MHz.}$$

$$\text{RC33-1: Krystalfrekvens} = \frac{\text{modtagerfrekvens i MHz} + 0,455}{9} \text{ MHz.}$$

Krystalfrekvensområde

RC13-1: 8,0 MHz til 10,2 MHz.

RC33-1: 7,6 MHz til 9,83 MHz.

KrystalfrekvensjusteringVed hjælp af krystaltrimmerne kan krystalfrekvensen ændres mere end $\pm 25 \times 10^{-6}$, når krystallet er belastet med 30 pF.Krystalspecifikation

	CQF11-2, CQF31-2,-3	CQF11-3
Krystaltypen	Storno 98-1	Storno 98-4
Belastningskapacitet	30 pF	30 pF
Temp. karakteristik	$\pm 15 \times 10^{-6}$ fra -20 til $+70^{\circ}\text{C}$	$\pm 5 \times 10^{-6}$ fra +80 til $+90^{\circ}\text{C}$
Kalibreringstolerance	$\pm 20 \times 10^{-6}$ (23°C)	$\pm 20 \times 10^{-6}$ ($+85^{\circ}\text{C}$)
Krystalholder	US HC-6/U Brit. DEF5271D NATO type 1 Mil. CR-18/U	US HC-6/U Brit. DEF5271D NATO type 1 Mil. CR-36/U
Iøvrigt svarende til		

Mellemfrekvens

Beregning af 1. Mellemfrekvens

$$\text{RC13-1: mfl} = \frac{\text{modtagerfrekvens i MHz} + 7,28}{17} \text{ MHz}$$

eller hvis krystallets frekvens er kendt
 $mfl = \text{krystalfrekvens i MHz} + 0,455 \text{ MHz.}$

$$\text{RC33-1: mfl} = \frac{\text{modtagerfrekvens i MHz} - 3,64}{9} \text{ MHz}$$

eller hvis krystallets frekvens er kendt
 $mfl = \text{krystalfrekvens i MHz} - 0,455 \text{ MHz.}$ Frekvensområde for 1. Mellemfrekvens

RC13-1: 8,4 MHz til 10,7 MHz.

RC33-1: 7,15 MHz til 9,38 MHz.

Kapitel II. Teoretisk Gennemgang af Sender/Modtagerunderenhederne

Strømforbrug

Anodestrømsforbrug

Ca. 25 mA ved 150 V.

Glødestrømsforbrug

1,27 A ved 6,3 V eller 0,635 A ved 12,6 V.

Rørbestykning

Signalfrekvensforstærker V1
 1. blander og multiplikator V2
 Oscillator og 1. dobler V4
 2. dobler V5
 2. blander V3

	Europ.	U.S.	S.Q.
E188C	7308	E188CC	
ECC81	12AT7	6201	
5654/M8100	6AK5	5654	
5654/M8100	6AK5	5654	
5654/M8100	6AK5	5654	

IA13-1,-2

Anden Mellemfrekvens

455 kHz.

SelektivitetIA13-1: $\Delta F_o = \pm 15$ kHz: Dæmpning maks. 6 dB. $\Delta F_o = \pm 35$ kHz: Dæmpning min. 70 dB.IA13-2: $\Delta F_o = \pm 5$ kHz: Dæmpning maks. 2 dB. $\Delta F_o = \pm 12$ kHz: Dæmpning min. 34 dB.

Forstærkning

Spændingsforstærkning

Spændingsforstærkning i et MF-forstærkertrin, inkl. tab i filteret: ca. 36 dB.

Spændingsforstærkning (målt ved 455 kHz) fra gitter på blander 2 i modtagerkonverter til gitteret på begrænser 1 i MF-forstærkeren: ca. 108 dB.

Demodulation

DiskriminatorstøjelhedIA13-1: $\Delta F_o = \pm 15$ kHz, I = ca. ± 18 μ A.IA13-2: $\Delta F_o = \pm 10$ kHz, I = ca. ± 9 μ A.FrekvenssvingIA13-1: Maks. ± 15 kHz.IA13-2: Maks. ± 5 kHz.

Udgang

Udgangsimpedans600 Ω $\pm 20\%$ balanceret.UdgangsniveauIA13-1: Med $F_m = 1,0$ kHz og $\Delta F = \pm 10$ kHz: +10 dBm.IA13-2: Med $F_m = 1,0$ kHz og $\Delta F = \pm 2,5$ kHz.

Benyttes enheden i forbindelse med styreudstyr, er niveauet indstillet i overensstemmelse med værdierne angivet på niveauskemaet i styringsbeskrivelsen.

ForvrængningIA13-1: Med $F_m = 1,0$ kHz og $\Delta F = \pm 5,0$ kHz: max. 2 %.
 Med $F_m = 1,0$ kHz og $\Delta F = \pm 10$ kHz: max. 5 %.IA13-2: Med $F_m = 1,0$ kHz og $\Delta F = \pm 3,3$ kHz: max. 3 %.
 Med $F_m = 1,0$ kHz og $\Delta F = \pm 5$ kHz: max. 6 %.

Forbrug

Strømforbrug

Ca. 40 mA ved en anodespænding på 150 V jævnspænding.

Ca. 1,37 A ved en glødespænding på 6,3 V vekselspænding.

Kapitel II. Teoretisk Gennemgang af Sender/Modtagerunderenhederne

Målepunkter**Målepunkter**

Målingerne skal udføres med et instrument 50-0-50 $\mu\text{A}/1 \text{k}\Omega$.

Målepunkt	Målested	Fuldt instrumentudslag
1	MF 1, katode	5 volt
2	MF 2, katode	5 volt
3	Begrænser 1, gitter	50 volt
4	Begrænser 2, gitter	25 volt
5	Diskriminator	
6	Linieforst., katode	5 volt
7	LF- og støjforst., kat.	2 volt
8	Squelchrør, katode	5 volt

PS13-3a**Fødespænding**

110 V eller 220 V vekselspænding.

Anodespænding**Nominel anodespænding**

150 V jævnspænding.

Maks. tilladelig Belastning

100 mA.

Omtrentlige Udgangsspændinger

Transformatorudtag	8-9-10 (130V)	7-9-11 (140 V)	6-9-12 (150 V)
Ubelastet	210V	230V	250V
80 mA	135V	150V	165V
100 mA	125V	140V	150V

Målepunkter**Standard Måleinstrument**

50-0-50 μA , $R_i = 1000 \Omega$.

Målepunkt nr. 1

Anodespænding: Fuldt udslag = ca. 200 V.

Målepunkt nr. 2

Anodestrøm: Fuldt udslag = ca. 100 mA.

Glødestrøm**Maks. Glødestrøm**

4 A ved 6,3 V vekselspænding.

AS13-1**Impedans**

52 Ω

Maksimal Gennemgangseffekt

100 watt

Relæspænding

12,6 V =

BF13-1**Frekvensområde**

144 ... 174 MHz

Kapitel II. Teoretisk Gennemgang af Sender/Modtagerunderenhederne

	<u>Dupleksafstand</u> 4,5 ... 12,0 MHz
Isolation	<u>Maks. Isolation mellem Enheder</u> 70 ... 75 dB
	<u>Isolation</u> 36 ... 40 dB ved en båndbredde på $\pm 0,7$ MHz
Dæmpning	<u>Indskydningsdæmpning</u> 4,5 MHz frekvensafstand: 0,7 .. 1,2 dB (afhængig af båndbredde) 9,0 MHz frekvensafstand: 0,3 dB
	<u>Nominel Impedans</u> 50 Ω
	<u>Maks. Standbølgeforhold for 4,5 MHz $\pm 0,7$ MHz</u> 1,5
	<u>Maks. tilført Effekt</u> 70 watt ved 4,5 MHz duplexafstand
BF33-1	<u>Frekvensområde</u> 68 ... 88 MHz
	<u>Dupleksafstand</u> 5,0 ... 15,0 MHz
Isolation	<u>Maks. Isolation mellem Enheder</u> 70 ... 86 dB
	<u>Isolation</u> 55 ... 57 dB ved en båndbredde på $\pm 0,3$ MHz
Dæmpning	<u>Indskydningsdæmpning</u> 5,0 MHz frekvensafstand: 0,5 ... 0,6 dB 15,0 MHz frekvensafstand: 0,2 dB
	<u>Nominel Impedans</u> 50 Ω
	<u>Maks. Standbølgeforhold</u> Maks. 1,5 for 5,0 MHz $\pm 0,3$ MHz
	<u>Maks. tilført Effekt</u> 70 watt ved 5,0 MHz dupleksafstand
Bemærk	Såfremt senderfrekvensen er højere end modtagerfrekvensen, skal senderen forbindes til den højre side (konnektor J2) af filtret og modtageren til venstre side (konnektor J1). Hvis modtagerfrekvensen er højere end senderfrekvensen skal forbindelserne ombyttes.

KAPITEL IV. JUSTERINGSFORSKRIFT

A. Generelt

Introduktion

Den efterfølgende justeringsvejledning er tænkt som en hjælp ved trimme arbejdet på en STORNO radiotelefonstation, og den skal derfor ikke betragtes som den eneste rigtige fremgangsmåde. Visse justeringer kan med fordel udføres på anden måde, såfremt der rådes over mere avanceret måleudstyr. Afvigelser fra de heri givne anvisninger bør dog kun foretages i de tilfælde, hvor radioteknikeren med sikkerhed kan overse, at ændrede trimmemetoder ikke forringør de krævede specifikationer eller vanskeliggør senere afsnit af trimme arbejdet.

Iovrigt bør kun faguddannede radioteknikere, som på forhånd har sat sig ind i radiostationens virkemåde, udføre justering og reparation.

Idriftssætning

Før afsendelsen fra STORNO er hver enkel radiostation kontrolleret og afprøvet. Såfremt der ikke er truffet speciel aftale, har afprøvningsafdelingen foretaget følgende:

1. Isat kvartskrystaller for de bestilte kanaler.
2. Optrimmet den komplette radiostation, således at såvel sender- som modtagerfrekvenserne er lagt på plads med en nøjagtighed bedre end 2×10^{-6} .
3. Indstillet talebegrænsers klippeniveau i overensstemmelse med specifikationerne.

Når installationsarbejdet er tilendebragt og kontrolleret for korrekt udførelse, vil det normalt være nødvendigt at finindstille senderens PA-afstemning med den til anlagget hørende antenne tilsluttet antennekonnekturen. Endvidere bør senderens modulationsfølsomhed justeres.

Denne justeringsvejledning er udarbejdet for anvendelse i forbindelse med følgende typer radiotelefonanlæg:

- CQF11-3 (136-174 MHz), 25 kHz kanalafstand
- CQF31-3 (68-88 MHz), 25 kHz kanalafstand
- CQF11-2 (136-174 MHz), 50 kHz kanalafstand
- CQF31-2 (68-88 MHz), 50 kHz kanalafstand
- CQF13-2 (152-174 MHz), Maritim radiostation

Måleudstyr

I indledningen til hvert afsnit af justeringsvejledningen er angivet de typer måleinstrumenter, der er nødvendige for at kunne gennemføre den pågældende trimning på korrekt og forsvarlig måde. Der refereres til en del måleinstrumenter, som er udviklet af STORNO specielt med henblik på service og justering af STORNO's radioudstyr, men andet måleudstyr kan naturligvis anvendes, såfremt specifikationerne svarer til eller er bedre end specifikationerne for de tilsvarende STORNO måleinstrumenter.

Kapitel IV. Justeringsforskrift

B. Sendere TX13-1,-4 og TX33-4

Justering af krystalskifteenhed og oscillator

Instrumenter

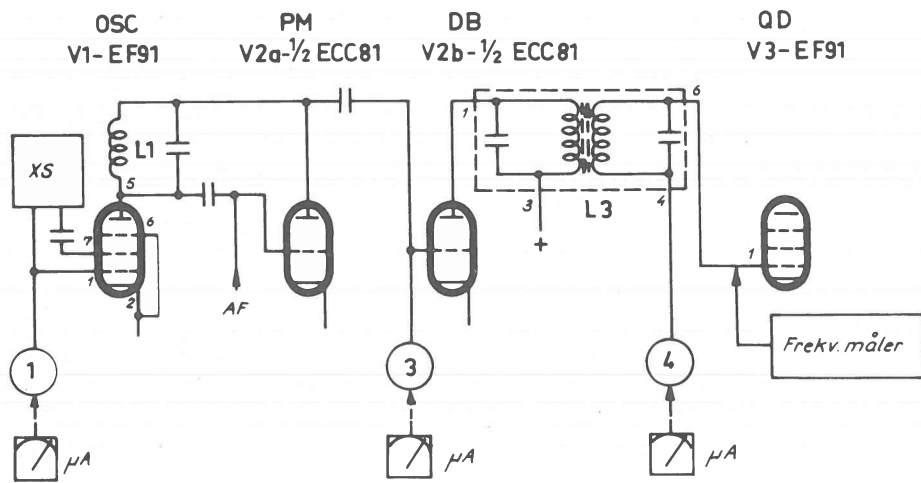
Følgende måleinstrumenter er nødvendige:

Frekvensmåler med en nøjagtighed større end 2×10^{-6}
dækkende frekvensområdet: 2.83 - 3.66 MHz for TX33-4

6.35 - 7.25 MHz for TX13-1,-4.

50-0-50 μ A-instrument ($R_i = 1000\Omega$) f.eks. Storno type S106.
Såfremt tilslutning af antenne til anlægget ikke er mulig,
må en kunstig belastning benyttes f.eks. Storno type DL11-1.

Opstilling



Denne justering bør ikke foretages før anlægget er fuldt opvarmet, hvilket vil sige efter mindst 10 minutters drift. Før justeringen påbegyndes, bør det påses at krystalskifteenhedens bundplade er påmonteret og at samtlige krystalskifterlærer er installerede, idet relækontaktfjedernes kapaciteter indgår i krystallernes belastningskapaciteter.

Frekvensmåleren forbides - som vist - efter doblertrinnet (for ikke at belaste oscillatoren), den indstilles under justeringen til 2 gange den specificerede krystalfrekvens for hver kanal (grundet dobling i det foranliggende trin).

Fremgangsmåde

μ A-instrumentet forbides til målepunkt 1, og antenne eller den kunstige belastning til senderens udgang (J1).

- Krystaltrimmerne drejes ind på halv kapacitet.
- Tast senderen og kontroller oscillatoren gitterstrøm i målepunkt 1.
- Juster hver krystaltrimmer til den korrekte krystalfrekvens.

Bemærk: Det er vigtigt, at krystaltrimmerne ikke kan ryste løse, hvilket kan forebygges ved at lakere dem.

Kapitel IV. Justeringsforskrift

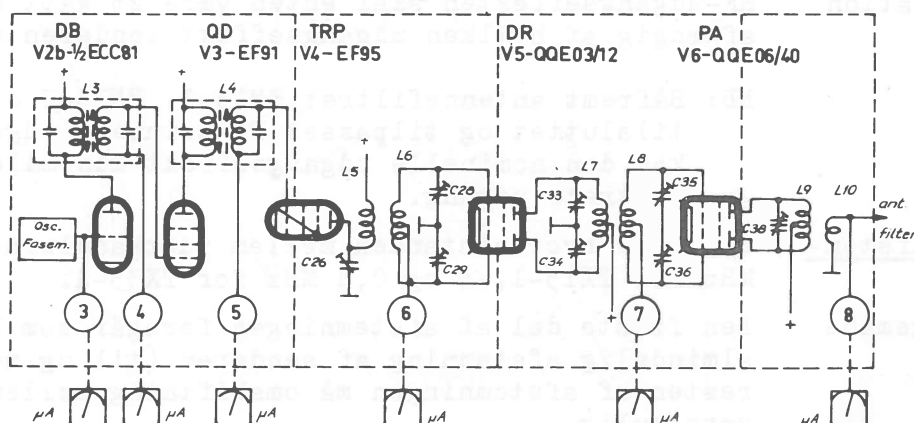
Justering af multiplikator og udgangsforstærker

Instrumenter

Følgende måleinstrumenter er nødvendige:

50-0-50 μ A-instrument ($R_i=1000\Omega$) f.eks. Storno type SI06.
Kunstig belastning, 52 Ω /60 watt (Storno type DL11-1).

Opstilling



Den kunstige antennen eller den til anlægget hørende antennen tilsluttes antennekonnektoren. Mikroamperemeteret tilsluttes målepunkt 4.

Efterfølgende justering benyttes hvis afstanden mellem yderkanalerne ikke er større end 0,8 MHz for TX13-1,-4 og 0,4 MHz for TX33-4. Er afstanden større, skal senderen staggerafstemmes, hvilket vil blive forklaret senere.

Fremgangsmåde

- Tast senderen.
- Juster L_3 for maksimalt udslag på μ A-instrumentet. Det kan være nødvendigt at justere nogle gange på såvel primær- som sekundærkredsen.
- Forbind μ A-instrumentet til målepunkt 5 og juster L_4 til maksimalt udslag på instrumentet. Det kan være nødvendigt at justere nogle gange på såvel primær- som sekundærkredse.
- Forbind μ A-instrumentet til målepunkt 6 og inddrej C_{28} og C_{29} til deres kapaciteter er lige stor.
- Juster C_{26} for maksimalt udslag på μ A-instrumentet.
- Juster C_{28} og C_{29} for maksimalt udslag på μ A-instrumentet, idet det dog hele tiden skal påses, at kapaciteten af de to kondensatorer er ens (lige meget inddrejet).

Bemerk: Koblingen mellem L_5 og L_6 er meget kritisk. Såfremt den af en eller anden grund er blevet forandret, må disse kredse genjusteres meget omhyggeligt.

- Forbind μ A-instrumentet til målepunkt 7 og inddrej C_{33} og C_{34} til deres kapaciteter er lige store. Derefter justeres C_{35} og C_{36} til deres kapaciteter er lige store. Derefter justeres C_{35} og C_{36} til deres kapaciteter er lige store og justeres derefter for maksimalt udslag på μ A-instrumentet, idet der dog hele tiden skal sørges for, at deres kapaciteter er ens (lige meget inddrejet).
- C_{35} og C_{36} inddrejes til deres kapaciteter er lige store og justeres derefter for maksimalt udslag på μ A-instrumentet, idet der dog hele tiden skal sørges for, at deres kapaciteter er ens (lige meget inddrejet).

Kapitel IV. Justeringsforskrift

- j) Forbind μ A-instrumentet til målepunkt 8 og juster C38 for maksimalt udslag på μ A-instrumentet. Det vil eventuelt være nødvendigt at genjustere C33 og C34 samt C35 og C36 for at opnå maksimal udgangseffekt (svarende til maksimalt udslag på μ A-instrumentet).
- k) Indstil koblingen mellem L10 og L9 til maksimalt udslag på μ A-instrumentet.

Specifikation

HF-udgangseffekten skal enten være 25 watt eller 50 watt afhængig af hvilken udgangseffekt senderen er koblet til.

NB: Såfremt antennefiltret FN13-1, FN13-2 eller FN33-2 er tilsluttet og tilpasset PA-trinnetts udgang i senderen, kan den nominelle udgangseffekt kun måles over antennefiltrets udgang.

Staggerafstemning

Fremgangsmåde

Benyttes hvor afstanden mellem yderkanalerne overstiger 0,8 MHz for TX13-1,-4 og 0,4 MHz for TX33-4.

Den første del af afstemningen foregår som beskrevet under almindelig afstemning af senderen (til og med punkt d). Ved resten af afstemningen må omskiftning mellem yderkanalerne være mulig.

- e) Juster C26 som under almindelig afstemning, idet kredsen samtidig justeres til lige store udslag på yderkanalerne.
- f) Juster C28 og C29 som under almindelig afstemning, idet kredsen samtidig afstemmes til lige store udslag på yderkanalerne.
- punkterne g) h) j) og k) de samme som beskrevet ovenfor.

Staggerafstemningen er korrekt udført når gitterstyringen på PA-røret er symmetrisk omkring centerfrekvensen, samt når yderkanalernes udgangseffekt er symmetrisk omkring centerfrekvensens og højst falder 2 dB på yderkanalerne.

Kontrol af modulation

Instrumenter

Følgende måleinstrumenter er nødvendige:

LF-tonegenerator med en indre modstand på 600 Ω .

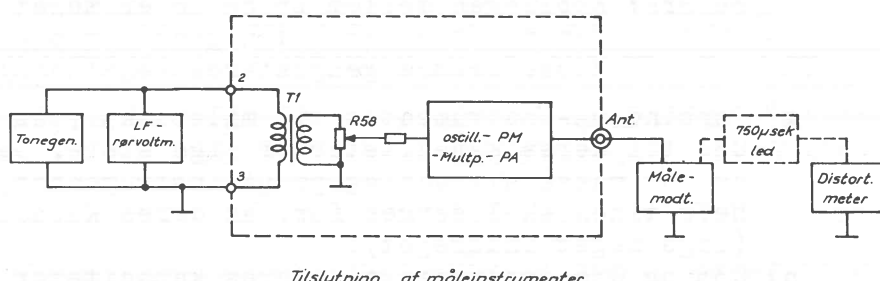
LF-rørvoltmeter.

Målemodtager, kalibreret i frekvenssving (f.eks. Storno type L22).

Distortionmeter (forvrængningsmåler).

Opstilling

Toneindgang



Kapitel IV. Justeringsforskrift

Indstil tonegeneratoren til at afgive 1000 Hz og forbind den til klemrække Kl.2, terminal 2 og 3. Forbind målemodtageren til senderens udgang og indstil den til sendefrekvensen. Drej potentiometeret R58 helt højre om. Indstil tonegeneratorens udgangsspænding til et frekvenssving på ± 10 kHz. Forbind distortionmeteret over målemodtagerens LF-udgang via et 750 μ s-led.

Fremgangsmåde

- Tast senderen.
- Følsomheden beregnes (signalet fra tonegeneratoren kan aflæses på LF-rørvoltmeteret) og udgangssignalet fra senderen aflæses på målemodtageren.
Følsomheden skal være: Bedre end 250 mV (-10 dB)
for TX13-1 og TX13-4.
Bedre end 440 mV (-5 dB).
TX33-4.
- Modulationsfølsomheden indstilles med potentiometeret R58.

Bemærk: Såfremt distortionmeteret forbindes direkte til målemodtagerens udgangsterminaler uden forsinkelsesled må forvrængningen ikke overstige 5%. Med forsinkelsesled indskudt må forvrængningen højest være 3%.

Specifikation

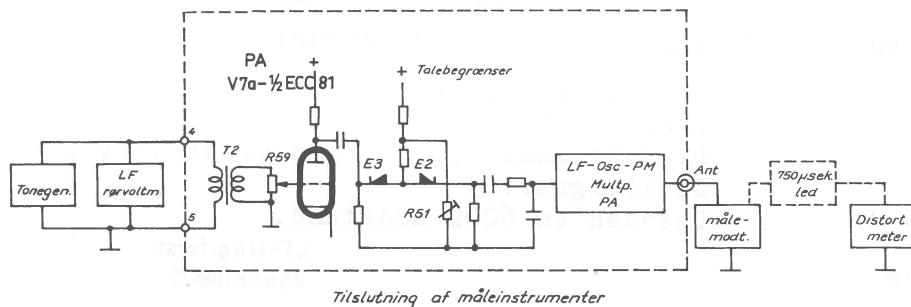
Måling af frekvenskurve:

$$\begin{aligned}0,3 \text{ kHz} &= -10,5 \text{ dB} \\1,0 \text{ kHz} &= 0 \text{ dB} \text{ (relativ værdi)} \\3,0 \text{ kHz} &= +9,5 \text{ dB} \\6,0 \text{ kHz} &= +15 \text{ dB}\end{aligned}$$

Tolerance: $+0,5/-1,5$ dB relativt til den teoretiske kurve. Ovenstående målinger er uden forsinkelsesled indskudt, og med konstant indgangsniveau.

Opstilling

Taleindgang



Tonegeneratoren indstilles til at afgive 1000 Hz og forbindes mellem klemmerne 4 og 5 på klemrække Kl.2.

Målemodtageren indstilles til sendefrekvensen og forbindes over senderens udgang. Drej potentiometeret R59 helt højre om.

Fremgangsmåde

Indstilling af talebegrænser

Tonegeneratorens udgangsniveau indstilles til et frekvenssving på: 3,3 kHz (for en CQFxl-3 modulstation)
10 kHz (for en CQFxl-2 modulstation)
10 kHz (for en CQF13-2 marinestation).

Kapitel IV. Justeringsforskrift

Tonegeneratorens udgangsniveau hæves derefter 20 dB, og begrænserpotentiometeret (R51) indstilles til det maksimalt tilladelige frekvenssving opnås:

Maksimalt frekvenssving for CQFx1-2 = 15 kHz
 " " for CQFx1-3 = 5 kHz
 " " for CQF13-2 = 15 kHz.

Måling af forvrængning

Forvrængningen måles ved et frekvenssving på 2/3 af det maksimalt tilladelige.

Forvrængningen må maksimalt være:

5% med et 750 μ sek. led indskudt mellem senderudgang og distortionmeter.

9% uden 750 μ sek. led.

Kontrol og indstilling af følsomhed

Frekvenssvingen stilles efter til 2/3 af det maks. tilladelige ved regulering af tonegeneratorens udgangsniveau.

Følsomheden skal være:

Mindre end 78 mV (-20 dB) for TX13-1 og TX13-4
 " " 110 mV (-17 dB) for TX33-4.

Modulationsfølsomheden indstilles med potentiometeret R59.

Specifikation

Måling af frekvenskurve:

0,3 kHz = -12 dB
 1,0 kHz = 0 dB (relativ værdi)
 3,0 kHz = +8 dB
 6,0 kHz = +4 dB

6 dB pr. oktav med afvigelsen +0,5/-2 dB i området 300-3000 Hz relativt til 1000 Hz.

C. Mellemfrekvensforstærker IA13-1,-2

Justering af LF-delen

Instrumenter

Nødvendige måleinstrumenter:

LF-tonegenerator.

LF-rørvoltmeter.

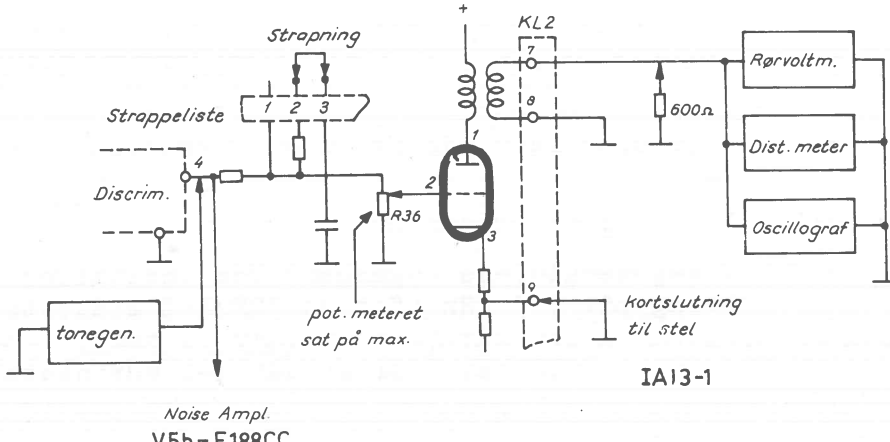
Distortionmeter (Forvrængningsmåler).

Oscillograf.

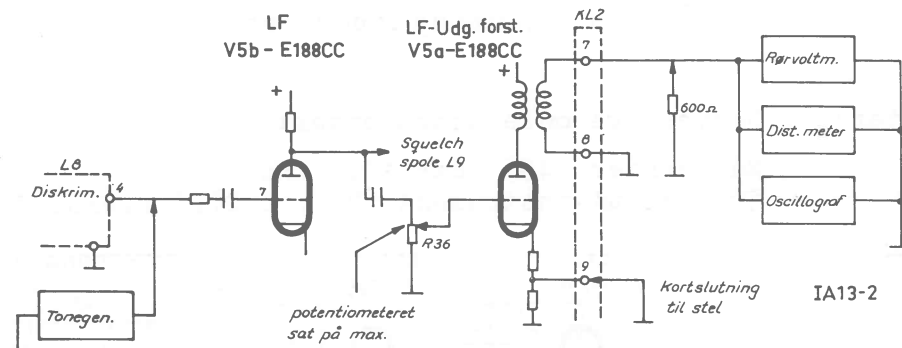
Desuden en 600 Ω modstand.

Opstilling

LF-Udg. forst.
V5a-E188CC



Kapitel IV. Justeringsforskrift



LF-tonegeneratoren tilsluttes efter diskriminatoren (mellem ben 4 på L8 og stel).

Over udgangstransformatorens sekundærside - terminal 7 og 8 på Kl.2 - forbindes en modstand på 600Ω samt oscilloskoppen, distortionmeteret og rørvoltmeteret.

Desuden sættes squelchen ud af funktion ved at kortslutte terminal 9 på Kl.2 til stel. LF-potentiometeret (R36) sættes på max. (drejes helt højre om).

Fremgangsmåde

a) Med konstant 1V fra tonegeneratoren kontrolleres frekvenskurven i relation til 1000 Hz ved følgende tolerancer:

IA13-1: 300 Hz udgangsspænding fra +7 dB til +11 dB
1000 Hz " 0 dB (relativ værdi)
8000 Hz " fra -9 dB til -11,5 dB

IA13-2: 300 Hz udgangsspænding fra +7 dB til +11 dB
1000 Hz " 0 dB (relativ værdi)
3000 Hz " fra -9 dB til -13 dB

b) Følsomhed og forvrængning kontrolleres:

IA13-1: 3,5 V fra tonegeneratoren ved 1000 Hz skal give 2,5 V over 600Ω ved 1% forvrængning.

10 V fra tonegeneratoren ved 1000 Hz skal give 7 V over 600Ω ved 3% forvrængning.

Tolerancer: Følsomhedsvariation: ± 2 dB (25%)
Forvrængning: <1,5% ved 2,5V ud
<5% ved 7V ud.

NB: Ved forvrængningsmåling bør kun distortionmeteret være forbundet over modtagerens LF-udgang.

IA13-2: 1V fra tonegeneratoren ved 1000 Hz skal give 3V over 600Ω ved 2% forvrængning.

3V fra tonegeneratoren ved 1000 Hz skal give 8V over 600Ω ved 6% forvrængning.

Tolerancer: Følsomhedsvariation: ± 2 dB (25%)
Forvrængning: <3% ved 3V ud.
<9% ved 8V ud.

Kapitel IV. Justeringsforskrift

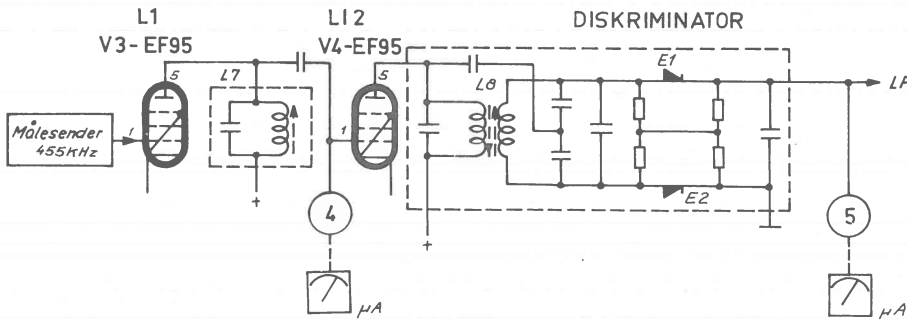
Justering af diskriminatør

Instrumenter

Nødvendige måleinstrumenter:

Målesender (455 kHz) $\pm 0,2$ kHz
 50-0-50 μ A-instrument ($R_i = 1000\Omega$) f.eks. Storno type SI06.

Opstilling



μ A-instrumentet tilsluttes målepunkt 4. Målesenderen tilsluttes gitter 1 (ben 1) på V3 i første begrænsner, og indstilles til 455 kHz $\pm 0,2$ kHz (dette kontrolleres med frekvenstæller, og dens output indstilles til ca. 60 dB, således at fuld begrænsning og konstant udslag på gl. anden begrænsner (målepunkt 4) opnås.

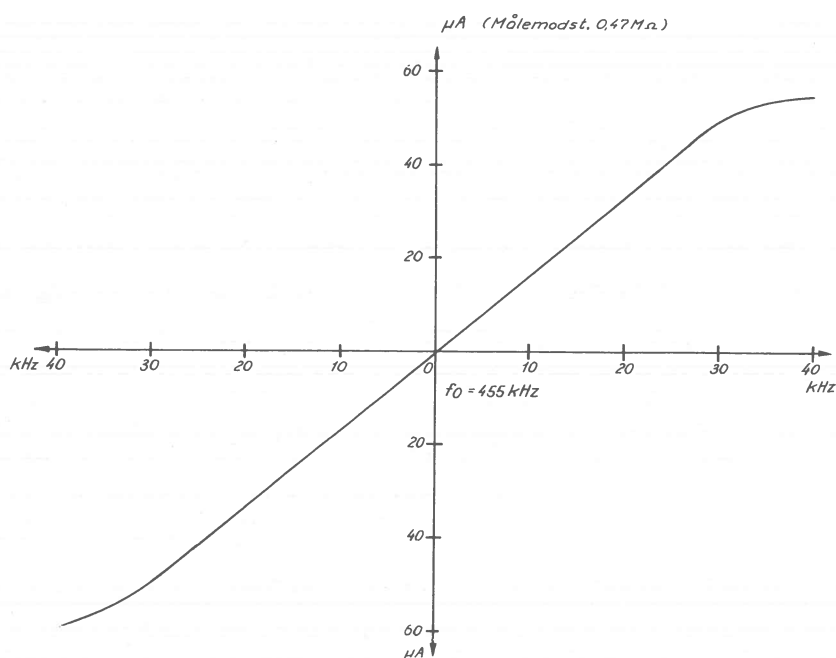
Fremsgangsmåde

- L7 justeres til maksimalt udslag på μ A-instrumentet.
- μ A-instrumentet tilsluttes målepunkt 5 og L8 sekundærside justeres med topkerne til udslag 0.
- L8 primærkreds justeres fra bunden til symmetri og størst mulig følsomhed ved ± 15 kHz fra centerfrekvensen.

Da kredse indvirker noget på hinanden, må sekundærkredsens nulpunkt hele tiden kontrolleres og eventuelt efterjusteres.

Specifikation

Normalt udslag i målepunkt 5 for ± 15 kHz af centerfrekvensen er 25 μ A. Se iøvrigt efterfølgende kurve.



Kapitel IV. Justeringsforskrift

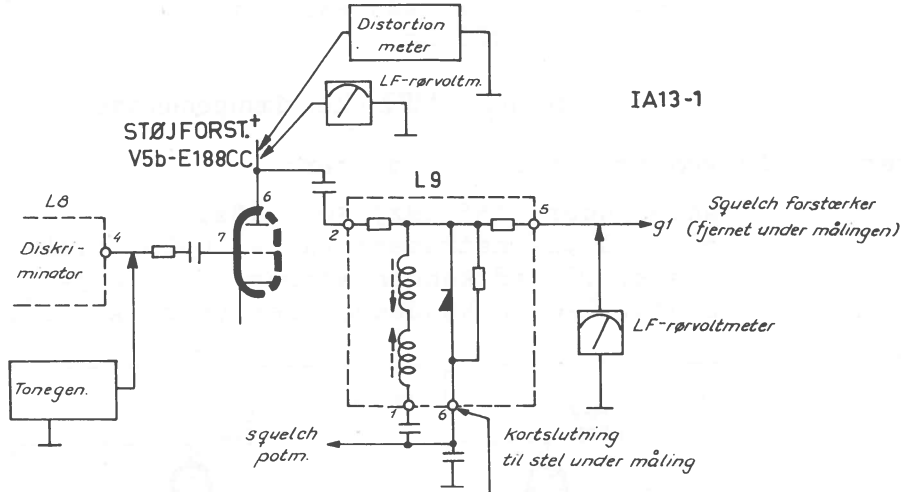
Tolerancer: Følsomhed = ± 2 dB (25%)
 Liniaritet = ± 1 dB (12%)
 for ± 15 kHz.

Justering af squelchfilteret

Instrumenter

Nødvendige måleinstrumenter:

- LF-tonegenerator
- LF-rørvoltmeter
- Distortionmeter (forvrængningsmåler).

Opstilling
IA13-1

Tonegeneratoren tilsluttes efter diskriminatoren (mellem ben 4 og stel), og LF-rørvoltmeteret tilsluttes mellem gl (ben 2) på squelchrøret og stel. Under målingerne er squelchrøret V6 udtaget og ben 6 på skærmdåse L9 er kortsluttet til stel.

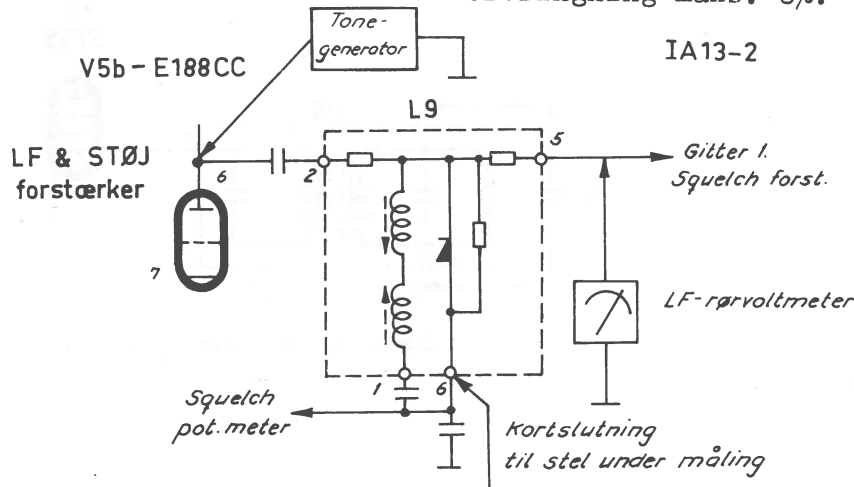
Fremgangsmåde

Med konstant 7V output fra tonegeneratoren kontrolleres squelch-filteret og justeres til følgende:

- Serieresonans skal være mellem 6 - 9 kHz.
- Output ved 20 kHz skal være 20-30 dB højere end ved 1000 Hz.

Kontrol foretages af følsomhed og forvrængning på anoden af squelchrøret (V6) med en indgangsspænding fra tonegeneratoren på 8V ved 1000 Hz. Dette skal give:

IA13-1: 28V ud ved 5% forvrængning.
 Tolerance: følsomhed ± 3 dB
 forvrængning maks. 8%.

Opstilling
IA13-2

Kapitel IV. Justeringsforskrift

Anode- og glødespænding afbrydes. Tonegeneratoren tilsluttes røret V5b's anode (ben 6). Rørvoltmeteret tilsluttes mellem gitter 1. og stel på squelchrøret V6. Under målingerne kortsluttes ben 6 på spoledåse L9 til stel. Se iøvrigt foranstående måleopstilling.

Fremgangsmåde

Tonegeneratorens output justeres til et udslag på 0,2V på rørvoltmeteret ved 1000 Hz og squelchfilteret justeres til følgende:

- Serieresonans skal være mellem 3 - 5 kHz.
- Output ved 15 kHz skal være 20 - 30 dB højere end ved 1000 Hz.

Justering af MF2 efter dæmpemetoden

Instrumenter

Nødvendige måleinstrumenter:

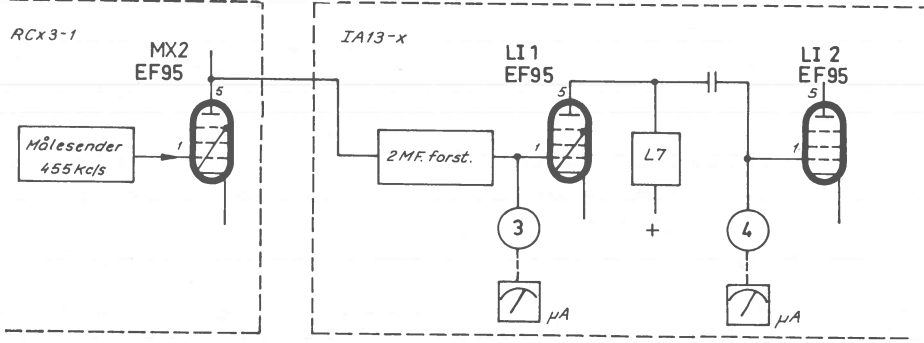
Målesender (455 kHz) $\pm 0,2$ kHz.

50-0-50 μ A-instrument ($R_i = 1000\Omega$) f.eks. Storno type SI06.

2 stk. 100 pF kondensatorer (for IA13-1)

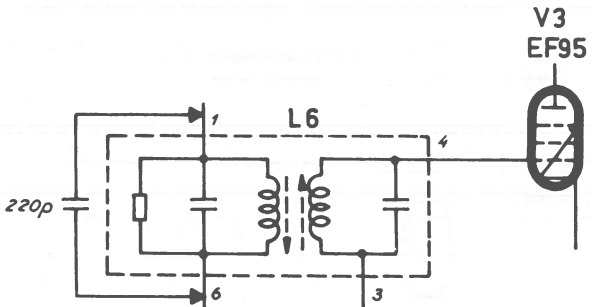
2 stk. 220 pF kondensatorer (for IA13-2).

Opstilling



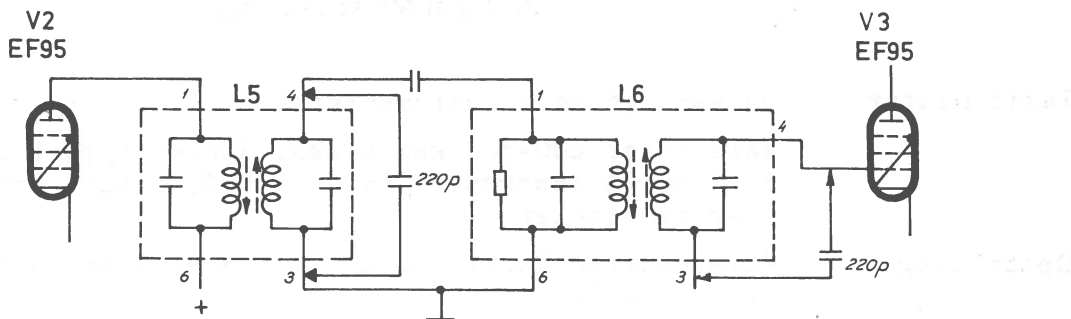
Under justeringen skal μ A-instrumentet være forbundet til målepunkt 4, medens målesenderen indstilles til 455 kHz og tilsluttes styregitteret (ben 1) i rør V3 i den tilkoblede RCx3's andet blandertrin. Dens output indstilles til et passende udslag på μ A-instrumentet.

Som vist på de efterfølgende illustrationer, skal kredsen på hver side af den der justeres forstemmes med en kondensator på 220 pF for IA13-2 og 100 pF for IA13-1. Dette gælder dog ikke for L7, som er en enkelt kreds.



Dæmpning ved justering af L6's sekundærkreds

Kapitel IV. Justeringsforskrift



Dæmpning ved justering af L5 og L6's primærkredse

Fremgangsmåde

- L7 justeres til maksimalt udslag på instrumentet.
- En 100 pF eller 220 pF kondensator forbindes over primærkredsen af L6 og sekundærkredsen afstemmes til maksimalt udslag.
- 100 pF eller 220 pF forbindes over sekundærskiden af L5 samtidig med at kondensatoren fra L6's primærside flyttes hen over L6's sekundærside, hvorefter primærskiden af L6 og primærskiden af L5 kan afstemmes til maksimalt udslag på μ A-instrumentet.
- De to 100 pF eller 220 pF kondensatorer lægges derpå over kredsene på hver side af L5's sekundærside, og denne justeres til maksimalt udslag.
- Når L5 og L6 således er afstemt, forbindes μ A-instrumentet til målepunkt 3.
- Derpå afstemmes kredsene L4, L3, L2 og L1 på tilsvarende måde til maksimalt udslag.

Kontrol af båndbredde

Instrumenter

Nødvendige måleinstrumenter:

Målesender 400-500 kHz f.eks. Storno type L20 Sweepgenerator. 50-0-50 μ A-instrument ($R_i = 1000\Omega$) f.eks. Storno type SI06. DC-rørvoltmeter.

Fremgangsmåde

Målesenderen forbindes til gitteret (ben 1) på andet blanderør (V3) i RCx3-1. 50-0-50 μ A-instrumentet forbindes til målepunkt 5 i IA13. Rørvoltmeteret forbindes til målepunkt 3 i IA13.

- Målesenderens frekvens indstilles således at μ A-instrumentet i målepunkt 5 viser 0 og attenuatoren således at instrumentet i målepunkt 3 viser 10 μ A og dens dB-værdi aflæses.
- Målesenderens frekvens indstilles nu til:

± 5 kHz fra centerfrekvensen for IA13-2.

± 15 kHz fra centerfrekvensen for IA13-1.

Ved disse frekvensforskydninger drejes attenuatoren op så man stadig har 10 μ A udslag i målepunkt 3, og den forøgede dB-værdi aflæses og denne må højest være:

højest 2 dB for IA13-2.

højest 6 dB for IA13-1.

Kapitel IV. Justeringsforskrift

Måling af MF-selektivitet

Instrumenter

Nødvendige måleinstrumenter:

Målesender 400-500 kHz f.eks. Storno type L20 Sweepgenerator. 50-0-50 μ A-instrument ($R_i = 1000\Omega$) f.eks. Storno type SI06. DC-rørvoltmeter.

Opstilling

Målesenderen forbides til gitteret (ben 1) på andet blanderrør (V_3) i $RCx3-1$.

50-0-50 μ A-instrumentet forbides til målepunkt 5 i $IA13$. Rørvoltmeteret forbides til målepunkt 3 i $IA13$.

Fremgangsmåde

a. Målesenderens frekvens indstilles således at μ A-instrumentet i målepunkt 5 viser 0, hvorefter målesenderens attenuator drejes så langt ned at meteret i målepunkt 3 viser 2 μ A og attenuatorens dB-værdi aflæses.

b. Målesenderens frekvens indstilles nu til:
 ± 12 kHz fra centerfrekvensen for $IA13-2$.
 ± 35 kHz fra centerfrekvensen for $IA13-1$.

Ved disse frekvensforskydninger drejes målesenderens attenuator så meget op, at meteret i målepunkt 3 igen viser 2 μ A.

Den forøgede dB-værdi aflæses og skal være:

mindst 34 dB for $IA13-2$.

mindst 70 dB for $IA13-1$.

Er båndbredden ikke korrekt, må en efterjustering af kredsene finde sted.

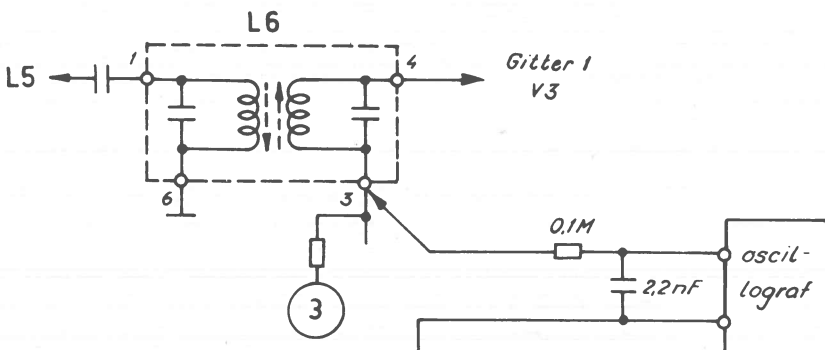
Justering af MF2 ved hjælp af sweepgenerator og oscillograf

Instrumenter

Nødvendige måleinstrumenter som nævnt ovenfor.

Opstilling

En oscillograf tilkobles spoledåse $L6$'s ben 3 via et lavpass-filter (bestående af en kondensator: 2,2 nF samt en modstand 0,1 M Ω) som vist på tegningen. En sweepgenerator (f.eks. L20) der er synkroniseret sammen med oscillografen benyttes. Dens signal lægges ind på ben 1 på spoledåse $L6$.



Fremgangsmåde

- $L6$'s sekundær justeres (top) til maksimal kurvehøjde.
- Generatorens signal lægges ind på ben 4 på spoledåse $L5$ og $L6$'s primærside justeres (bund) til maksimal kurvehøjde.
- Generatorens signal lægges på ben 1 på spoledåse $L5$, og $L5$'s sekundær trimmes til maksimal kurvehøjde.

Kapitel IV. Justeringsforskrift

- d) Generatorens signal lægges på gitter 1 (ben 1) på V2, og L5's primærside trimmes (bund) til maksimal kurvehøjde.
e) På denne måde trimmes L4, L3, L2 og L1 idet sweepgeneratoren konstant er koblet tværs over den kreds, som er umiddelbar før den, der er ved at blive justeret.

Ved trimning af primærsiden i L1, er sweepgeneratoren således koblet til MX2's styregitter i RCx3-1.

Specifikation

Tolerancer: IA13-1: ± 15 kHz ΔF højst 6 dB dæmpning.
 ± 35 kHz ΔF mindst 70 dB dæmpning.

Følsomhed: fra gl mix.II (høj MF. fraloddet) = 40 μ V for udslag 10 μ A lim.l.
Tolerance: ± 6 dB.

Tolerancer: IA13-2: ± 5 kHz ΔF højst 2 dB dæmpning
 ± 12 kHz ΔF mindst 34 dB dæmpning.

Følsomhed: fra gl. mix.II (høj MF fraloddet) = 40 μ V for 10 μ A lim.l.
Tolerance: ± 6 dB

D. Modtagerkonvertere RC13-1 og RC33-1

Justering af krystalskifteenhed, oscillator og multiplikator

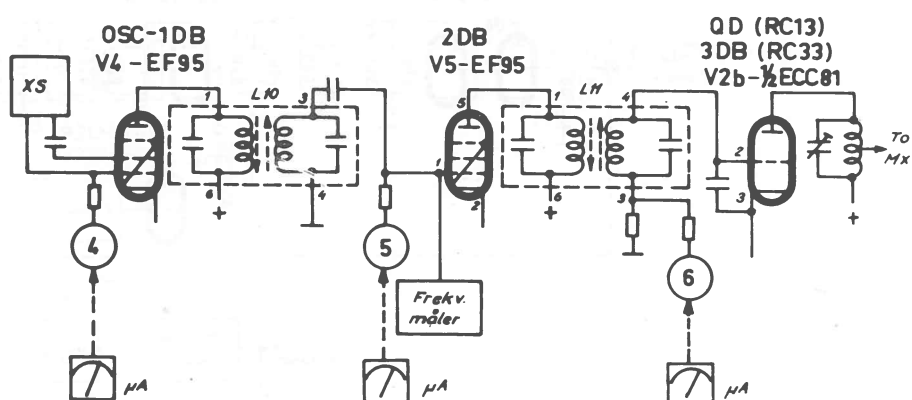
Instrumenter

Nødvendige måleinstrumenter:

Frekvensmåler dækkende området: 7.6 - 9.83 MHz for RC33-1
8.9 - 10.2 MHz for RC13-1
med en nøjagtighed bedre end $2 \times 10\%$.

50-0-50 μ A-instrument ($R_i = 1000\Omega$) f.eks. Storno type SI05.

Opstilling



Denne justering bør ikke foretages før anlægget er fuldt opvarmet, hvilket vil sige efter mindst 10 minutters drift. Før justeringen påbegyndes, bør det påses at krystalskifteenhedens bundplade er påmonteret og at samtlige krystalskifterelærer er installeret, idet relækontaktfjedernes kapaciteter indgår i krystallernes belastningskapaciteter. Frekvensmåleren forbides - som vist - efter det fælles oscillator/dobler trin for ikke at belaste oscillatoren.

Frekvensmåleren indstilles under justeringen til 2 gange den specifcicerede krystalfrekvens for hver kanal grundet doblingen i oscillatorenens anodekreds L10.

Kapitel IV. Justeringsforskrift

Fremgangsmåde

- Krystaltrimmerne drejes ind på halv kapacitet.
 - Oscillatorens gitterstrøm kontrolleres i målepunkt 4.
Minimalt 10 μ A maksimalt 50 μ A i RC13-1
" 10 μ A " 50 μ A i RC33-1
 - Hver krystaltrimmer justeres til den korrekte krystalfrekvens.
- Bemærk: Det er vigtigt, at krystaltrimmerne ikke kan ryste løse, hvilket kan forebygges ved at lakere dem.
- Anlægget stilles på en af de midterste kanaler.
 - μ A-instrumentet tilsluttes målepunkt 5, og L10 justeres til maksimalt udslag. Dette må være:
Minimalt 30 μ A for RC13-1.
" 25 μ A for RC33-1.
 - μ A-instrumentet tilsluttes målepunkt 6, og L11 justeres til maksimum. Udslaget må være:
Minimalt 17 μ A for RC13-1.
" 25 μ A for RC33-1.

Bemærk: Ovennævnte udstyringsstrømme er for et krystal med PI 30 pF = 30 k Ω .

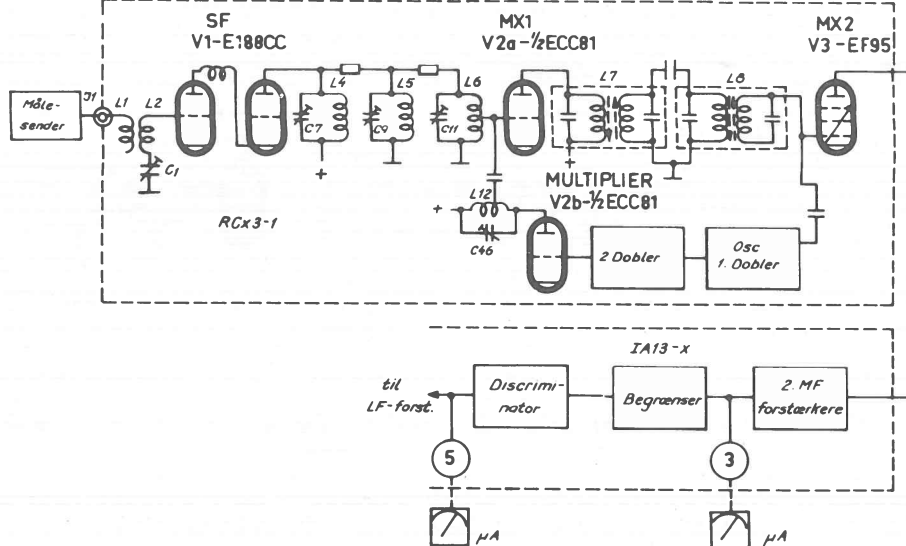
Justering af MF1 samt signalfrekvensforstærker

Instrumenter

Nødvendige måleinstrumenter:

Målesender dækende frekvensområdet: 152 - 174 MHz for RC13-1
68 - 88 MHz for RC33-1
50-0-50 μ A-instrument ($R_i=1000\Omega$) f.eks. Storno type SI06.

Opstilling



Følgende afstemning er kun gældende såfremt afstanden mellem yderkanalerne ikke overstiger 0,8 MHz for RC13-1 og 0,4 MHz for RC33-1. Hvis afstanden er større - hvilket f.eks. er tilfældet i duplex båndet for det internationale marineanlæg (1,4 MHz) skal kredsene staggerafstemmes.

Kapitel IV. Justeringsforskrift

Fremgangsmåde

- μA -instrumentet tilsluttes målepunkt 5 i IA13.
- Målesenderen indstilles til modtagerfrekvensen for den valgte kanal og tilsluttes antennekonnektoren J1.
- Målesenderens frekvens efterindstilles til udslag 0 på μA -instrumentet.

μA -instrumentet forbides til målepunkt 3 i IA13, idet gitterstrømmen i 1. begrænser benyttes som indikator for afstemningen.

- Målesenderens udgangsspænding indstilles til et passende udslag på μA -instrumentet (f.eks. 10 μA).
1. MF's filterkredse L8 og L7 justeres til maksimalt udslag på instrumentet.
- HF-kredse justeres ved C11, C9, C7 og C1 til maksimalt udslag på instrumentet.
- Tilslut justeres C46 i firdoblerens anodekreds (doblerens anodekreds i RC33-1) til maksimalt udslag på instrumentet.

Trimmer C46 og C11 kan indvirke på hinanden og skal derfor efterjusteres.

Advarsel:

For ikke at ødelægge målesenderens attenuator afbrydes sikringen for højspænding i senderstrømforsyningen medens målingerne finder sted.

Staggerafstemning:

Benyttes hvor afstanden mellem yderkanalerne overstiger 0,8 MHz for RC13-1 0,4 MHz for RC33-1.

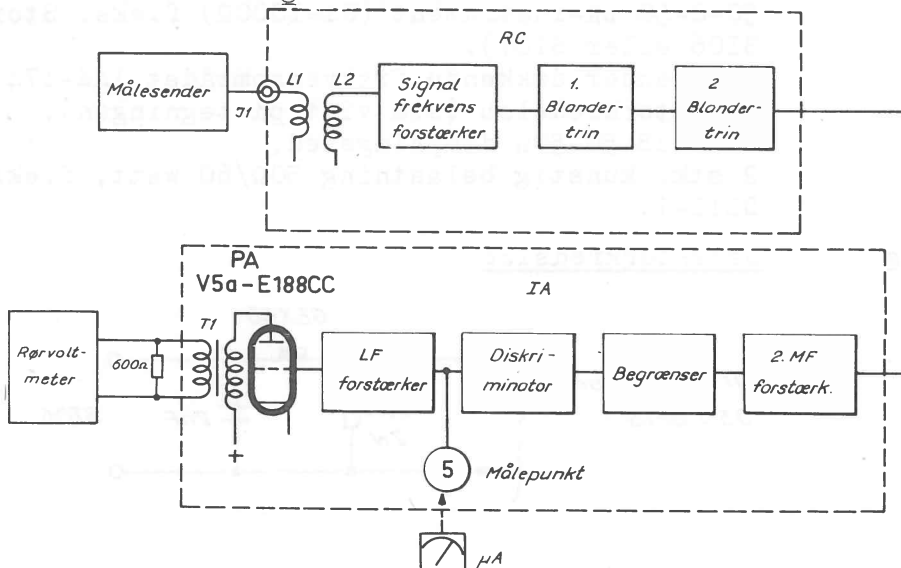
Her er det i almindelighed tilstrækkeligt at afstemme kredsen C11 - L6 til den laveste frekvens (kanal). De øvrige kredse afstemmes til midterkanalen. Konverteren er korrekt justeret når følsomheden (quieting) og forstærkning ligger indenfor 3 dB's afvigelse fra den bedste kanal.

Måling af følsomhed

Målesenderen tilsluttes over modtagerens indgang (J1). Rørvoltmeteret og en 600Ω modstand forbides parallelt over udgangstransformatorens sekundærside (terminal 7 og 8 på Kl.2).

Følgende måling foretages først efter at modtageren er justeret til den rigtige frekvens.

Opstilling



Kapitel IV. Justeringsforskrift

Fremgangsmåde

- Uden signal på antenneindgangen noteres støjniveauet i dB (aflæses på rørvoltmeteret).
- μ A-instrumentet forbides til målepunkt 5 i diskriminatoren.
- Målesenderen tilsluttes antennekonkoren J1 og indstilles til et umoduleret signal på modtagerfrekvensen, hvilket skal give udslag 0 på μ A-instrumentet.
- Målesenderens udgangsspænding indstilles til et niveau, hvor rørvoltmeteret viser et udslag på 12 dB under det niveau som blev målt uden signal på antenneindgangen.
- Det kontrolleres om følsomheden er bedre end:
0,8 μ V EMK for RC13-1.
0,7 μ V EMK for RC33-1.
- Juster koblingen mellem L1 og L2 indtil størst quieting opnås under det i pkt. a) noterede niveau.
- Efterjuster C11, C9, C7 og C1.

Bemærk: De under f) nævnte spændinger skal altid forståes som målesenderens generatorspænding (spændingen uden belastning). Der findes normalt to metoder til kalibrering af målesenderens attenuatorer:

- Udgangsspændingen graveret på attenuatoren er generatorspændingen.
- Udgangsspændingen graveret på attenuatoren er spændingen over en udvendig belastning, der svarer til målesenderens udgangsimpedans.

I tilfælde 1. tages spændingen som den værdi, der er graveret på attenuatoren.

I tilfælde 2. tages spændingen som den dobbelte værdi af den der er graveret på attenuatoren.

Advarsel:

For ikke at ødelægge målesenderens attenuator afbrydes sikringen for højspænding i senderstrømforsyningen medens målingerne finder sted.

E. Antennedelefilter BF13-1

Instrumenter

Følgende instrumenter er nødvendige:

50-0-50 μ A-instrument ($R_i=1000\Omega$) f.eks. Storno type SI05, SI06 eller SI07).

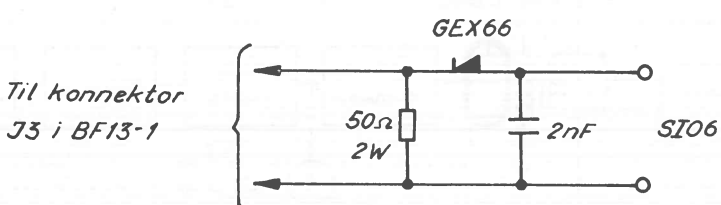
Målesender dækkende frekvensområdet 144-174 MHz.

Detektorkredsløb (som vist på tegningen).

Et 6 dB 50-50 Ω dæmpningsled.

2 stk. kunstig belastning 50 Ω /60 watt, f.eks. Storno type DLL1-1.

Opstilling

Detektorkredsløb

Kapitel IV. Justeringsforskrift**Fremgangsmåde**

Efterfølgende trimmevejledning skal anvendes når en sender og en modtager arbejder i dupleks drift. Filteret må ikke tilføres maksimal effekt før en grovjustering med målesenderen har fundet sted.

Spærring

1. Justering af spærrekredsløbet ved senderfrekvensen.
- a) Forbind senderen til konnektor J1.
 - b) Forbind en kunstig belastning til konnektor ANT (J2).
 - c) Forbind en kunstig belastning via μ A-instrumentet til konnektor J3.
 - d) Juster C3 og C4 for opnåelse af minimalt udslag på μ A-instrumentet.

Ved finjustering bør anvendes en fintmærkende indikatorenhed, og hertil er det viste detektorkredsløb i forbindelse med μ A-instrumentet velegnet.

NB: Spærrekredsløbets høje Q nødvendiggør en omhyggelig justering.

2. Justering af spærrekredsløbet ved modtagerfrekvensen.

- a) Forbind modtageren til konnektor J1.
- b) Forbind målesenderen til konnektor ANT (J2).
- c) Forbind en kunstig belastning til konnektor J3.
- d) Indstil målesenderen til modtagerfrekvensen.
- e) Juster C1 og C2 for opnåelse af mindst mulig begræns'erstrøm i modtageren.

Spærrekredsløbenes justering undersøges (gentag pkt. 1 og 2). Filtreret skulle nu være korrekt justeret.

Gennemgang

3. Justering af gennemgangskredsløb ved senderfrekvensen.

- a) Forbind senderen til konnektor J1.
- b) Forbind den kunstige belastning via μ A-instrumentet til antennekonnekturen ANT (J2).
- c) Tast senderen.
- d) Juster C5 for maksimalt udslag på μ A-instrumentet.

4. Justering af gennemgangskredsløbene ved modtagerfrekvensen.

- a) For at opnå korrekt belastning af filtretilbæltningen bør AVC-kredsløbet i modtageren kortsluttes og et 6 dB 50-50Ω fast dæmningsled indsættes mellem filter og modtager.
- b) Forbind modtageren til konnektor J3.
- c) Forbind målesenderen til antennekonnekturen ANT (J2).
- d) Indstil målesenderen til modtagerfrekvensen.
- e) Juster C6 for opnåelse af maksimal begræns'erstrøm. (Vær opmærksom på, at det komplette begrænsningspunkt ikke nås i modtageren, idet det så ville være umuligt at opnå korrekt maksimum indikation).

Advarsel

Man bør omhyggeligt sørge for ikke at taste senderen, såfremt den er forbundet til konnektor J1, idet man ellers risikerer at ødelægge målesenderens attenuator. Dette forebygges bedst ved at afbryde sikringen for højspænding i senderstrømforsyningen.

Kapitel IV. Justeringsforskrift

F. Antennedelefilter BF33-1

Instrumenter

Følgende instrumenter er nødvendige:

50-0-50 μ A-instrument ($R_i=1000\Omega$) f.eks. Storno type SI05 eller SI06.
Målesender dækkende frekvensområdet 68-88 MHz.
Detektorkredsløb (som vist på tegningen under BF13-1).
Et 6 dB 50-50 Ω dæmpningsled.
2 stk. kunstig belastning 50 Ω /60 watt, f.eks. Storno type DL11-1.

Fremgangsmåde

Efterfølgende trimmevejledning skal anvendes når en sender og en modtager arbejder i duplex drift. Filteret må ikke tilføres maksimal effekt før en grovjustering med målesenderen har fundet sted.

A. Senderfrekvens højere end modtagerfrekvens

Spærring

1. Justering af spærrekredsløbet ved sendefrekvensen.

- a) Forbind senderen til konnektor J2.
- b) Forbind en kunstig belastning til antennekonnektoren ANT. (J3).
- c) Forbind en kunstig belastning via μ A-instrumentet til konnektor J1.
- d) Juster C1 og C2 for opnåelse af minimalt udslag på μ A-instrumentet.

Ved finjustering bør anvendes en fintmærkende indikatorenhed, og hertil er det viste detektorkredsløb i forbindelse med μ A-instrumentet velegnet.

NB: Spærrekredsløbets høje Q nødvendiggør en omhyggelig justering.

2. Justering af spærrekredsløbet ved modtagerfrekvensen.

- a) Forbind modtageren til J2.
- b) Forbind målesenderen til konnektor ANT. (J3).
- c) Forbind en kunstig belastning til konnektor J1.
- d) Indstil målesenderen til modtagerfrekvensen.
- e) Juster C3 og C4 for opnåelse af mindst mulig begrænsestrøm i modtageren.

Spærrekredsløbenes justering undersøges (gentag pkt. 1 og 2). Filtreret skulle nu være korrekt justeret.

Gennemgang

3. Justering af gennemgangskredsløbet ved sendefrekvensen.

- a) Forbind senderen til konnektor J2.
- b) Forbind en kunstig belastning via μ A-instrumentet til antennekonnektoren ANT. (J3).
- c) Tast senderen.
- d) Juster C6 til maksimalt udslag på μ A-instrumentet.

4. Justering af gennemgangskredsløbet ved modtagerfrekvensen.

- a) For at opnå korrekt belastning af filtreten bør AVC-kredsløbet i modtageren kortsluttes og et 6 dB 50-50 Ω dæmpningsled indsættes mellem filter og modtager.
- b) Forbind modtageren til konnektor J1.

Kapitel IV. Justering af modtageren

Kapitel JV. Justeringsforskrift

- c) Forbind målesenderen til antennekonnektoren ANT. (J3)
 d) Indstil målesenderen til modtagerfrekvensen.
 e) Juster C5 for opnåelse af maksimalt begrænsert strøm i tageren. (Vær opmærksom på, at det komplette begrænsningspunkt ikke nås i modtageren, idet det så vil være umuligt at opnå korrekt maksimum indikation).

Advarsel

Man bør omhyggeligt sørge for ikke at taste senderen, så den er forbundet til konnektor J2, idet man ellers risikerer at ødelægge målesenderens attenuator. Dette forebygges ved at afbryde sikringen for højspænding i senderstrømfoden.

B. Modtagerfrekvens højere end senderfrekvens

Spærring

1. Justering af spærrekredsløbet ved senderfrekvensen.
- Forbind senderen til konnektor J1.
 - Forbind en kunstig belastning til antennekonnektoren (J3).
 - Forbind en kunstig belastning via μ A-instrumentet til konnektor J2.
 - Juster C3 og C4 for opnåelse af minimalt udslag på μ A instrumentet.

Ved finjustering bør anvendes ren fintmærkende indikatoren og hertil er det vist detektorkredsløb i forbindelse med instrumentet velegnet.

NB: Spærrekredsløbets høje Q nødvendiggør en omhyggelig justering.

2. Justering af spærrekredsløbet ved modtagerfrekvensen.
- Forbind modtageren til konnektor J1.
 - Forbind målesenderen til konnektor ANT. (J3).
 - Forbind en kunstig belastning til konnektor J2.
 - Indstil målesenderen til modtagerfrekvensen.
 - Juster C1 og C2 til opnåelse af mindst mulig begrænsert strøm i modtageren.

Spærrekredsløbenes justering undersøges (gentag pkt. 1 og 2). Filtrering skal nu være korrekt justeret.

Gennemgang

3. Justering af gennemgangskredsløbet ved senderfrekvensen.
- Forbind senderen til konnektor J1.
 - Forbind en kunstig belastning via μ A-instrumentet til antennekonnektoren ANT. (J3).
 - Tast senderen.
 - Juster C5 for maksimalt udslag på μ A instrumentet.
4. Justering af gennemgangskredsløbet ved modtagerfrekvensen.
- For at opnå korrekt belastning af filtrering skal kredsløbet i modtageren kortsluttes og et $6 \text{ dB } 50-50\Omega$ fast dæmpningsled indsættes mellem filter og modtager.
 - Forbind modtageren til konnektor J2.
 - Forbind målesenderen til antennekonnektoren ANT. (J3).
 - Indstil målesenderen til modtagerfrekvensen.

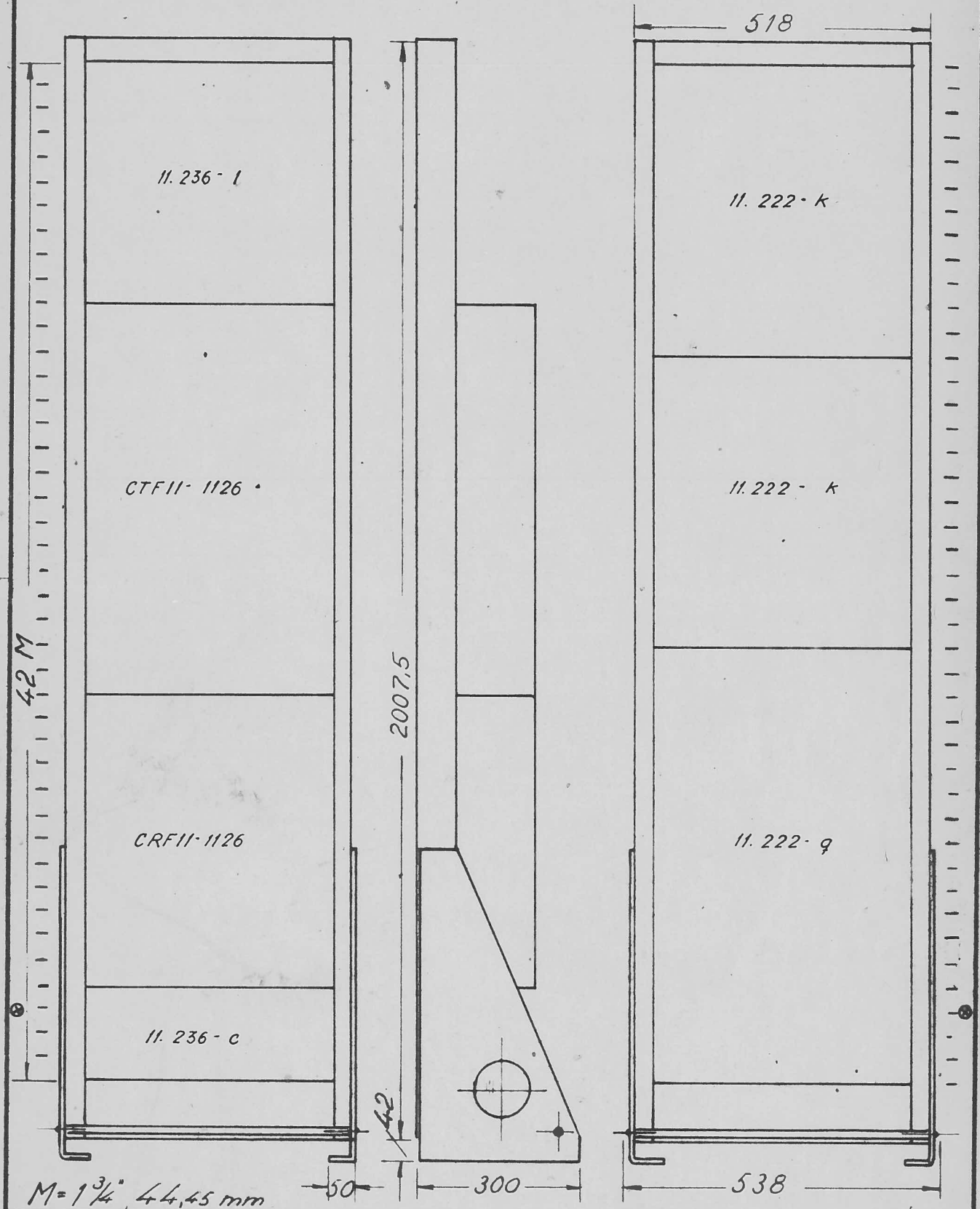
Kapitel IV. Justeringsforskrift

- e) Juster C6 for opnåelse af maksimal begræns'erstrøm i modtageren. (Vær opmærksom på at det komplette begræns'erpunkt ikke nås i modtageren, idet det da ville være umuligt at opnå korrekt maksimum indikation).

Advarsel

Man bør omhyggeligt sørge for ikke at taste senderen, såfremt den er forbundet til konnektor J1, idet man ellers risikerer at ødelægge målesenderens attenuator. Dette forebygges bedst ved at afbryde sikringen for højspænding i senderstrømforsyningen.

⊗ Laveste anbringelse af svingrammer



Konstr. tegn.
Mø/BM
18-6-63
godk. ØB
23-10-63
komp. liste

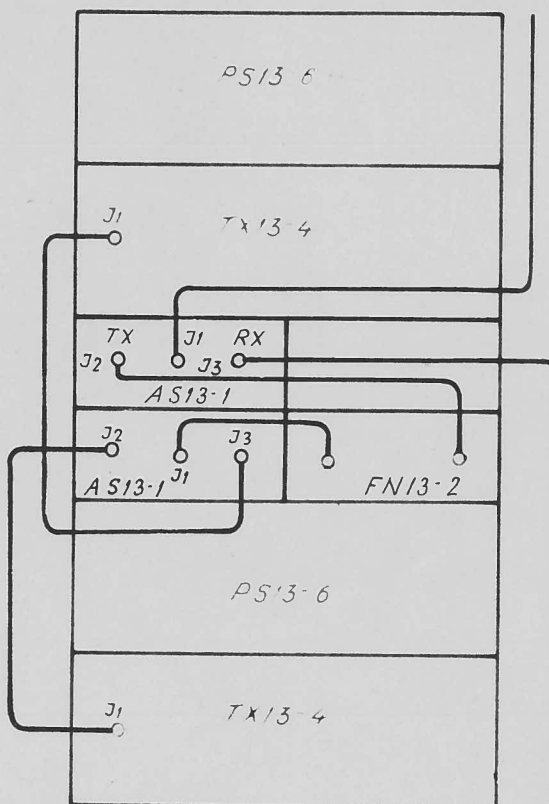
19" STEL

CAF81-1126

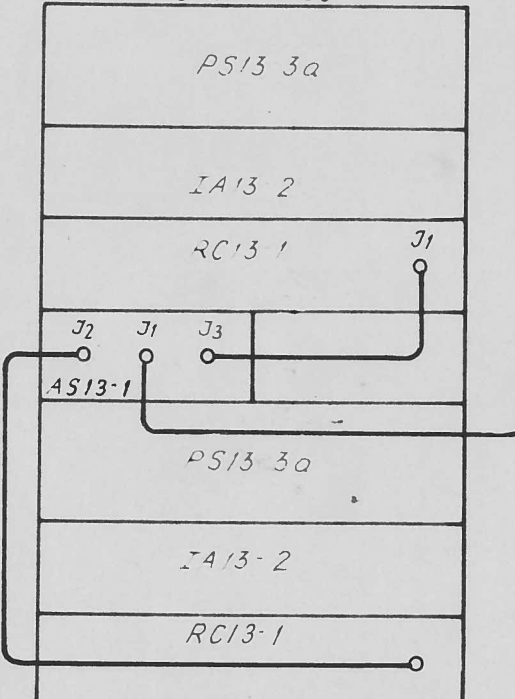
D103351

CTFII 1126

Ant



CRFII 1126



Alle koaxialkabler er type RG 58 A/U



konstr. tekn.
KA/B4
18 6 63
godk. ØB
23-10-63
komp. liste

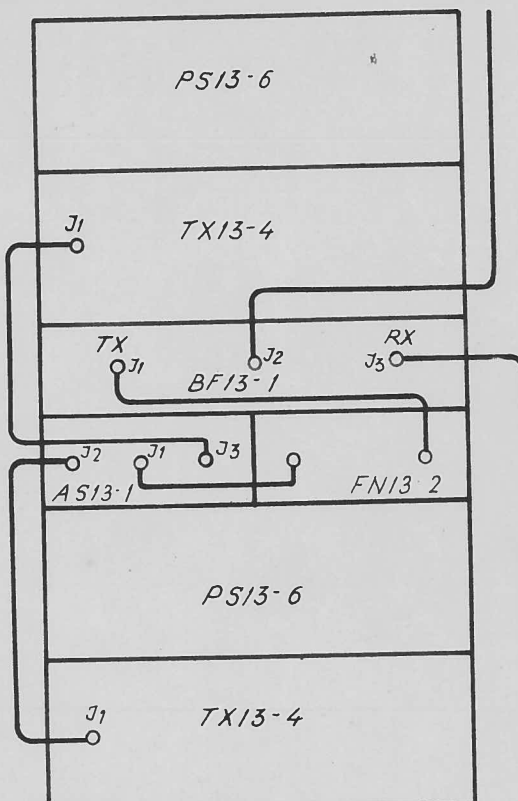
ANTENNEKABLING
SIMPLEX STATION

CQFII-1126

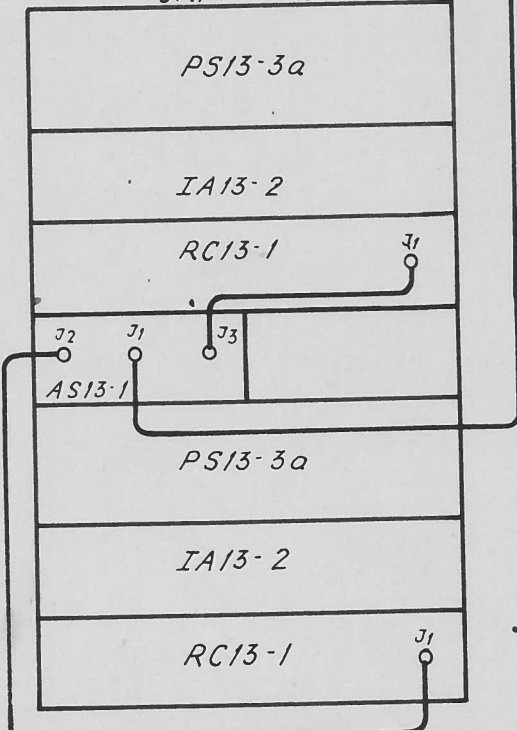
D103355

CTFII- 1126

Ant.



CRFII- 1126



Alle koaxialkabler er type RG 58 A/U



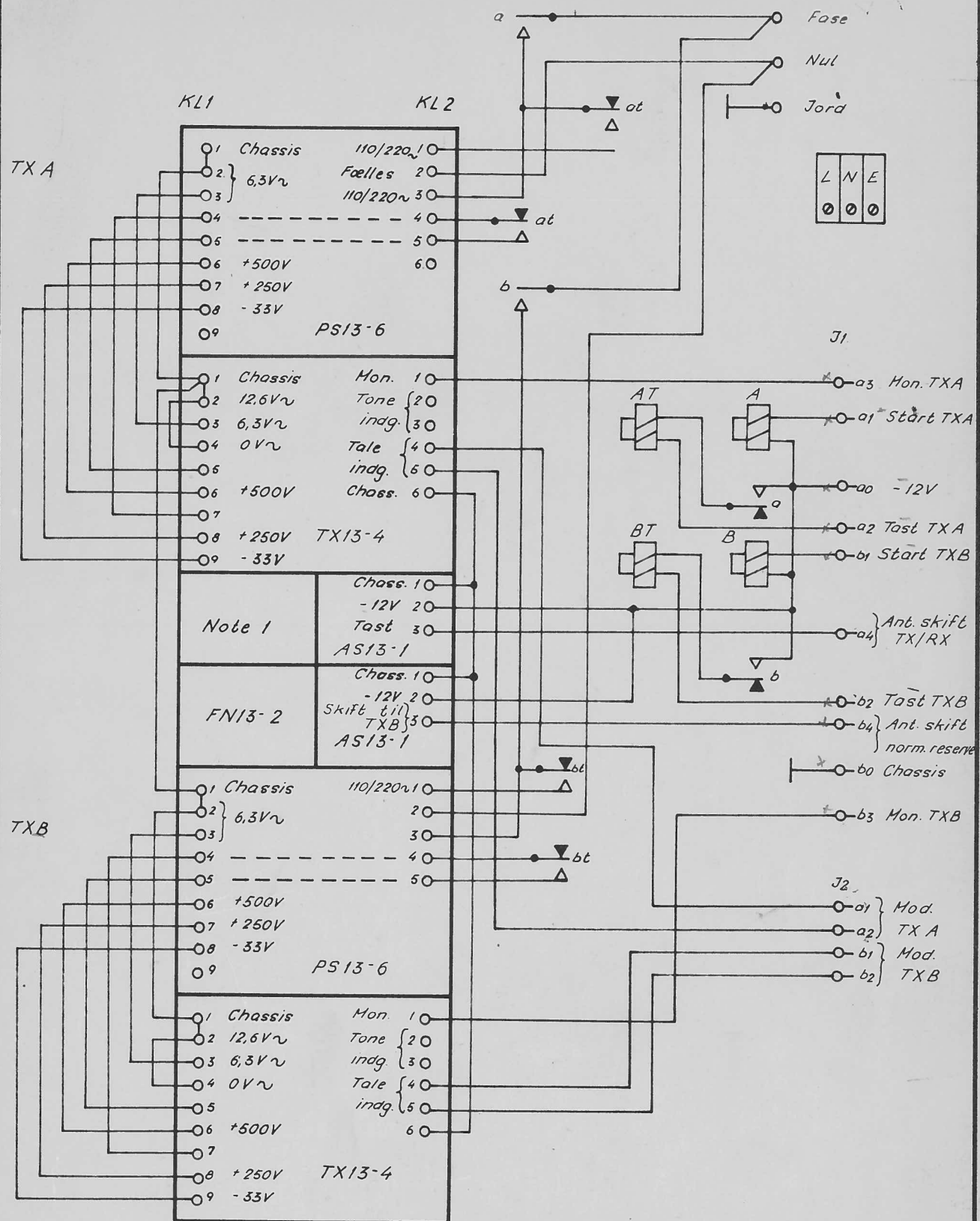
konstr./tegn.
KA/BM
18-6-63
godk. OB
23-10-63
komp. liste

ANTENNEKABLING
DUPLEX STATION

CQFII- 1126

D103356

Note 1: Ved Duplexstation erstattes AS13-1 med duplexfilter BFL3-1.



Relæ A-AT-B-BT: Siemens 6a 62.057/20a/20a

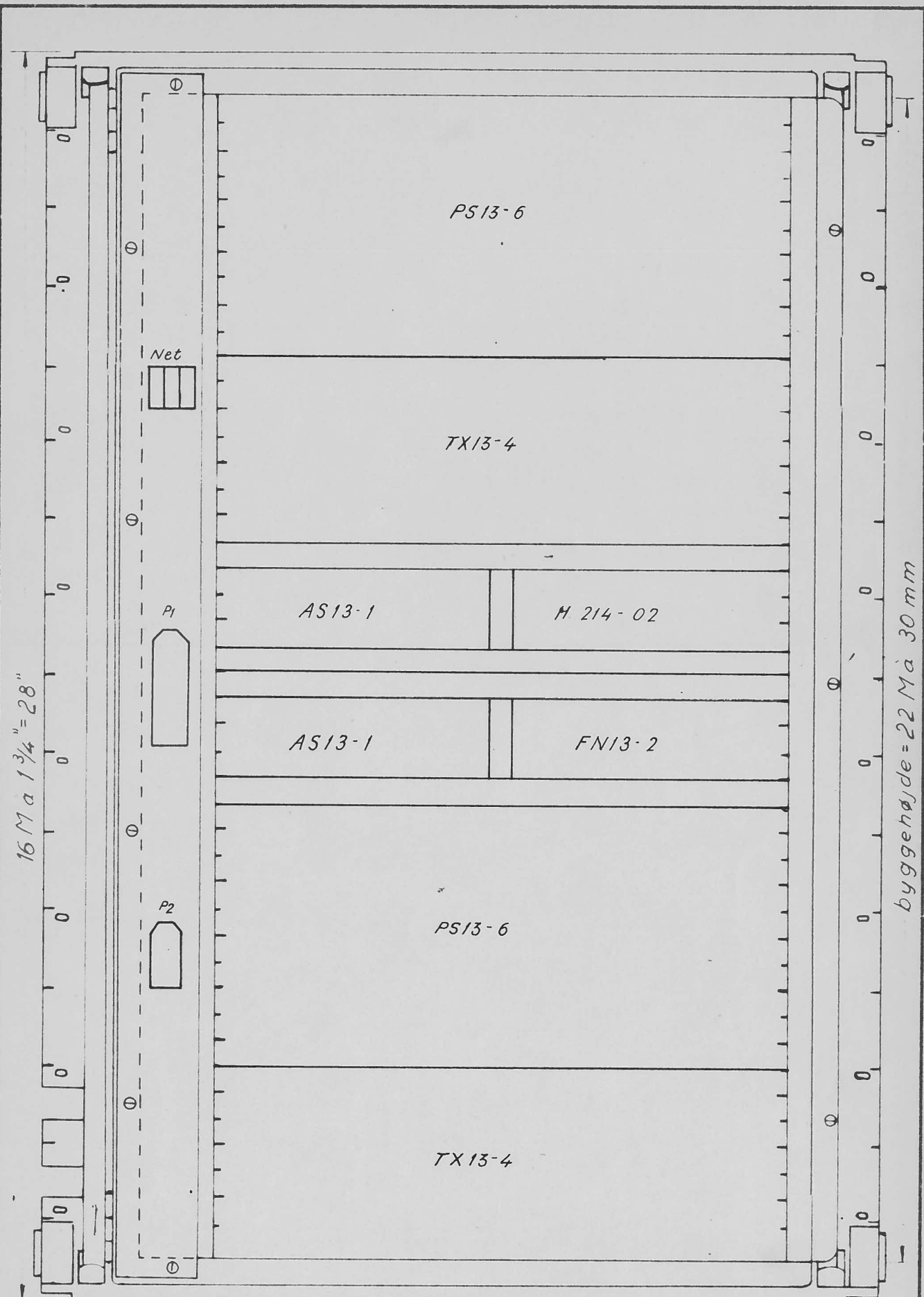


Konstr./tegn.
KA/BM
18.6.63
godk. 98
23.10.63
komp. liste

KABLING
SENDER MED RESERVE

CTFII-1126

D103358



KONSET tegn
KAIBH
18-6-63
godt BB
23-10-63
konprise

Storno

SENDER MED RESERVE
SIMPLEX

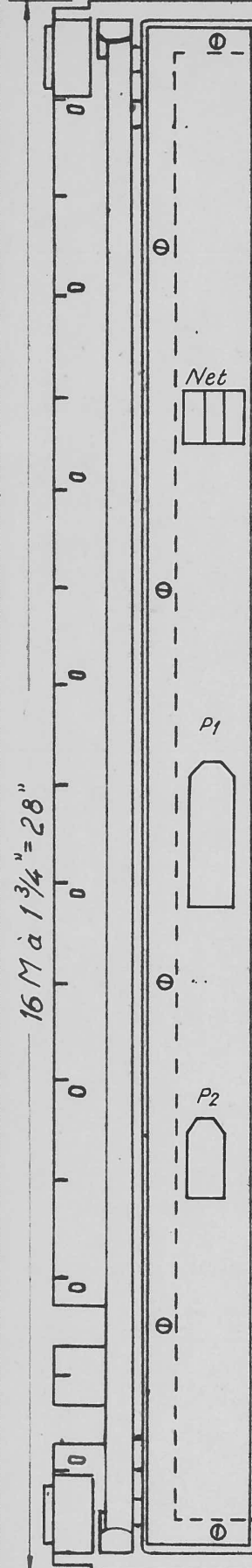
CTFII-1126

D103354



konstr. tegn.
KA/84
18-6-63
godk. 08
23-10-63
komp. liste

16 1/4 à 1 3/4 " = 28 "



PS13-6

TX13-4

BF13-1

AS13-1

FN13-2

PS13-6

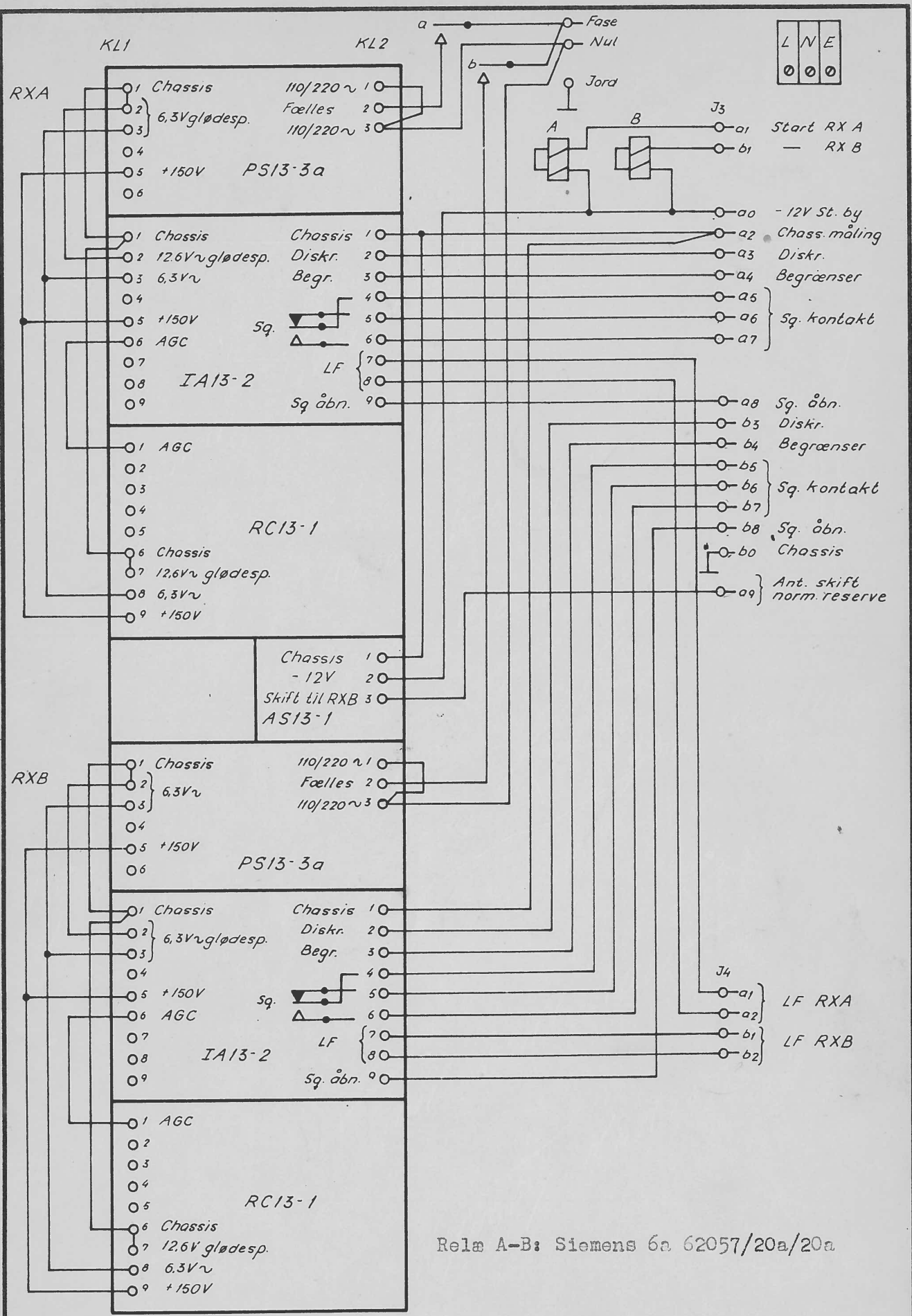
TX13-4

D103353

SENDER MED RESERVE
DUPLEX

CTFII-1126

byggehøjde = 22 mm à 30 mm

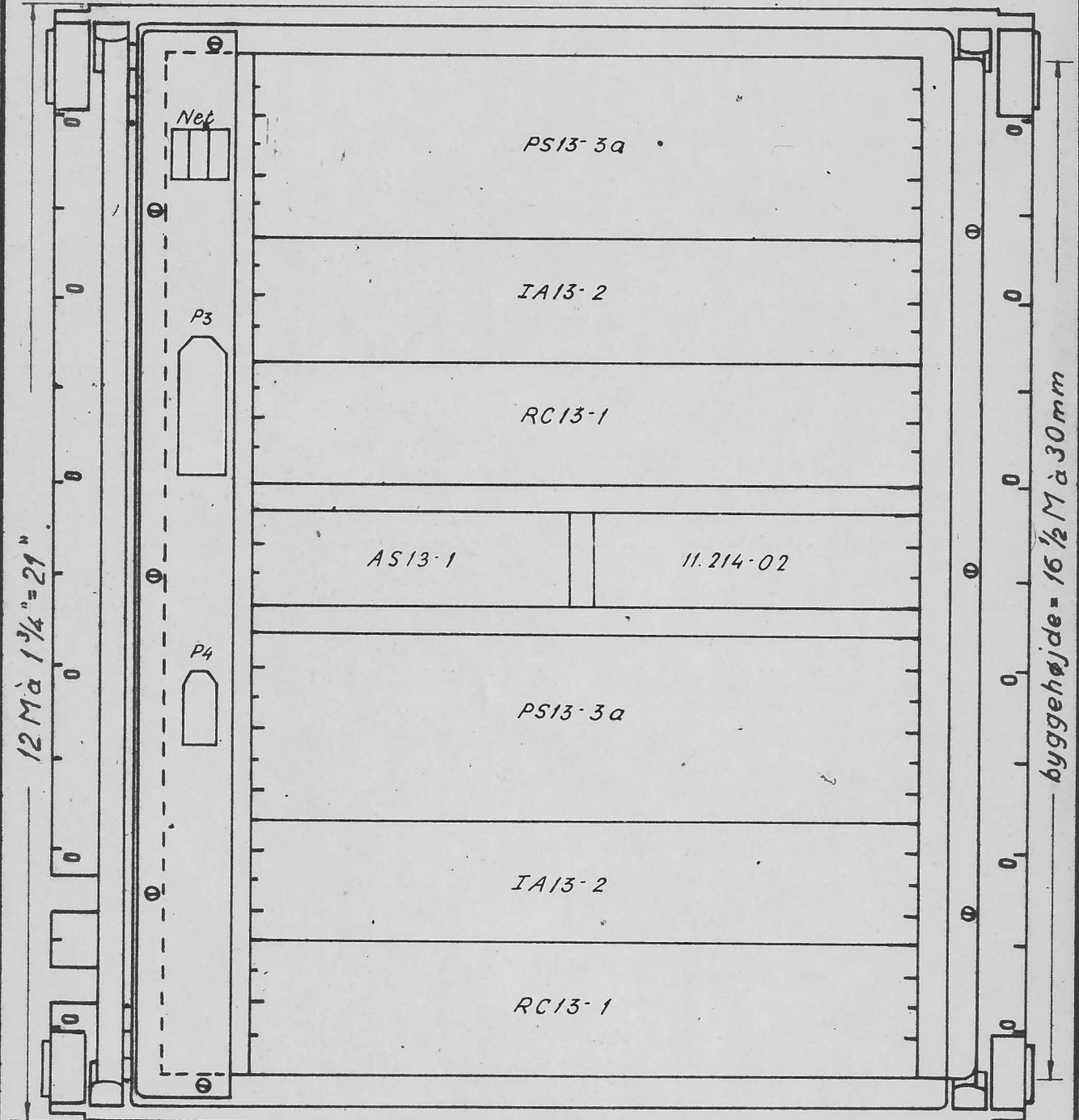


Konstr./tegn.
KA/BH
18-6-63
godk. ØB
23-10-63
komp. liste

KABLING
MODTAGER MED RESERVE

CRF 11-1126

D103557



konstr./tegn.
 KA/BM
 18-6-63
 godk. DB
 23-10-63
 kompliste

MODTAGER MED RESERVE CRF11-1126

D103352

DIAGRAMMER med STYKLISTER

På de følgende sider findes diagrammer med tilhørende styklister over alle standard modulenheder. Eventuelle modifikationer eller rettelser er anført på særligt blad sidst i håndbogen.

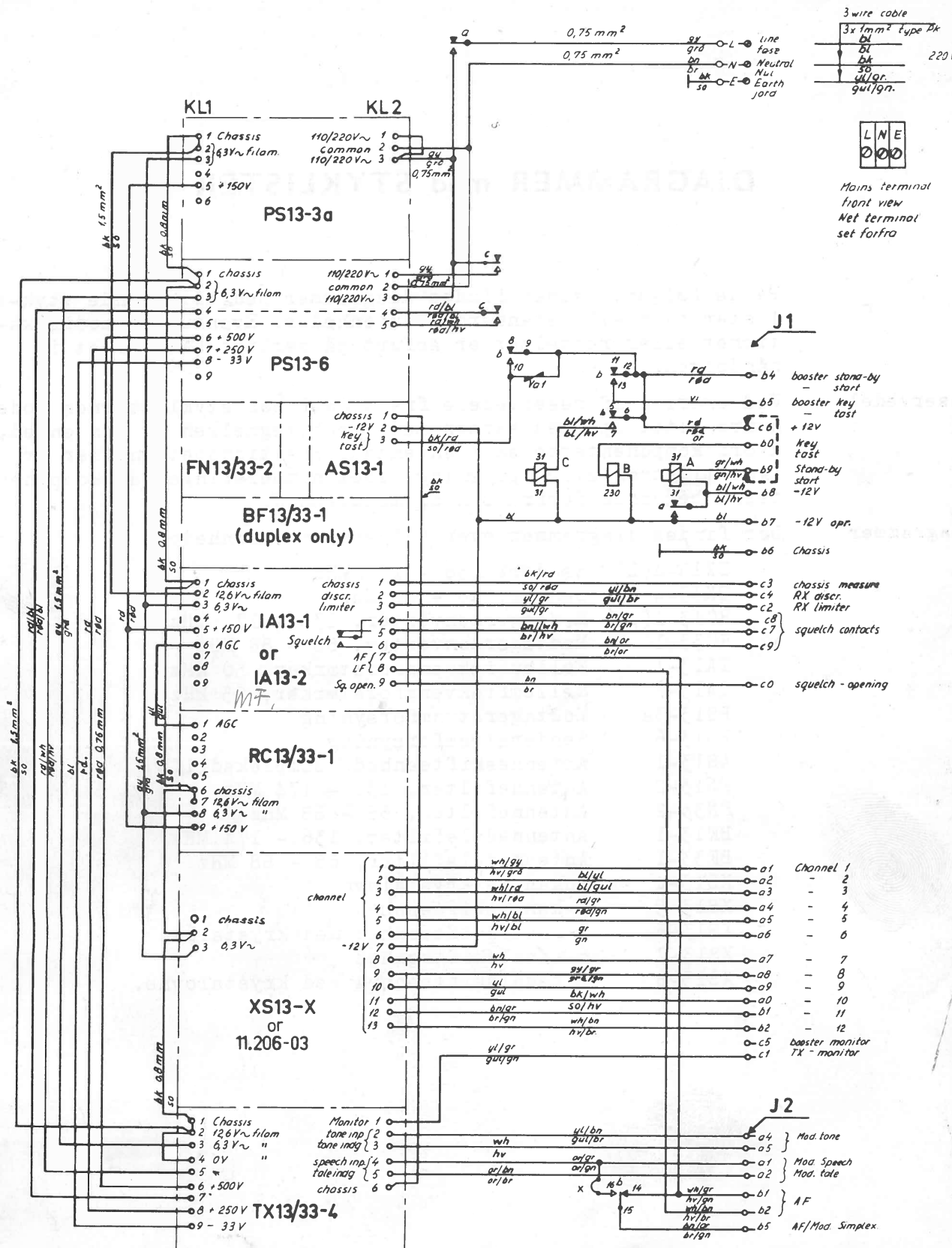
Reservedele

Ved ordring af reservedele fra STORNO bør styklisterne kodenummer altid opgives sammen med typebetegnelsen på den enhed, hvori komponenterne skal anvendes. Positionsbetegnelser er ikke tilstrækkelig oplysning, idet nummereringen af komponenterne begynder forfra i hver modulenhed.

Diagrammer

Der findes diagrammer over følgende modulenheder:

TX13-4(L)	Sender, 136 - 174 MHz
TX33-4	Sender, 68 - 88 MHz
RC13-1(L)	Modtagerkonverter, 136 - 174 MHz
RC33-1	Modtagerkonverter, 68 - 88 MHz
IA13-1	Mellemfrekvensforstærker, 50 kHz
IA13-2	Mellemfrekvensforstærker, 25 kHz
PS13-3a	Modtagerstrømforsyning
PS13-6	Senderstrømforsyning
AS13-1	Antenneskifteenhed, simpleksdrift
FN13-2	Antennefilter, 136 - 174 MHz
FN33-2	Antennefilter, 68 - 88 MHz
BF13-1	Antennedelefilter, 136 - 174 MHz
BF33-1	Antennedelefilter, 68 - 88 MHz
XS13-4	Enkanals krystalovn
XS13-5	3-kanalskifteenhed
XS13-6	3-kanalskifteenhed med krystalovn
XS13-7	6-kanalskifteenhed
XS13-8	6 kanalskifteenhed med krystalovne.



X To be disconnected if
remarked on control diagram
Aftrydes hvis bemærkning herom
findes på styringsdiagram

J1-41 - 30pol tuchel T2070
J2-41 - 12pol tuchel T2008
A-58.5014-relay Siemens 60 62057/200/200
B-58.5022-relay Siemens 154d 65418/93e
C-58.5014 - relay Siemens 60 62057/200/200



konstr./tegn.
SM/BM
2-6-61
godk. 1-8-61
68f.
komp. liste

CABLEFORM KABLING

CQF11-2/3
CQF31-2/3

D 400.032

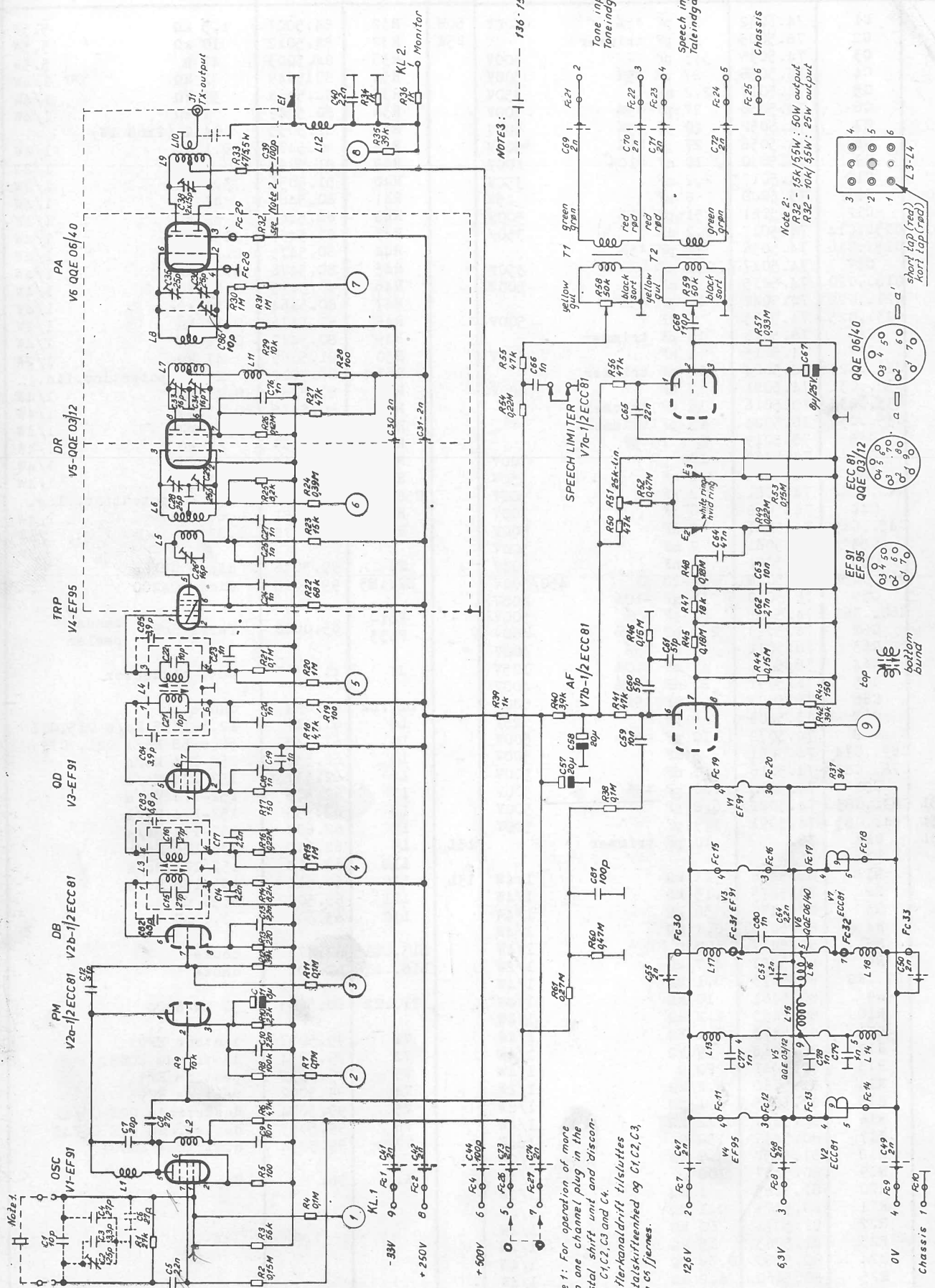


konstr./tegn.
SM - GM
24-11-60
godk.
kompliste
X10846/2

TRANSMITTER SENDER

TX13-4
L

D 10.846/2



TX 13(L)-4

type	no	code	data	type	no	code	data
	C1	74.5042	10 pF ±5%	500V	50W	R32	84.5007
	C2	78.5005	25 pF trimmer		25W	R32	84.5012
	C3	74.5096	3,3 pF	500V		R33	84.5003
	C4	74.5056	27 pF ±5%	500V		R34	80.5449
	C5	74.5017	2,2 nF	350V		R35	80.5468
	C6	74.5056	27 pF ±5%	500V		R36	80.5449
	C7	74.5052	20 pF ±5%	500V		R37	82.5035
	C8	74.5056	27 pF ±5%	500V		R38	80.5473
	C9	76.5030	10 nF ±10%	400V		R39	81.5049
	C10	74.5017	2,2 nF	350V		R40	81.5056
	C11	73.5008	8 μF	25V		R41	80.5469
	C12	74.5061	51 pF ±5%	500V		R42	80.5468
C13..C14	74.5017	2,2 nF	350V			R43	80.5439
C15..C16	74.5056	27 pF ±5%				R44	80.5475
C17	74.5017	2,2 nF	350V			R45	80.5476
C18..C20	74.5015	1 nF	500V			R46	80.5475
C21..C22	74.5042	10 pF ±5%				R47	80.5464
C23..C25	74.5015	1 nF	500V			R48	81.5476
C26	78.5016	16 pF trimmer				R49	80.5477
C27	74.5015	1 nF	500V			R50	81.5069
C28..C29	78.5004	25 pF trimmer				R51	87.5012
C30..C31	74.5081	2 nF	500V			R52	80.5481
C33..C34	78.5016	16 pF trimmer				R53	80.5475
C35..C36	78.5004	25 pF trimmer				R54	80.5477
C38	78.5019	2 x 15 pF				R55	81.5069
C39	74.5068	100 pF				R56	81.5069
C40	74.5017	2,2 nF	350V			R57	80.5479
C41..C42	74.5081	2 nF	500V		R58..R59	86.5014	
C44	74.5068	100 pF	700V			80.5481	50 kΩ potentiom. log.
C45..C49	74.5081	2 nF	500V			R60	0,47 MΩ
C53	74.5081	2 nF	500V			R61	0,27 MΩ
C55	74.5081	2 nF	500V			E1	99.5046
C57..C58	73.5018	20+20 μF	450/500V		E2..E3	99.5028	
C59	76.5030	10 nF ±10%	400V		Fc1-Fc33	65.0000	
C60..C61	74.5061	51 pF ±5%	500V			ferroxcube beads perler	
C62	76.5023	2,7 nF ±10%	400V		J1	41.5101	
C63	76.5011	10 nF ±5%	400V		L1..L2	62.099	
C64	76.5033	47 nF ±10%	125V		L3	61.447	
C65	76.5031	22 nF ±10%	400V		L4	61.448	
C66	76.5007	1 nF ±5%	600V		L5	62.532	
C67	73.5008	8 μF	25V		L6	62.531	
C68	74.5072	110 pF ±5%	500V		L7	62.506	
C69..C74	74.5081	2 nF	500V		L8	62.535	
C76..C80	74.5016	1 nF	500V		L9	62.609	
C81	74.5070	100 pF ±5%	500V		L10	62.610	
13L C82..C83	74.5021	6,8 pF	500V		L10	62.608	
13L C84..C85	74.5091	3,9 pF	500V		L11	62.611	
13L C86	78.	10 pF trimmer		13L	L12	63.5004	
R1	80.5466	27 kΩ	1/4W	13L	L13..L15	62.474	
R2	80.5475	0,15 MΩ	1/4W		L16..L18	62.504	
R3	80.5470	56 kΩ	1/4W		T1..T2	60.5003	
R4	80.5473	0,1 MΩ	1/4W		V1	99.5057	
R5	80.5437	100 Ω	1/4W		V2	99.5054	
R6	81.5057	4.7 kΩ	1/2W		V3	99.5057	
R7..R8	80.5473	0.1 MΩ	1/4W		V4	99.5002	
R9	80.5461	10 kΩ	1/4W		V5	99.5004	
R10	80.5453	2.2 kΩ	1/4W		V6	99.5053	
R11	80.5473	0.1 MΩ	1/4W		V7	99.5054	
R12	80.5468	39 kΩ	1/4W	X1	98.	Crystal	
R13	80.5441	220 Ω	1/4W				
R14	81.5060	8.2 kΩ	1/2W				
R15	81.5085	1 MΩ	1/2W				
R16	80.5477	0.22 MΩ	1/4W				
R17	80.5439	150 Ω	1/4W				
R18	81.5057	4.7 kΩ	1/2W				
R19	80.5437	100 Ω	1/4W				
R20	81.5085	1 MΩ	1/2W				
R21	80.5473	0.1 MΩ	1/4W				
R22	81.5071	68 kΩ	1/2W				
R23	81.5063	15 kΩ	1/2W				
R24	80.5480	0.39 MΩ	1/4W				
R25	80.5460	8.2 kΩ	1/4W				
R26	80.5474	0.12 MΩ	1/4W				
R27	81.5069	47 kΩ	1/2W				
R28	81.5037	100 Ω	1/2W				
R30..R31	81.5085	1 MΩ	1/2W				

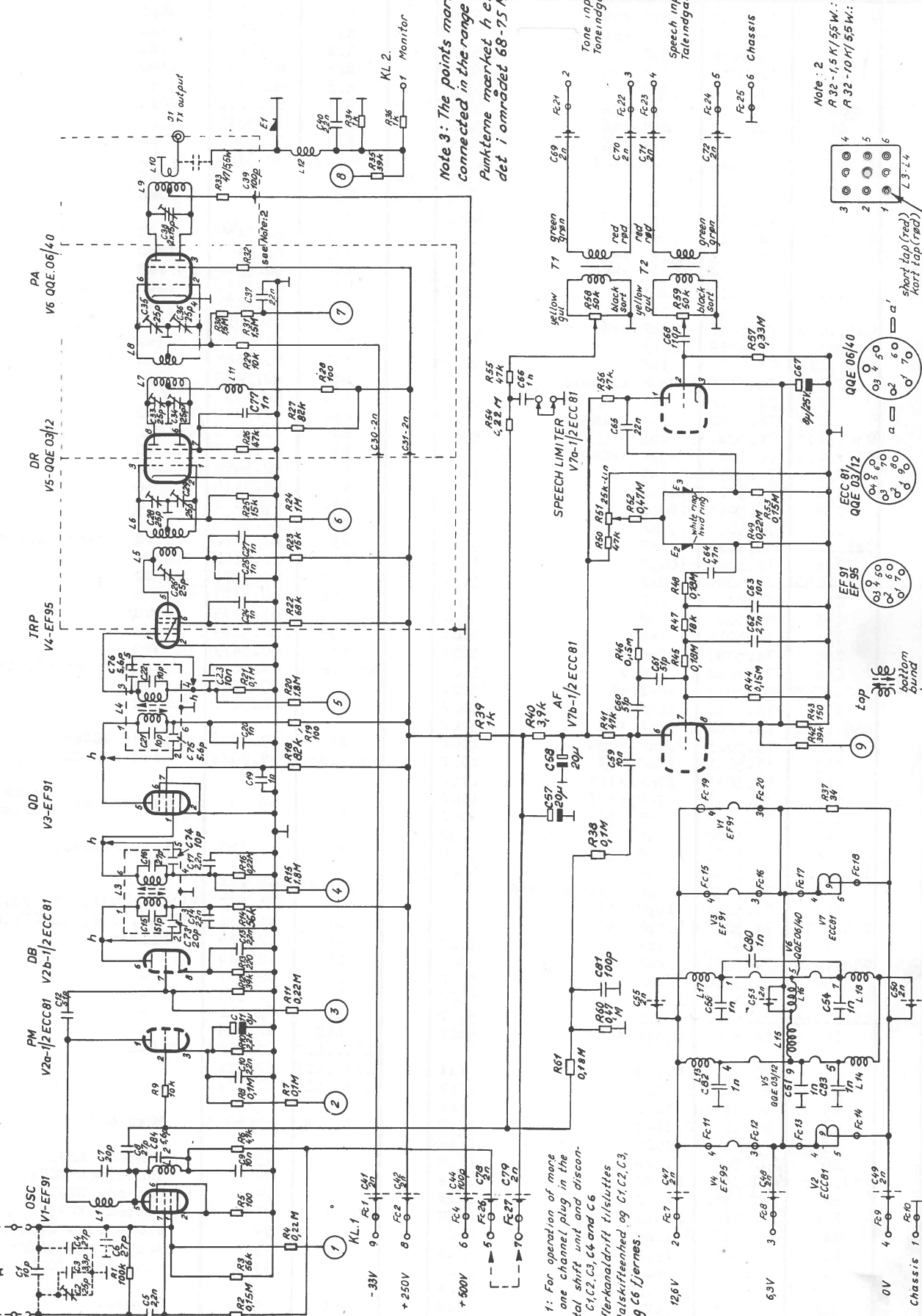


Konstz/tekn.
SM-GM.
4-8-60.
godk-SM.
11-10-60.
komp. lista
X10932/2

TRANSMITTER SENDER

TX33 - 4

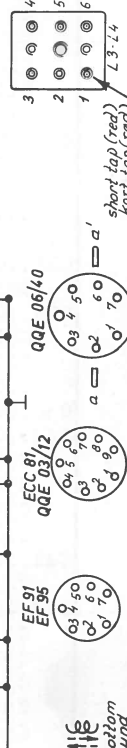
D10931/2



Note 1: For operation of more than one channel plug in the crystal shift unit and disconnect C1, C2, C3, C4 and C6. Ved flernadslift tilsluttes krystalskifteenhed og C1, C2, C3, C4 og C6 fjernes.

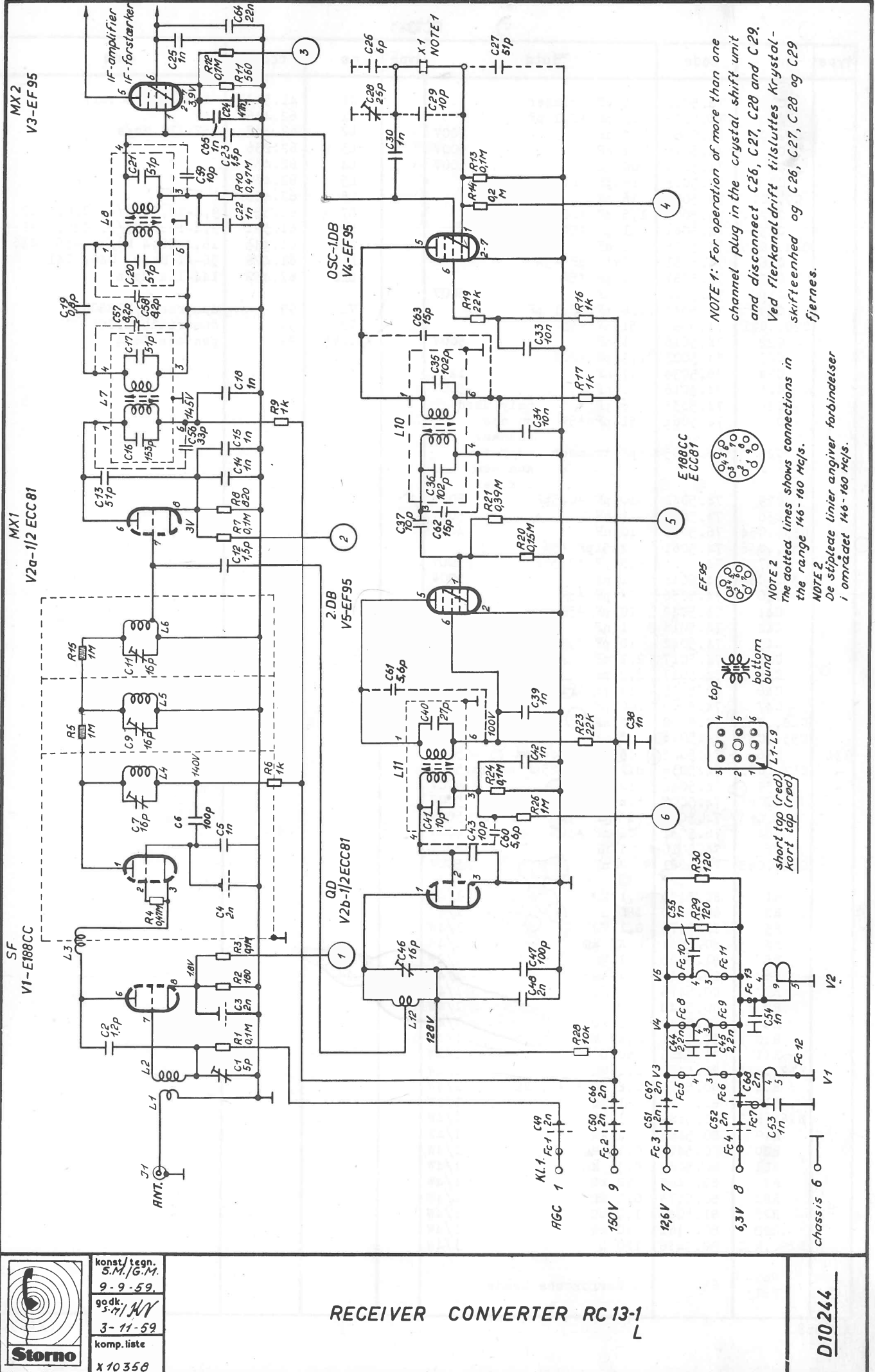
Note 3: The points marked here connected in the range 68-75 Mc/s Punkterne markeret her forbundet i området 68-75 Mc/s

Note 4: R 32-1.5 K/55 W.: 50W. output.
R 32-10 K/55 W.: 25W. output.



TX 33-4

type	no	code	data	type	no	code	data	
	C1	74.5042	10pF ±5%		500V	R22	81.5071	68kΩ 1/2W
	C2	78.5005	25pF trimmer			R23	81.5063	15kΩ 1/2W
	C3	74.5096	3,3pF.		500V	R24	80.5485	1MΩ 1/4W
	C4	74.5056	27pF ±5%		500V	R25	80.5463	15kΩ 1/4W
	C5	74.5017	2,2nF		350V	R26	80.5469	47kΩ 1/4W
	C6	74.5056	27pF ±5%		500V	R27	81.5072	82kΩ 1/2W
	C7	74.5052	20pF ±5%		500V	R28	81.5037	100Ω 1/2W
	C8	74.5056	27pF ±5%		500V	R29	81.5061	10kΩ 1/2W
	C9	76.5030	10nF ±10%		400V	R30..R31		
	C10	74.5017	2,2nF	50W	R32	80.5487	1.5MΩ 1/4W	
	C11	73.5008	8μF	25W	R32		1.5kΩ 5.5W	
	C12	74.5061	51pF ±5%		500V	R33		10kΩ 5.5W
C13..C14		74.5017	2,2nF		350V	R34	80.5449	47Ω 5.5W
	C15	74.5011	51pF ±5%			R35	80.5468	1kΩ 1/4W
	C16	74.5056	27pF ±5%			R36	80.5449	39kΩ 1/4W
	C17	74.5017	2,2nF		350V	R37	81.5071	1kΩ 1/4W
C19..C20		74.5016	1nF		500V	R38	80.5473	34Ω (2x68Ω) 1W
C21..C22		74.5042	10pF ±5%			R39	81.5049	0.1MΩ 1/4W
	C23	74.5028	10nF			R40	81.5056	1kΩ 1/2W
C24..C25		74.5016	1nF		500V	R41	80.5469	3.9kΩ 1/2W
	C26	78.5005	25pF trimmer			R42	80.5468	47kΩ 1/4W
	C27	74.5016	1nF		500V	R43	80.5439	39kΩ 1/4W
C28..C29		78.5004	25pF trimmer			R44	80.5475	150Ω 1/4W
C30..C31		74.5081	2nF		500V	R45	80.5476	0,15MΩ 1/4W
C33..C36		78.5005	25pF trimmer			R46	80.5475	0,18MΩ 1/4W
	C37	74.5017	2,2nF		350V	R47	80.5464	0,15MΩ 1/4W
	C38	78.5019	2x15pF			R48	80.5476	18kΩ 1/4W
	C39	74.5068	100pF		700V	R49	80.5477	0,18MΩ 1/4W
	C40	74.5017	2,2nF		350V	R50	81.5069	0,22MΩ 1/4W
C41..C42		74.5081	2nF		500V	R51	87.5012	47kΩ 1/2W
	C44	74.5068	100pF		700V	R52	80.5481	25kΩ potentiom. lin. 1/4W
C47..C50		74.5081	2nF		500V	R53	80.5475	0,47MΩ 1/4W
	C51	74.5016	1nF		500V	R54	80.5477	0,15MΩ 1/4W
	C53	74.5081	2nF		500V	R55	81.5069	0,22MΩ 1/4W
	C54	74.5016	1nF		500V	R56	80.5469	47kΩ 1/4W
	C55	74.5081	2nF		500V	R57	80.5479	47kΩ 1/4W
	C56	74.5016	1nF		500V	R58..R59		
C57..C58		73.5018	20+20pF	450	500V	R60	86.5014	0,33MΩ 1/4W
	C59	76.5030	10nF ±10%		400V	R61	80.5481	50kΩ potentiom. log. 1/4W
C60..C61		74.5061	51pF ±5%		500V		0,47MΩ 1/4W	
	C62	76.5023	2,7nF ±10%		400V	E1	99.5046	0,18MΩ 1/4W
	C63	76.5011	10nF ±5%		400V	E2..E3	99.5028	0,22MΩ 1/4W
	C64	76.5033	47nF ±10%		125V	Fcl-Fc27	65	ferroxcube beads perler
	C65	76.5031	22nF ±10%		400V			
	C66	76.5007	1nF ±5%		600V			
	C67	73.5008	8μF		25V	J1	41.5101	Ant. connector
	C68	74.5072	110pF ±5%		500V	L1..L2	62.455	
C69..C72		74.5081	2nF		500V	L3	61.457	Filter, C15,C16,C73,C74
	C73	74.5042	20pF (2x10pF) ±5%			L4	61.431	Filter, C21,C22,C75,C76
	C74	74.5042	10pF ±5%			L5	62.538	Filter
C75..C76		74.5033	5,6pF ±5%			L6	62.540	-
	C77	74.5016	1nF		500V	L7	62.537	-
C78..C79		74.5081	2nF		500V	L8	62.542	-
	C80	74.5016	1nF		500V	L9	62.541	-
	C81	74.5070	100pF		500V	L10	62.539	-
C82..C83		74.5016	1nF		500V	L11..L12		
	C84	74.5033	5,6pF ±0.2		500V	63.5004	2.2μH	
	R1	80.5473	0,1MΩ	1/4W	L13..L15	62.474		
	R2	80.5475	0,15MΩ	1/4W	L16..L18	62.504		
	R3	80.5470	56kΩ	1/4W				
	R4	80.5477	0,22MΩ	1/4W	T1..T2	60.5003	50kΩ-600Ω	
	R5	80.5437	100Ω	1/4W				
	R6	81.5057	4.7kΩ	1/2W	V1	99	pentode EF91	
R7..R8		80.5473	0,1MΩ	1/4W	V2	99	duotriode ECC81	
	R9	80.5461	10kΩ	1/4W	V3	99	pentode EF91	
	R10	80.5453	2.2kΩ	1/4W	V4	99	pentode EF95	
	R11	80.5477	0,22MΩ	1/4W	V5	99	duotetrode QQE03/12	
	R12	80.5468	39kΩ	1/4W	V6	99	duotetrode QQE06/40	
	R13	80.5441	220Ω	1/4W	V7	99	duotriode ECC81	
	R14	81.5070	56kΩ	1/2W	X1	98	Crystal	
	R15	80.5488	1.8MΩ	1/4W				
	R16	80.5477	0,22MΩ	1/4W				
	R18	81.5072	82kΩ	1/2W				
	R19	80.5437	100Ω	1/4W				
	R20	80.5488	1.8MΩ	1/4W				
	R21	80.5473	0.1MΩ	1/4W				



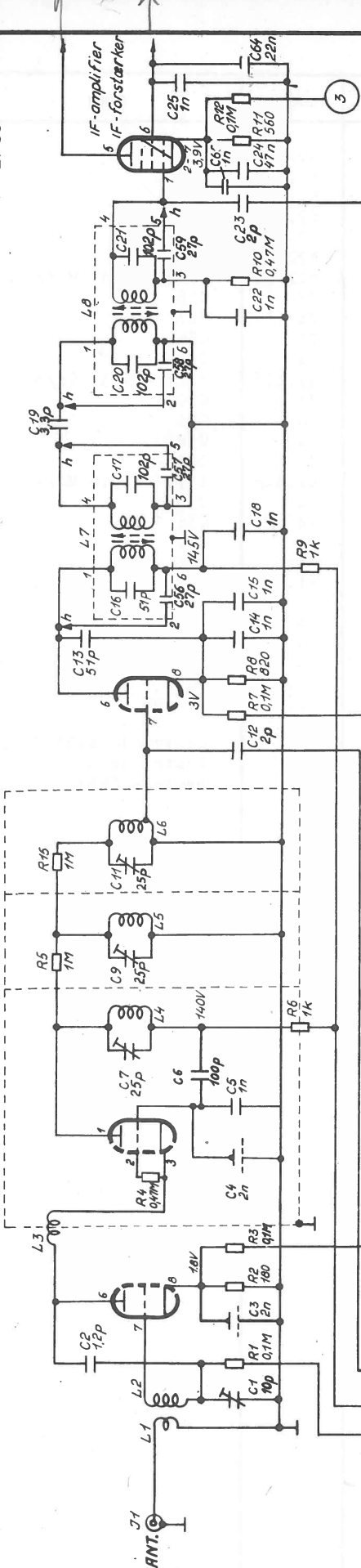
RC13-1

type	no	code	data	type	no	code	data
	C1	78.5014	5 pF trimmer		J1	41.5131	coax connector
	C2	74.5002	1,2 pF $\pm 0,1$ pF		L1	62.446	152-174 Mc/s
C3..C4	74.5080	2 nF	500V		L2	62.447	"
	C5	74.5016	1 nF		L3	62.236	"
	C6	74.5069	100 pF		L4	62.438	"
	C7	78.5015	16 pF trimmer		L5	62.440	"
C9..C11	78.5016	16 pF "			L6	62.438	"
	C12	74.5003	1,5 pF $\pm 20\%$		L7	61.389	9,4-10,7 Mc/s, C16, C17
	C13	74.5061	51 pF $\pm 5\%$		L8	61.391	9,4-10,7 Mc/s, C20, C21
C14..C15	74.5016	1 nF	500V		L10	61.445	18,4-20,4 Mc/s, C35, C36
	C16	74.5061	3x51 pF $\pm 5\%$		L11	61.428	36-41 Mc/s, C40, C41
	C17	74.5061	51 pF $\pm 5\%$		L12	62.439	144-164 Mc/s
	C18	74.5016	1 nF	500V			
	C19	74.5023	0,8 pF $\pm 0,1$ pF		V1	99	duotriode E188CC
C20..C21	74.5061	51 pF $\pm 5\%$	500V		V2	99	duotriode ECC81
	C22	74.5016	1 nF		V3..V5	99	pentode 5654
	C23	74.5003	1,5 pF $\pm 20\%$				
	C24	76.5033	47 nF	125V			
	C25	74.5016	1 nF	500V			
	C26	74.5035	6 pF	only used			
	C27	74.5061	51 pF $\pm 5\%$	on one channel			
	C28	78.5005	25pF trimmer	benyttes kun ved 1 kanal			
	C29	74.5042	10 pF $\pm 0,5$ pF	500V			
	C30	74.5016	1 nF	500V			
C33..C34	76.5030	10 nF	400V				
C35..C36	74.5061	2x51pF $\pm 5\%$					
C37	74.	10 pF $\pm 0,5$ pF	500V				
C38..C39	74.5016	1 nF	500V				
	C40	74.5056	27 pF $\pm 5\%$				
	C41	74.5042	10 pF $\pm 5\%$				
	C42	74.5016	1 nF	500V			
	C43	74.5042	10 pF $\pm 5\%$				
	C44	74.5017	2,2 nF				
	C45	74.5017	2,2 nF				
	C46	78.5015	16 pF trimmer				
	C47	74.5069	100 pF				
	C48..C52	74.5080	2 nF	500V			
	C53..C55	74.5016	1 nF	500V			
13L	C56	74.5085	33 pF $\pm 5\%$ ceram.	500V			
-	C57..C58	74.5036	8,2 pF $\pm 0,25$ pF ceram.	500V			
-	C59	74.5042	10 pF $\pm 5\%$	"	500V		
-	C60..C61	74.5005	5,6 pF $\pm 0,25$ pF	"	500V		
-	C62..C63	74.5046	15 pF $\pm 5\%$	"	500V		
	C64	76.5031	22 nF $\pm 10\%$		400V		
	C65	74.5016	1 nF	"	500V		
	C66..C68	74.5081	2 nF	500V			
	R1	80.5473	0,1 M Ω	1/4W			
	R2	80.5440	180 Ω	1/4W			
	R3	80.5473	0,1 M Ω	1/4W			
	R4	80.5481	0,47 M Ω	1/4W			
	R5	81.5085	1 M Ω	1/2W			
	R6	80.5449	1 k Ω	1/4W			
	R7	80.5473	0,1 M Ω	1/4W			
	R8	80.5448	820 Ω	1/4W			
	R9	80.5449	1 k Ω	1/4W			
	R10	80.5481	0,47 M Ω	1/4W			
	R11	80.5446	560 Ω	1/4W			
R12..R13	80.5473	0,1 M Ω	1/4W				
	R14	80.5473	0,2 M Ω (2x0,1M Ω)	1/4W			
	R15	81.5085	1 M Ω	1/2W			
R16..R17	80.5449	1 k Ω	1/4W				
	R19	80.5465	22 k Ω	1/4W			
	R20	80.5475	0,15 M Ω	1/4W			
	R21	80.5480	0,39 M Ω	1/4W			
	R23	80.5465	22 k Ω	1/4W			
	R24	80.5473	0,1 M Ω	1/4W			
	R26	81.5085	1,0 M Ω	1/4W			
	R28	80.5461	10 k Ω	1/4W			
R29..R30	80.5438	120 Ω	1/4W				
	Fcl-Fcl3	65.	ferroxcube beads				

SF
V1-EI88CC

MX1
V2a-1/2 ECC81

MX2
V3-EF95



RECEIVER CONVERTER RC33-1

OSC-1dB
V4-EF95

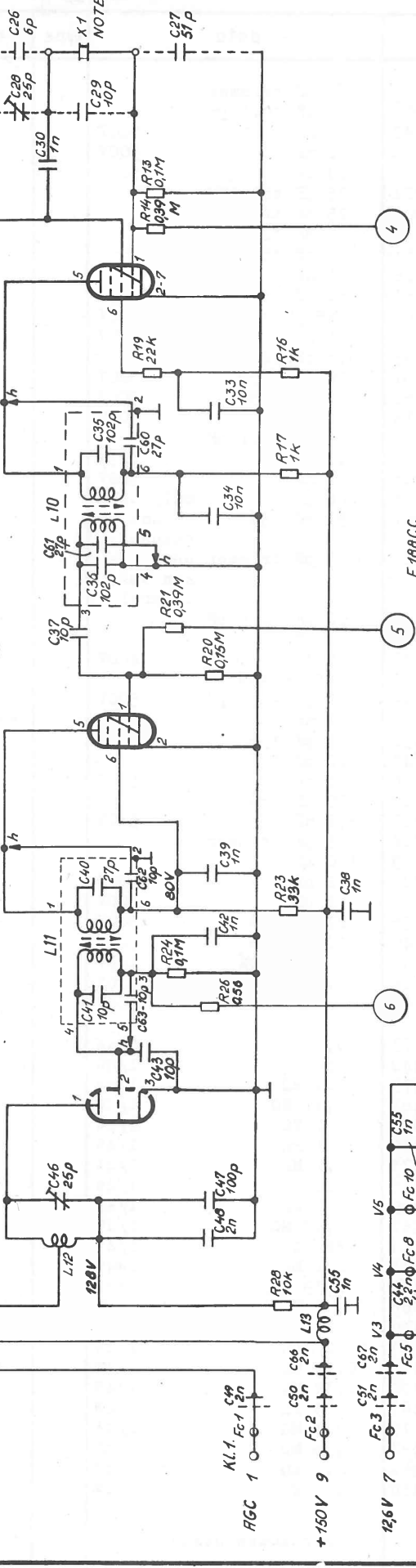
2dB
V5-EF95

3dB
V2b-1/2 ECC81

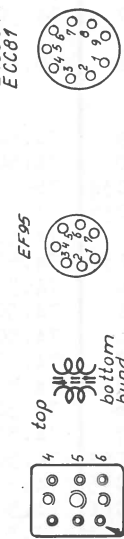
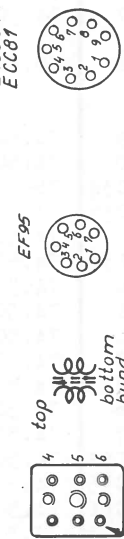
OSC-1dB
V4-EF95

2dB
V5-EF95

3dB
V2b-1/2 ECC81



NOTE 1: For operation of more than one channel plug in the crystal shift unit and disconnect C26, C27, C28 and C29.
Ved flerkandaldrift tilsluttes Krystal-skifteenhed og C26, C27, C28 og C29 fjernes.



Note 2: The points marked "h" are connected in the range 68-75 Mc/s
Punkterne markeret "h" er forbundet i området 68-75 Mc/s

short top (red)
kort top (red)

12.6V 7 FC3 2n V3 14 R20 120
FC5 2n FC9 1n FC10 1n
FC6 2.2n FC9 2.2n FC11 1n
FC7 1n FC12 1n FC13 1n
FC8 1n FC14 1n

D10502

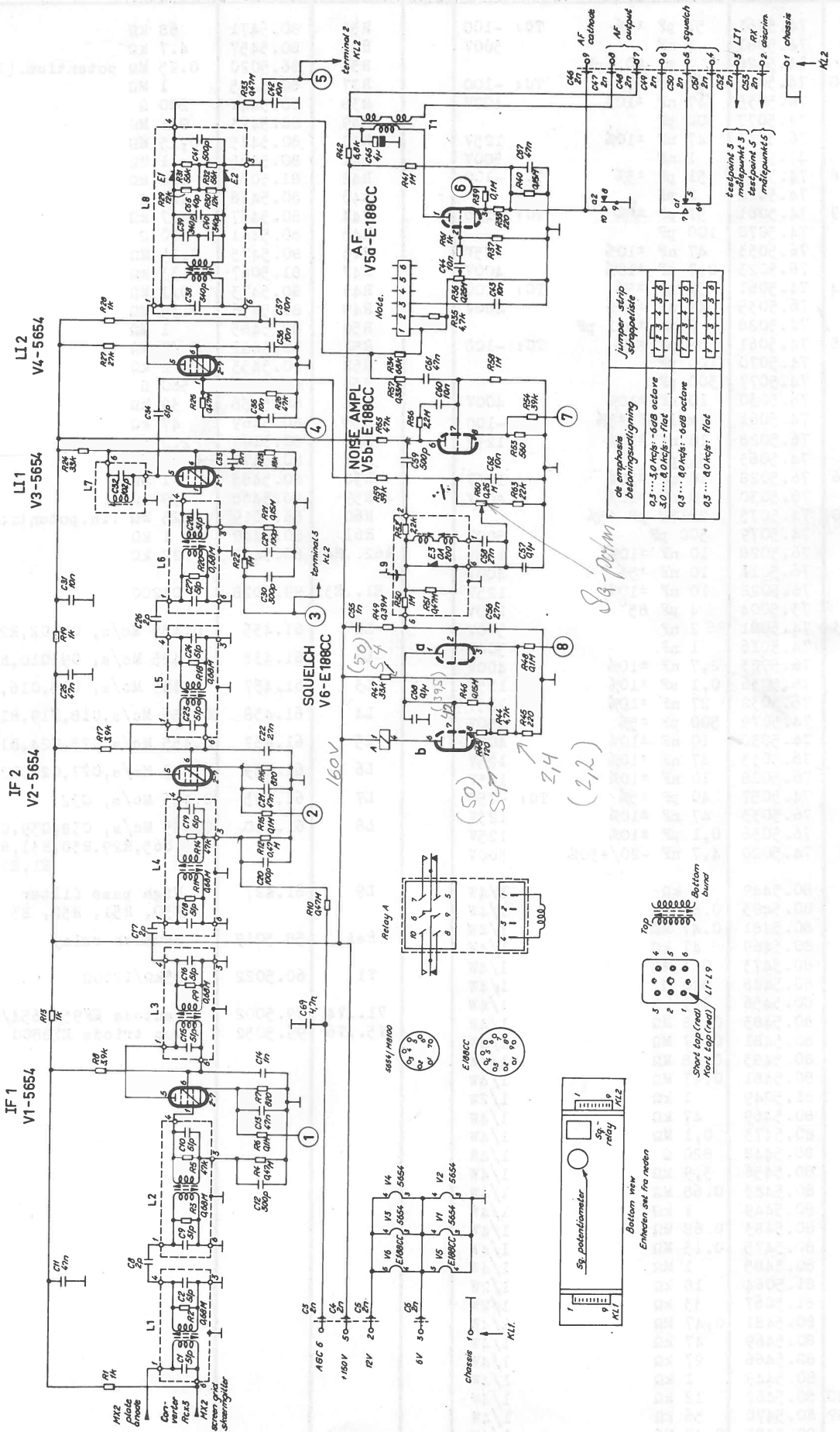


konst. tekn.
S.M./G.M.
14-12-60.
godk.
S-17/NR
14-12-60
komp. liste
X 10511

27-6-62
5-2-61
2-8-61

RC33-1

type	no	code	data	type	no	code	data
	C1	78.5017	10 pF trimmer		L1	62.523	68-88 Mc/s
	C2	74.5002	1,2 pF ±0,1 pF		L2	62.302	"
C3..C4	74.5080	2 nF	500V		L3	62.236	"
C5	74.5016	1 nF	500V		L4	62.459	"
C6	74.5069	100 pF	500V		L5	62.460	"
C7	78.5004	25 pF trimmer			L6	62.461	"
C9, C11	78.5005	25 pF trimmer			L7	61.404	7,15 - 9,37 Mc/s
C12	74.5028	2 pF ±0,1 pF			77		C16
C13	74.5061	51 pF ±5%			74		C17
C14..C15	74.5016	1 nF	500V		74		C56
C16	74.5061	51 pF ±5%	500V		74		C57
C17	74.5061	2x51pF ±5%	500V	L8	61.406	7,15 - 9,37 Mc/s	
C18	74.5016	1 nF	500V		74		C20
C19	74.5095	3,3 pF ±20%			74		C21
C20	74.5061	2x51pF ±5%	500V		74		C58
C21	74.5061	2x51pF ±5%	500V		74		C59
C22	74.5016	1 nF	500V	L10	61.446	15,2 - 19,6 Mc/s	
C23	74.5028	2 pF ±0,1 pF			74		C35
C24	76.5033	47 nF	125V		74		C36
C25	74.5016	1 nF	500V		74		C60
C26	74.5035	6 pF	only used		74		C61
C27	74.5061	51 pF ±5%	on one channel	L11	61.405	30,4 - 39,5 Mc/s	
			kun ved 1 kanal		74		C40
C28	78.5005	25 pF trimmer	benyttes		74		C41
			kun ved 1 kanal		74		C62
C29	74.5042	10 pF ±0,5 pF			74		C63
C30	74.5016	1 nF		L12	62.462	60,8 - 79 Mc/s	
C33..C34	76.5030	10 nF	400V		L13	62.5004	2,2 μH
C35..C36	74.5061	2x51pF ±5%			V1	99	duotriode E188CC
C37	74.5042	10 pF ±0,5 pF	500V		V2	99	duotriode ECC81
C38..C39	74.5016	1 nF	500V	V3..V5	99	pentode 5654	
C40	74.5056	27 pF ±5%					
C41	74.5042	10 pF ±5%					
C42	74.5016	1 nF	500V				
C43	74.5042	10 pF ±5%					
C44..C45	74.5017	2,2 nF	350V				
C46	78.5004	25 pF trimmer					
C47	74.5069	100 pF					
C48..C52	74.5080	2 nF	500V				
C53..C55	74.5016	1 nF	500V				
C56..C61	74.5056	27 pF ±5%	500V				
C62..C63	74.5042	10 pF ±5%	500V				
C64	76.5031	22 nF ±10%	400V				
C65	74.5016	1 nF	500V				
C66..C68	74.5080	2 nF	500V				
R1	80.5473	0,1 MΩ	1/4W				
R2	80.5440	180 Ω	1/4W				
R3	80.5473	0,1 MΩ	1/4W				
R4	80.5481	0,47 MΩ	1/4W				
R5	81.5085	1 MΩ	1/2W				
R6	80.5449	1 kΩ	1/4W				
R7	80.5473	0,1 MΩ	1/4W				
R8	80.5448	820 Ω	1/4W				
R9	80.5449	1 kΩ	1/4W				
R10	80.5481	0,47 MΩ	1/4W				
R11	80.5446	560 Ω	1/4W				
R12..R13	80.5473	0,1 MΩ	1/4W				
R14	80.5480	0,39 MΩ	1/4W				
R15	81.5085	1 MΩ	1/2W				
R16..R17	80.5449	1 kΩ	1/4W				
R19	80.5465	22 kΩ	1/4W				
R20	80.5475	0,15 MΩ	1/4W				
R21	80.5480	0,39 MΩ	1/4W				
R23	80.5467	33 kΩ	1/4W				
R24	80.5473	0,1 MΩ	1/4W				
R26	80.5482	0,56 MΩ	1/4W				
R28	80.5461	10 kΩ	1/4W				
R29..R30	80.5438	120 Ω	1/4W				
Fcl-Fcl3	65	ferroxcube beads					
J1	41.5131	coax connector					



konstr./teg
FH/BM
3-5-60
godk.

komp.liste
X 10.027

IF-AMPLIFIER MF-FORSTÆRKER

IA13-1

D 10026

type	no	code	data	type	no	code	data	
	C1..C2	74.5061	51 pF ±5%	TC: -100	R34	80.5471	68 kΩ	1/4W
	C3..C6	74.5081	2 nF	500V	R35	80.5457	4.7 kΩ	1/4W
	C8	74.5028	2 pF ±0,1pF		R36	86.5020	0.25 MΩ potentiom.(log)	
	C9..C10	74.5061	51 pF ±5%	TC: -100	R37	80.5485	1 MΩ	1/4W
	C11	76.5035	47 nF ±10%	400V	R38	80.5441	220 Ω	1/4W
	C12	74.5077	300 pF		R39	80.5473	0.1 MΩ	1/4W
	C13	76.5033	47 nF ±10%	125V	R40	80.5475	0,15 MΩ	1/4W
	C14	47.5016	1 nF	500V	R41	80.5485	1 MΩ	1/4W
	C15..C16	74.5061	51 pF ±5%	TC: -100	R42	81.5059	6.8 kΩ	1/2W
	C17	74.5028	2 pF		R43	80.5438	120 Ω	1/4W
	C18..C19	74.5061	51 pF ±5%	TC: -100	R44	80.5457	4.7 kΩ	1/4W
	C20	74.5070	100 pF		R45	80.5441	220 Ω	1/4W
	C21	76.5033	47 nF ±10%	125V	R46	80.5475	0,15 MΩ	1/4W
	C22	76.5023	2,7 nF ±10%	400V	R47	81.5067	33 kΩ	1/2W
	C23..C24	74.5061	51 pF ±5%	TC: -100	R48	80.5473	0.1 MΩ	1/4W
	C25	76.5035	47 nF ±10%	400V	R49	80.5456	0.39 MΩ	1/4W
	C26	74.5028	2 pF ±0,1 pF		R50	80.5485	1 MΩ	1/4W
	C27..C28	74.5061	51 pF ±5%	TC: -100	R51	80.5481	0.47 MΩ	1/4W
	C29	74.5070	100 pF		R52	80.5453	2.2 kΩ	1/4W
	C30	74.5077	300 pF		R53	80.5446	560 Ω	1/4W
	C31	76.5030	10 nF ±10%	400V	R54	80.5458	39 kΩ	1/4W
	C32	74.5061	2x51 pF ±5%	TC: -100	R55	80.5469	47 kΩ	1/4W
	C33	76.5028	10 nF ±10%	125V	R56	80.5489	2.2 MΩ	1/4W
	C34	74.5063	51 pF		R57	80.5479	0.33 MΩ	1/4W
	C35..C36	76.5028	10 nF ±10%	125V	R58	80.5485	1 MΩ	1/4W
	C37	76.5030	10 nF ±10%	400V	R59	80.5468	39 kΩ	1/4W
	C38..C40	74.5075	2x170 pF ±5%		R60	86.5019	0.25 MΩ lin.potentiom.	
	C41	74.5079	500 pF	500V	R61	80.5449	1 kΩ	1/4W
	C42	76.5028	10 nF ±10%	125V	R62..R63	80.5465	22 kΩ	1/4W
	C43	76.5011	10 nF ±5%	400V	E1..E3	99.5028	OA200	
	C44	76.5028	10 nF ±10%	125V	L1	61.435	0,455 Mc/s, C1,C2,R2	
	C45	73.5004	4 μF 85°	250V	L2	61.438	0,455 Mc/s, C9,C10,R3,R5	
	C46..C53	74.5081	2 nF	500V	L3	61.437	0,455 Mc/s, C15,C16,R9	
	C55	74.5016	1 nF	500V	L4	61.438	0,455 Mc/s,C18,C19,R11,R14	
	C56	76.5023	2,7 nF ±10%	400V	L5	61.437	0,455 Mc/s,C23,C24,R18	
	C57	76.5036	0,1 μF ±10%	125V	L6	61.439	0,455 Mc/s,C27,C28,R20	
	C58	76.5032	27 nF ±10%	125V	L7	61.395	0,455 Mc/s, C32	
	C59	74.5079	500 pF ±5%	350V	L8	61.440	0,455 Mc/s, C38,C39,C40, C41,C65,R29,R30,R31,R32, El,E2	
	C60	76.5030	10 nF ±10%	400V				
	C61	76.5033	47 nF ±10%	125V				
	C62	76.5028	10 nF ±10%	125V				
	C65	74.5057	40 pF ±5%	TC: -750				
	C67	76.5033	47 nF ±10%	125V				
	C68	76.5036	0,1 μF ±10%	125V				
	C69	74.5020	4,7 nF -20/+50%	500V				
	R1	80.5449	1 kΩ		L9	61.427	High pass filter	
	R2..R3	80.5483	0.68 MΩ				R50, R51, R52, E3	
	R4	80.5481	0.47 MΩ		ReA	58.5019	Squelch relay	
	R5	80.5469	47 kΩ		T1	60.5022	25kΩ/1200Ω	
	R6	80.5473	0.1 MΩ		V1..V4	99.5002	pentode EF95/5654/M8100	
	R7	80.5448	820 Ω		V5..V6	99.5052	duo triode El88CC	
	R8	80.5456	3,9 kΩ					
	R9	80.5483	0.68 MΩ					
	R10	80.5481	0.47 MΩ					
	R11	80.5483	0.68 MΩ					
	R12	80.5481	0.47 MΩ					
	R13	81.5049	1 kΩ					
	R14	80.5469	47 kΩ					
	R15	80.5473	0,1 MΩ					
	R16	80.5448	820 Ω					
	R17	80.5456	3,9 kΩ					
	R18	80.5483	0.68 MΩ					
	R19	80.5449	1 kΩ					
	R20	80.5483	0.68 MΩ					
	R21	80.5475	0.15 MΩ					
	R22	80.5485	1 MΩ					
	R23	81.5064	18 kΩ					
	R24	81.5067	33 kΩ					
	R25	80.5481	0,47 MΩ					
	R26	80.5469	47 kΩ					
	R27	80.5466	27 kΩ					
	R28	80.5449	1 kΩ					
	R29..R30	80.5462	12 kΩ					
	R31..R32	80.5470	56 kΩ					
	R33	80.5481	0.47 MΩ					

X10.027

X10.027

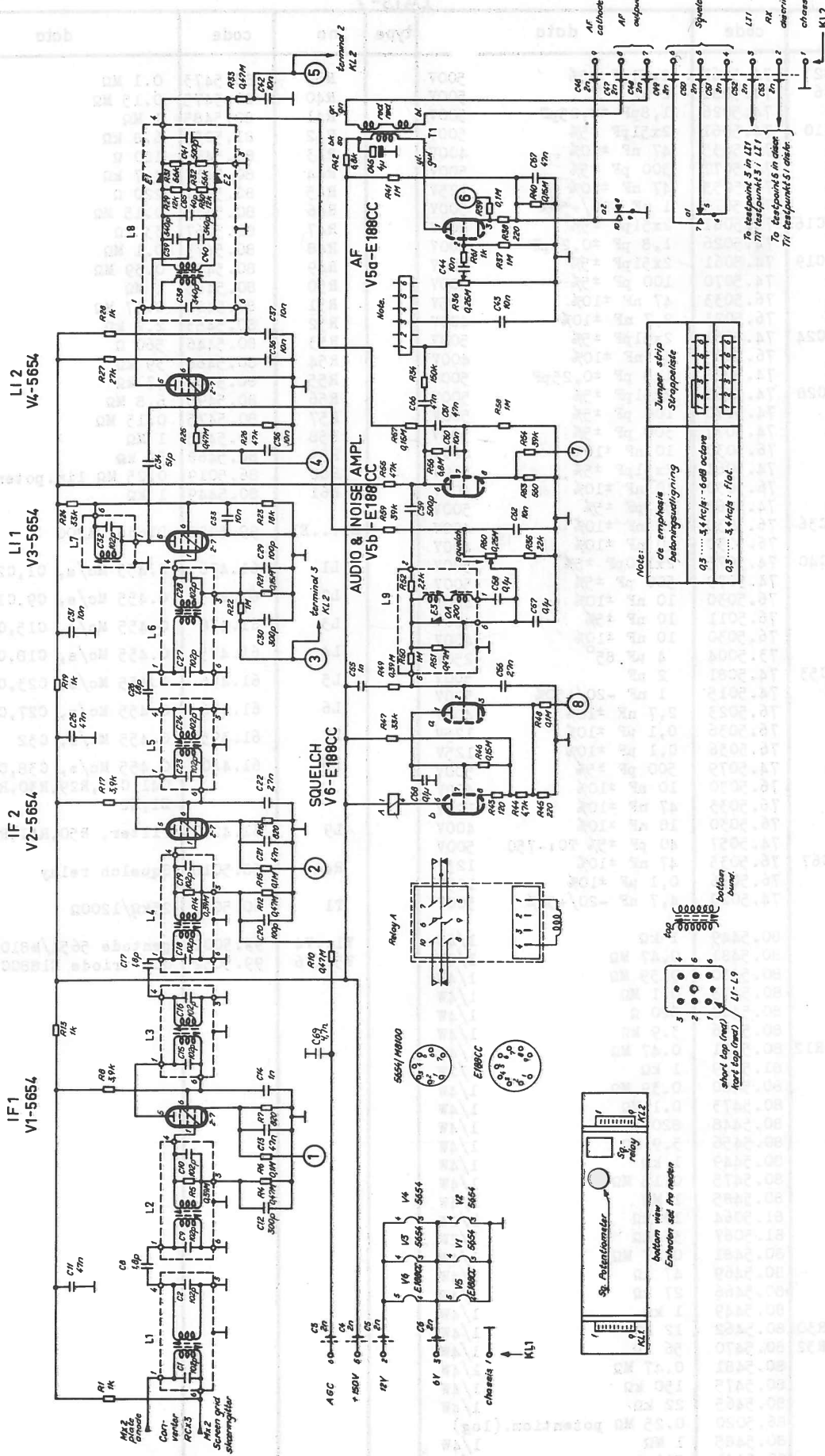


konstr./tegn.
SM/IBM
10-1-63
godk.
komp. liste
X400329

IF - AMPLIFIER MF-FORSTÆRKER

IA13-2

D10.685

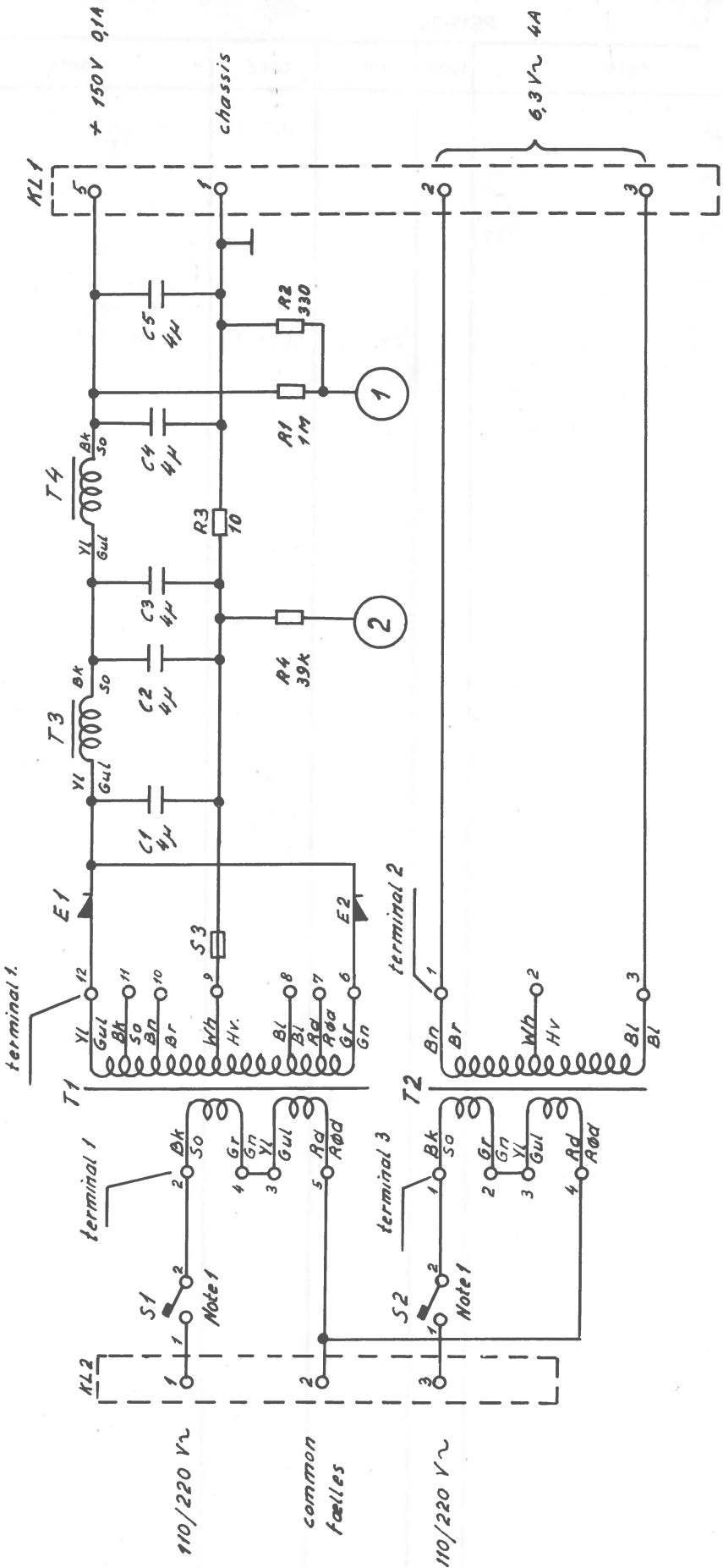


IA13-2

type	no	code	data	type	no	code	data
C1..C2	74.5061	2x51pF ±5%	500V	R39	80.5473	0.1 MΩ	1/4W
C3..C6	74.5081	2 nF	500V	R40	80.5475	0.15 MΩ	1/4W
C8	74.5026	1,8 pF ±0,25pF	500V	R41	80.5485	1 MΩ	1/4W
C9..C10	74.5061	2x51pF ±5%	500V	R42	81.5059	6.8 kΩ	1/2W
C11	76.5035	47 nF ±10%	400V	R43	80.5438	120 Ω	1/4W
C12	74.5077	300 pF ±5%	500V	R44	80.5457	4.7 kΩ	1/4W
C13	76.5033	47 nF ±10%	125V	R45	80.5441	220 Ω	1/4W
C14	74.5015	1 nF -20/+50%	500V	R46	80.5475	0.15 MΩ	1/4W
C15..C16	74.5061	2x51pF ±5%	500V	R47	81.5067	33 kΩ	1/2W
C17	74.5026	1,8 pF ±0,25pF	500V	R48	80.5473	0.1 MΩ	1/4W
C18..C19	74.5061	2x51pF ±5%	500V	R49	80.5480	0.39 MΩ	1/4W
C20	74.5070	100 pF ±5%	500V	R50	80.5485	1 MΩ	1/4W
C21	76.5033	47 nF ±10%	125V	R51	80.5481	0.47 MΩ	1/4W
C22	76.5023	2,7 nF ±10%	400V	R52	80.5453	2,2 kΩ	1/4W
C23..C24	74.5061	2x51pF ±5%	500V	R53	80.5446	560 Ω	1/4W
C25	76.5035	47 nF ±10%	400V	R54	80.5468	39 kΩ	1/4W
C26	74.5026	1,8 pF ±0,25pF	500V	R55	80.5469	47 kΩ	1/4W
C27..C28	74.5061	2x51pF ±5%	500V	R56	80.5495	6.8 MΩ	1/4W
C29	74.5070	100 pF ±5%	500V	R57	80.5475	0.15 MΩ	1/4W
C30	74.5077	300 pF ±5%	500V	R58	80.5485	1 MΩ	1/4W
C31	76.5030	10 nF ±10%	400V	R59	80.5468	39 kΩ	1/4W
C32	74.5061	2x51pF ±5%	500V	R60	86.5019	0.25 MΩ lin.potentiom.	
C33	76.5030	10 nF ±10%	400V	R61	80.5449	1 kΩ	1/4W
C34	74.5063	51 pF ±5%	500V	E1...E3	99.5028	Diode OA200	
C35..C36	76.5030	10 nF ±10%	400V	L1	61.476	0.455 Mc/s, C1,C2	
C37	76.5030	10 nF ±10%	400V	L2	61.475	0.455 Mc/s, C9,C10,R5	
C38..C40	74.5075	2x170pF ±5%	500V	L3	61.476	0.455 Mc/s, C15,C16	
C41	74.5079	500 pF ±5%	500V	L4	61.475	0.455 Mc/s, C18,C19,R14	
C42	76.5030	10 nF ±10%	400V	L5	61.476	0.455 Mc/s, C23,C24	
C43	76.5011	10 nF ±5%	400V	L6	61.476	0.455 Mc/s, C27,C28	
C44	76.5030	10 nF ±10%	400V	L7	61.395	0.455 Mc/s, C32	
C45	73.5004	4 μF 85°	250V	L8	61.440	0.455 Mc/s, C38,C39,C40, C41,C65,R29,R30,R31,R32, E1,E2	
C46..C53	74.5081	2 nF	500V	L9	61.427	Filter, R50,R51,R52,E3	
C55	74.5015	1 nF -20/+50%	500V	V1..V4	99.5002	pentode 5654/M8100/EF95	
C56	76.5023	2,7 nF ±10%	400V	V5..V6	99.5052	duo triode E188CC	
C57	76.5036	0,1 μF ±10%	125V				
C58	76.5036	0,1 μF ±10%	125V				
C59	74.5079	500 pF ±5%	500V				
C60	76.5030	10 nF ±10%	400V				
C61	76.5033	47 nF ±10%	125V				
C62	76.5030	10 nF ±10%	400V				
C65	74.5057	40 pF ±5% TC:-750	500V				
C66..C67	76.5033	47 nF ±10%	125V				
C68	76.5036	0,1 μF ±10%	125V				
C69	74.5020	4,7 nF -20/+50%	500V				
R1	80.5449	1 kΩ	1/4W				
R4	80.5481	0,47 MΩ	1/4W				
R5	80.5480	0,39 MΩ	1/4W				
R6	80.5473	0,1 MΩ	1/4W				
R7	80.5448	820 Ω	1/4W				
R8	80.5456	3.9 kΩ	1/4W				
R10..R12	80.5481	0.47 MΩ	1/4W				
R13	81.5049	1 kΩ	1/2W				
R14	80.5480	0.39 MΩ	1/4W				
R15	80.5473	0.1 MΩ	1/4W				
R16	80.5448	820 Ω	1/4W				
R17	80.5456	3.9 kΩ	1/4W				
R19	80.5449	1 kΩ	1/4W				
R21	80.5475	0.15 MΩ	1/4W				
R22	80.5485	1 MΩ	1/4W				
R23	81.5064	18 kΩ	1/2W				
R24	81.5067	33 kΩ	1/2W				
R25	80.5481	0.47 MΩ	1/4W				
R26	80.5469	47 kΩ	1/4W				
R27	80.5466	27 kΩ	1/4W				
R28	80.5449	1 kΩ	1/4W				
R29..R30	80.5462	12 kΩ	1/4W				
R31..R32	80.5470	56 kΩ	1/4W				
R33	80.5481	0.47 MΩ	1/4W				
R34	80.5475	150 kΩ	1/4W				
R35	80.5465	22 kΩ	1/4W				
R36	86.5020	0.25 MΩ potentiom.(log)					
R37	80.5485	1 MΩ	1/4W				
R38	80.5441	220 Ω	1/4W				

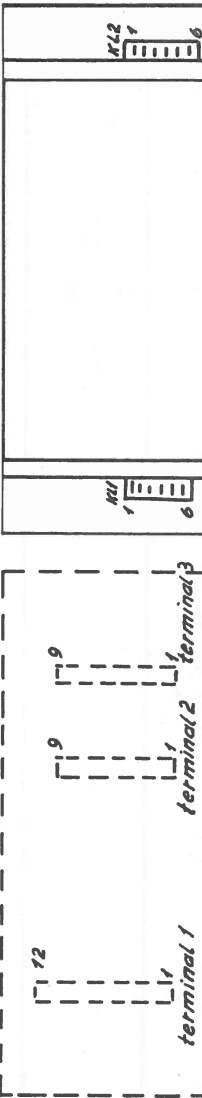
X400329

X400329



NOTE 1:

	S1	S2
110 V~	0.3 A	0.5 A
220 V~	0.2 A	0.3 A



bottom view (set fra bunden)



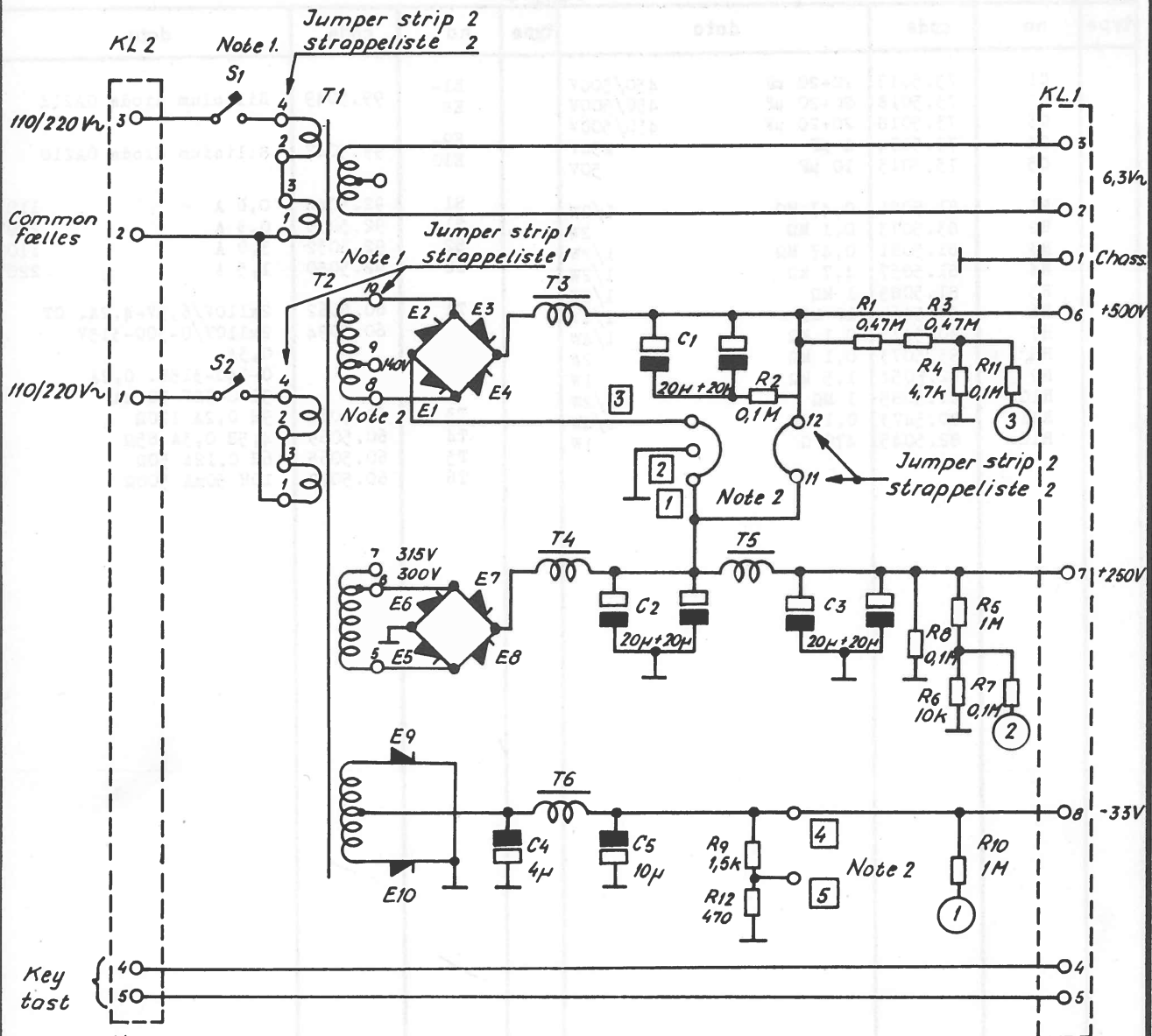
konstr./tegn.
FH/BM
1-5-61
godk.
FH
komp. liste
X400155

POWER SUPPLY
STRØMFORSYNING PS 13-3a

D 400154

PS13-3a

type	no	code	data	type	no	code	data
	C1..C5	71.5013	4 μ F		T1	60.5056	primary: 110-220V 50~ secondary: 150-140-130-0-130-140 -150V 0,1A.
	R1	81.5085	1 M Ω				
	R2	80.5443	330 Ω				
	R3	80.5425	10 Ω				
	R4	80.5468	39 k Ω				
	E1..E2	99.5050	Diode		T2	60.5062	primary: 110-220V 50~ secondary: 6,4V 4A
	S1	92.5037	0,2 A				
	S2	92.5038	0,3 A				
	S3	92.5023	2 A		T3..T4	60.5057	choke 3,5H 0,15A 45 Ω

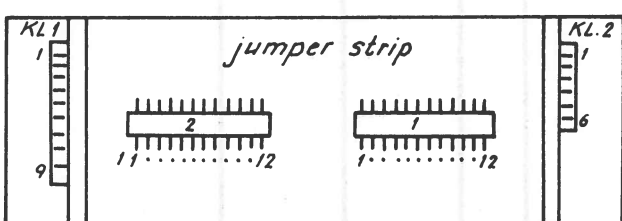


Key
tast

Primary Voltage Primer spænd.	Jumper strip 1 strappeliste 1	Jumper strip 2 strappeliste 2
220 V		
110 V		

Note 2: When changing the output voltage of the power Supply in order to reduce the Transmitter output, see the TX-power altering Instructions: 32.023 for TX13-4a and 32.024 for TX 33-4a.

Ved ændring af strømforsyningens udgangsspændinger i forbindelse med ændret sendeudgangseffekt se omkoblingsinstruktionerne: 32.023 for TX13-4a og 32.024 for TX33-4a.



bottom view
set fra bunden



konstr./tegn.
EBN/BM
19-9-63
godk.
komp.liste

POWER SUPPLY STRØMFORSYNING

PS13-6

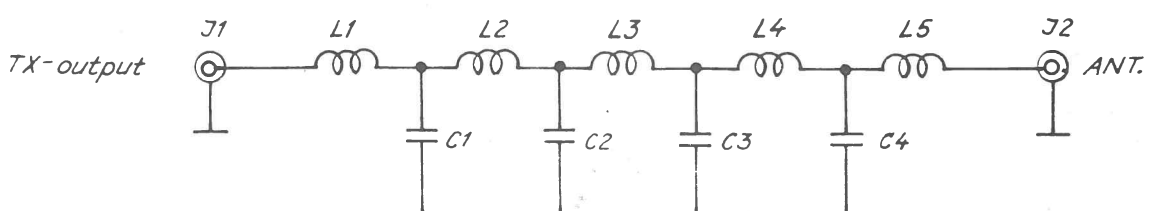
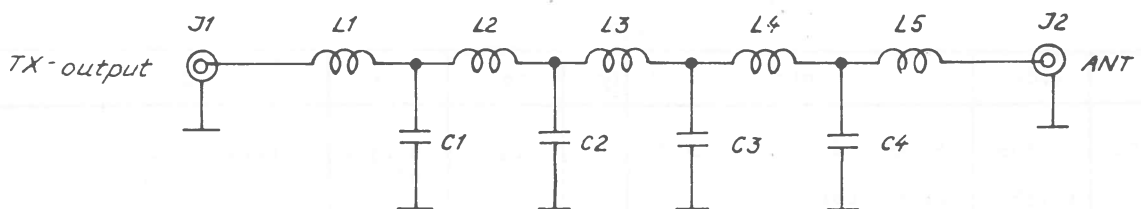
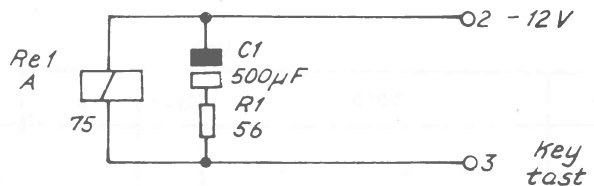
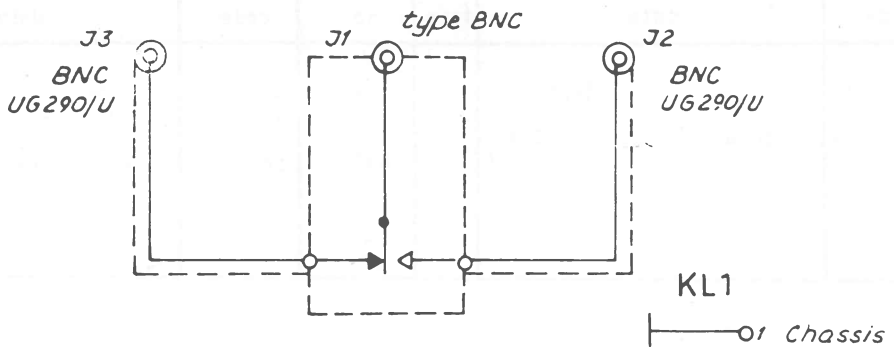
D10900/2

PS13-6

type	no	code	data	type	no	code	data	
	C1	73.5018	20+20 μF		450/500V	E1-E8	99.5049	Silicium diode OA214
	C2	73.5018	20+20 μF		450/500V	E9-E10	99.5047	Silicium diode OA210
	C3	73.5018	20+20 μF		450/500V			
	C4	73.5004	4 μF		250V			
	C5	73.5013	10 μF		50V			
	R1	81.5081	0,47 M Ω		1/2W	S1	92.5046	0,6 A 110V
	R2	83.5073	0,1 M Ω		2W	S1	92.5038	0,3 A 220V
	R3	81.5081	0,47 M Ω		1/2W	S2	92.5052	3,0 A 110V
	R4	81.5057	4,7 k Ω		1/2W	S2	92.5050	1,5 A 220V
	R5	81.5085	1 M Ω		1/2W			
	R6	80.5461	10 k Ω		1/4W	T1	60.5062	2x110V/6,3V-4,2A. CT
	R7	80.5473	0,1 M Ω		1/4W	T2	60.5094	2x110V/0-300-315V
	R8	83.5073	0,1 M Ω		2W			0,3A
	R9	82.5051	1,5 k Ω		1W			0-140-315V. 0,2A
	R10	81.5085	1 M Ω		1/2W	T3	60.5068	32-0-32V 30 mA
	R11	80.5473	0,1 M Ω		1/4W	T4	60.5069	9H 0,2A 120 Ω
	R12	82.5045	470 Ω		1W	T5	60.5065	4,5H 0,3A 65 Ω
						T6	60.5029	6H 0,12A 50 Ω
								10H 50mA 500 Ω

X10899

X10899



Konstr. / tegn.
C7/BM
10-8-62
godk.
EØ/SM.
komp. liste

ANT. SHIFT UNIT and ANT. FILTERS
ANT. SKIFTEENHED og ANT. FILTRE

D 400.325

AS13-1

type	no	code	data	type	no	code	data
	C1	73.5068	500 μ F 50/60 V		J1	41.5131	connector
	R1	81.5034	56 Ω 1/2 W		J2	41.5131	connector
					Rel	58.5006	Coaxial relay(A) 12 VDC

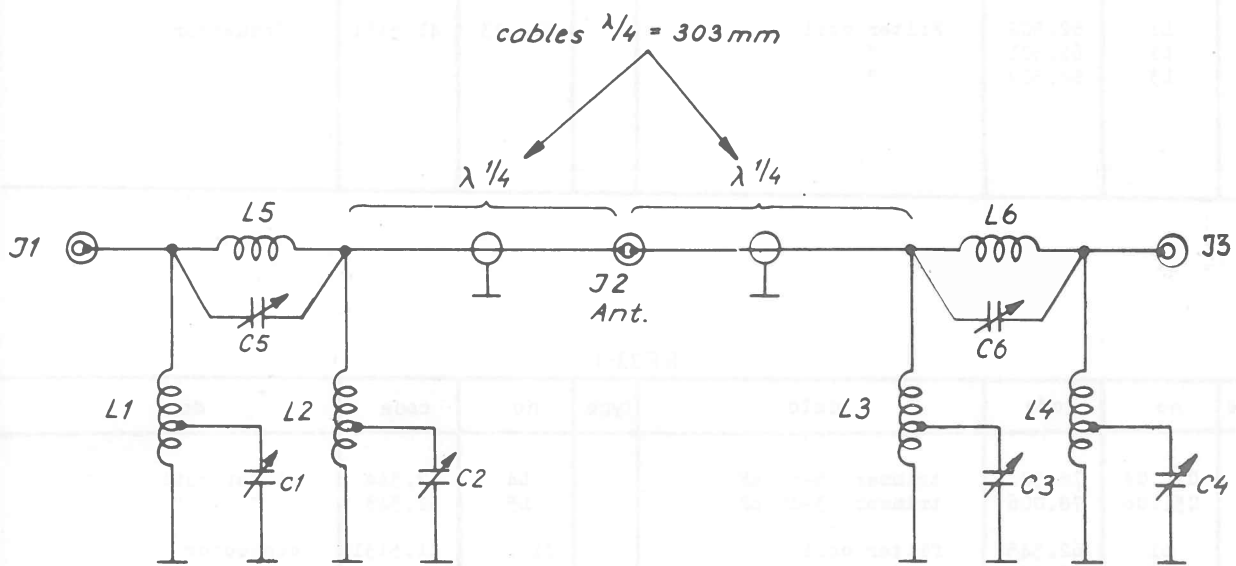
FN13-2

type	no	code	data	type	no	code	data
	C1..C4	74.5054	25 pF $\pm 5\%$ 500V		L4	62.548	filter coil
	L1	62.547	filter coil		L5	62.546	filter coil
	L2	62.549	filter coil		J1..J2	41.5131	connector
	L3	62.549	filter coil				

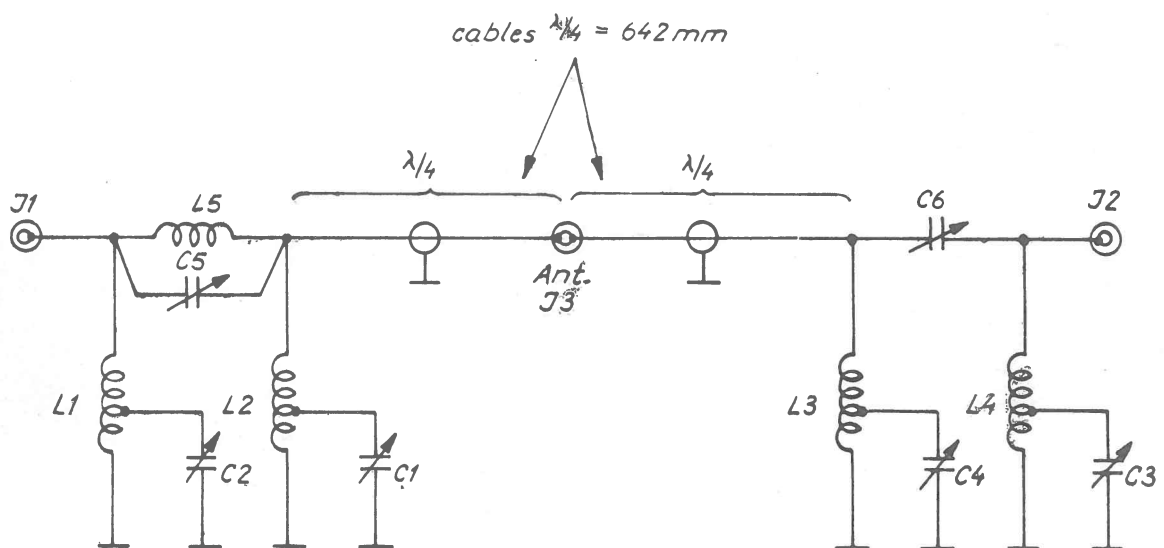
FN33-2

type	no	code	data	type	no	code	data
	C1..C4	74.5060	51 pF $\pm 5\%$ 500 V		L4	62.554	filter coil
	L1	62.551	filter coil		L5	62.550	filter coil
	L2	62.552	filter coil		J1..J2	41.5131	connector
	L3	62.553	filter coil				

BF13-1



BF33-1



konstr., tegn.
CEJ/BM
14-9-62
godk.
OB

komp. liste

BRANCHING FILTER DELEFILTER BF13/33 - 1

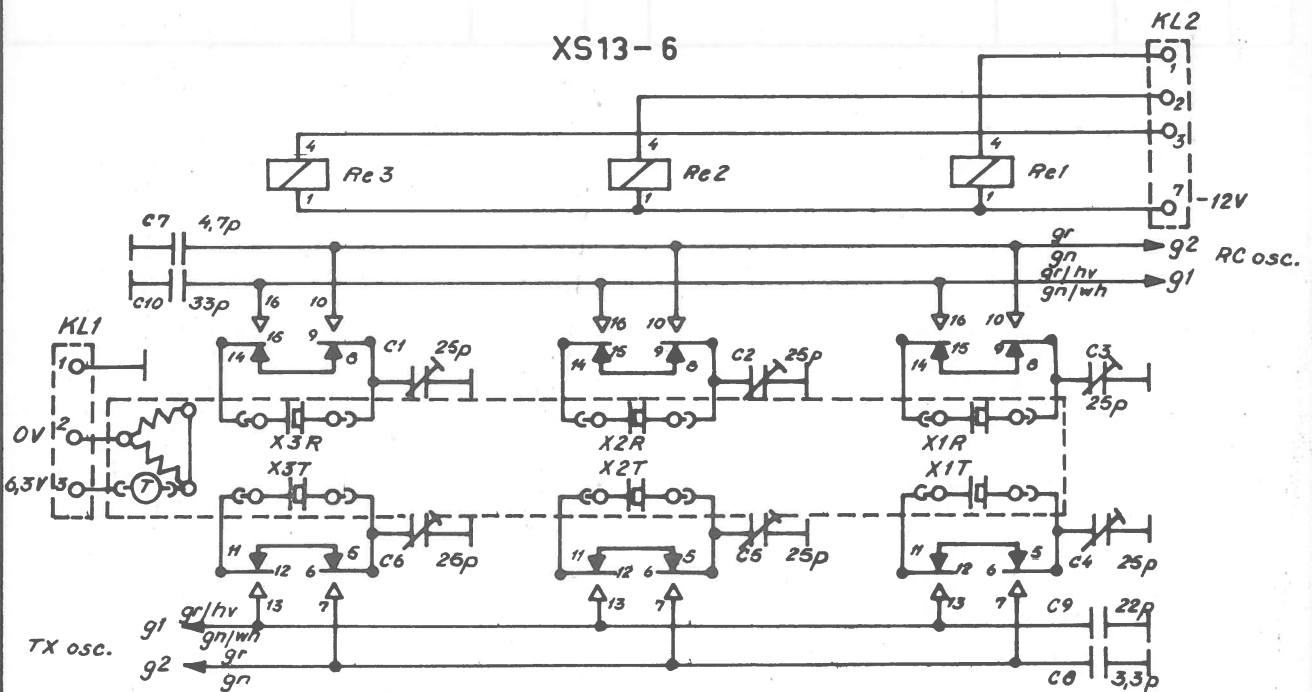
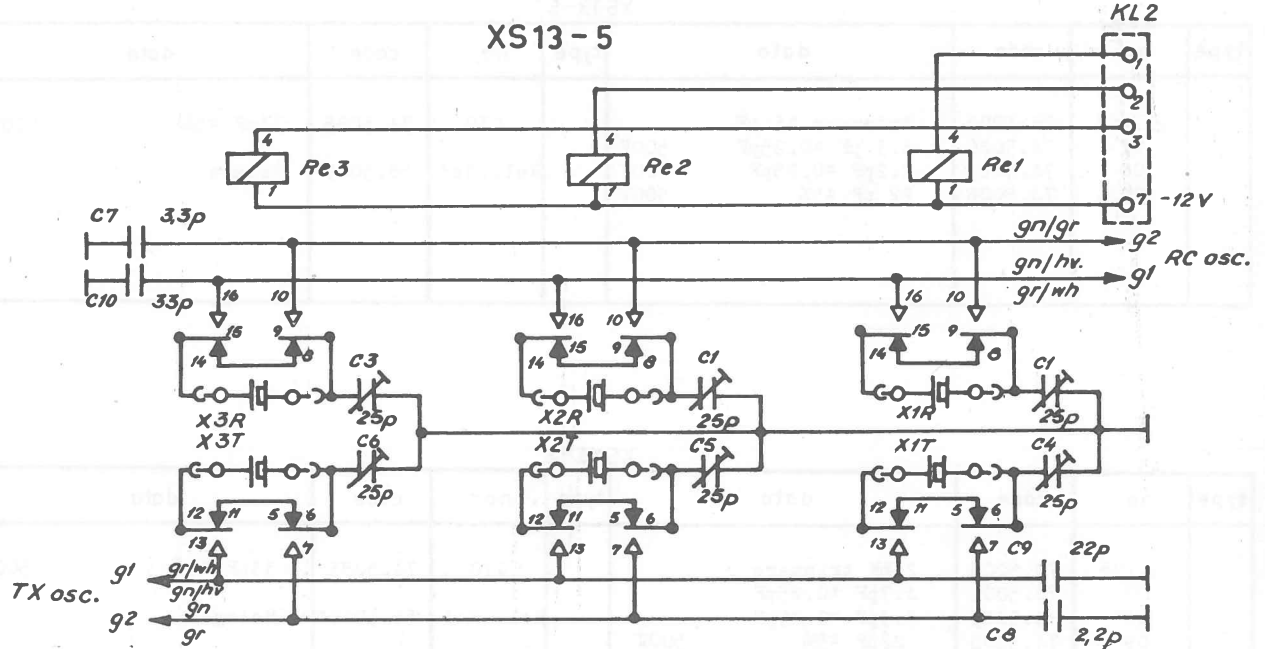
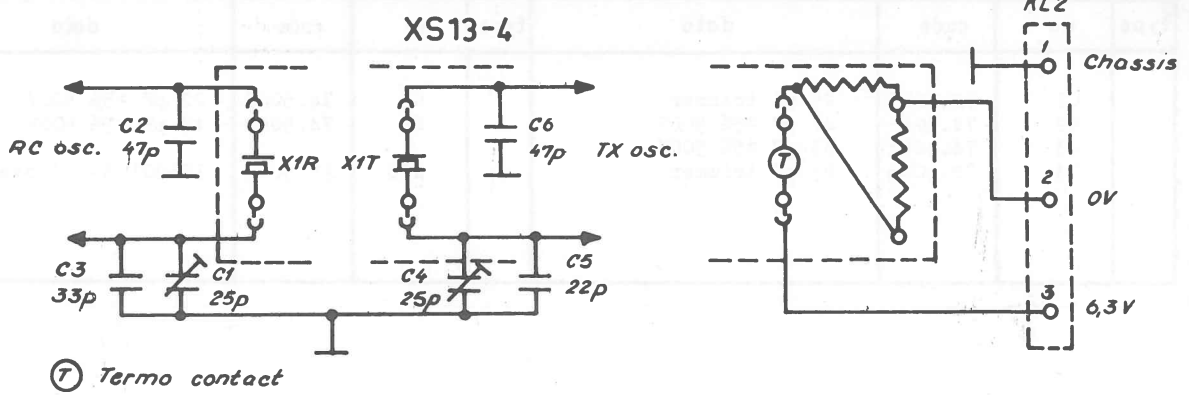
D10.735
D10.970

BF13-1

type	no	code	data	type	no	code	data	
	C1..C4 C5..C6	78.005 78.006	trimmer 3-40 pF	500 V 700 V		L4 L5..L6	62.501 62.503	Filter coil "
	L1 L2 L3	62.502 62.501 62.502	Filter coil " "		J1..J3	41.5131	Connector	

BF33-1

type	no	code	data	type	no	code	data
	C1..C4 C5..C6	78.5011 78.006	trimmer 5-55 pF trimmer 3-40 pF		L4 L5	62.544 62.543	filter coil " " "
	L1 L2 L3	62.545 62.544 62.545	filter coil " " " "		J1..J3	41.5131	connector



konstr./teg.
B&W/BH
20-8-62
gedr.
komp./liste

X-TAL SHIFT UNITS
X-TAL SKIFTEENHEDER

D 400.199
D 400.226
D 400.230

XS13-4

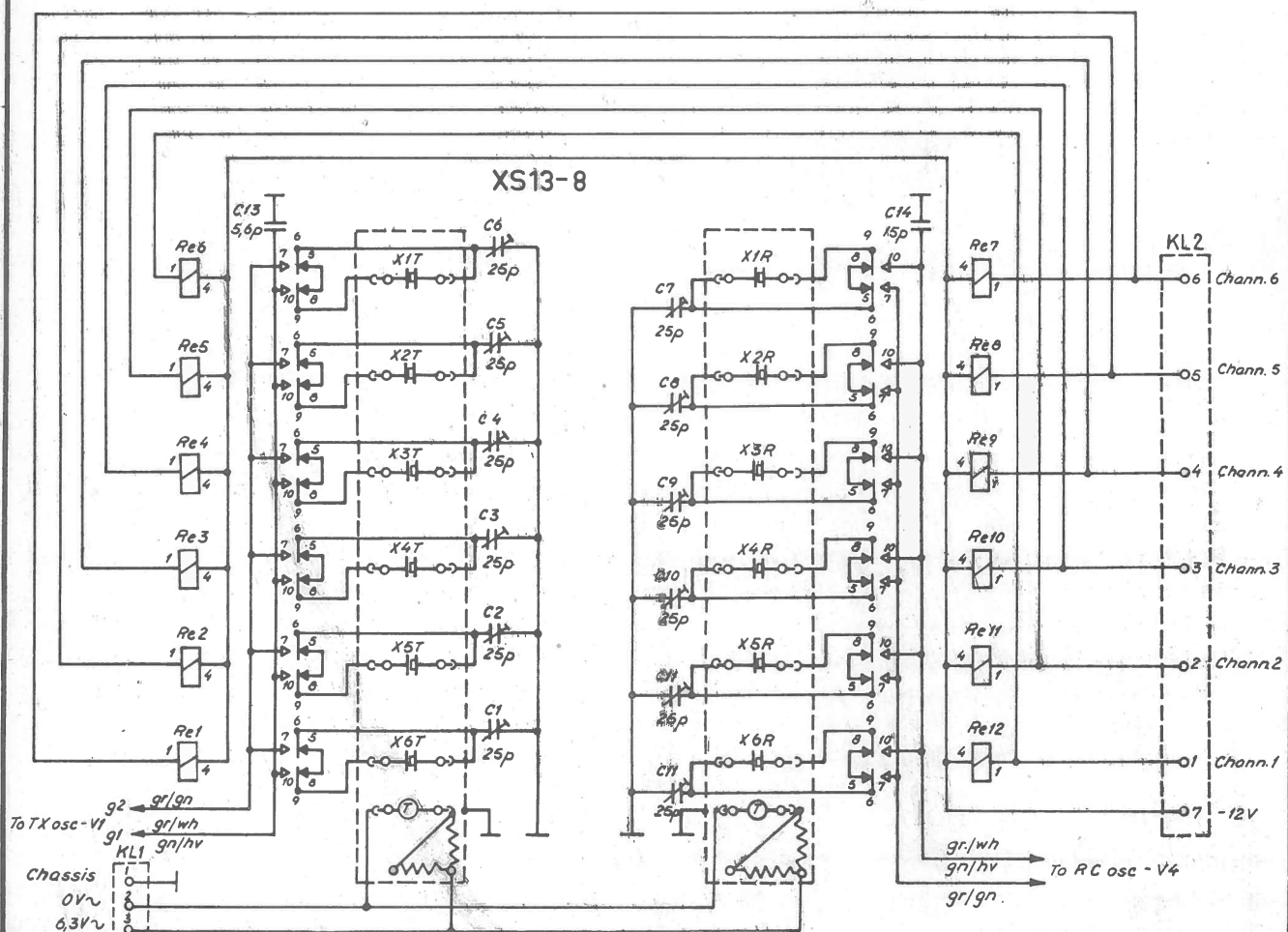
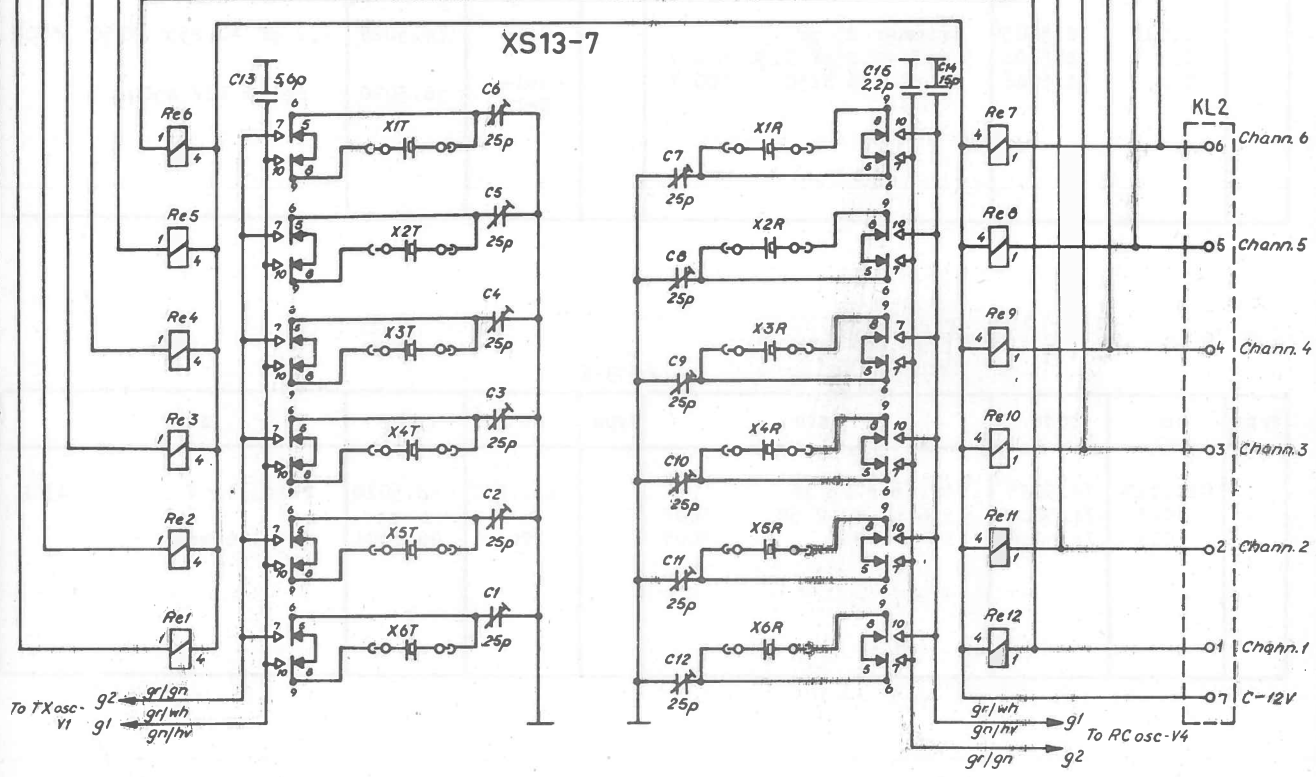
type	no	code	data	type	no	code	data
	C1	78.5005	25 pF trimmer		C5	74.5008	22 pF ±5% 500V
	C2	74.5088	47 pF ±5% 500V		C6	74.5088	47 pF ±5% 500V
	C3	74.5085	33 pF ±5% 500V		XTO	98.5001	IE6001 X-tal oven
	C4	78.5005	25 pF trimmer				

XS13-5

type	no	code	data	type	no	code	data
	C1..C6	78.5005	trimmers 25 pF		C10	74.5085	33pF ±5%
	C7	74.5086	3.3 pF ±0.25pF				500V
	C8	74.5029	2.2pF ±0.25pF		Rel..Re3	58.5019*	Relays
	C9	74.5008	22 pF ±5%				500V

XS13-6

type	no	code	data	type	no	code	data
	C1..C6	78.5005	25pF trimmers		C10	74.5085	33pF ±5%
	C7	74.5001	4.7pF ±0.25pF				500V
	C8	74.5083	3.3pF ±0.25pF		Rel..Re3	58.5019*	Relays
	C9	74.5008	22pF ±5%			98.5001	Crystal oven



konst./tegn.
BØ/BH
27-8-62

gock.

komp. liste

X-TAL SHIFT UNITS
X-TAL SKIFTEENHEDER

D 400218
D 400094

XS13-7

type	no	code	data	type	no	code	data
	C1..C12 C13 C14	78.5005 74.5004 74.5046	trimmer 25 pF 5,6pF ±0,25pF N150 500 V 15 pF ±5% N150 500 V		C15 Rel- Rel2	74.5029 58.5020	2,2 pF ±0,25pF N150 500V relay 12V 430Ω

XS13-8

type	no	code	data	type	no	code	data
	C1..C12 C13 C14	78.5005 74.5004 74.5046	trimmer 25 pF 5,6 pF ±0,2 pF 15 pF ±5%	500V 500V	Rel..R12 XTO	58.5020 98.5001	relay 12 V 430Ω x-tal ovens